

# Cours M2 ASTR - module FRS - Commande Robuste

Toulouse



Janvier-Février 2012

Dimitri PEAUCELLE - LAAS-CNRS - Université de Toulouse

LAAS-CNRS



■ Enseignant : Dimitri Peaucelle, chargé de recherche au LAAS-CNRS

● Contacts : 05 61 33 63 09 - [peaucelle@laas.fr](mailto:peaucelle@laas.fr)

● Page web : [homepages.laas.fr/peaucell](http://homepages.laas.fr/peaucell)

■ Organisation du cours

● Cours magistral avec supports de cours sur planches : 12h

▲ 10, 11, 18, 25, 31 janvier et 7 février

● Exercices avec support MATLAB : 8h

▲ 17, 24 janvier et 1, 8 février

● TP avec support MATLAB : 6h

▲ 9, 17 février

● Examen, tous documents autorisés et avec support MATLAB : 2h

▲ x février

## ■ Commande robuste

### ● Automatique / Théorie de la commande

### ● Commande de systèmes dynamiques

▲ Représentés par des équations différentielles (systèmes à temps continu)

▲ ou par des équations récurrentes (systèmes à temps discret)

### ● Modèles non-linéaires dans l'espace d'état

$$\begin{cases} \dot{x}(t) = f(x, u, t) \\ y(t) = g(x, u, t) \end{cases} \quad \text{ou} \quad \begin{cases} x_{k+1} = f(x, u, k) \\ y_k = g(x, u, k) \end{cases}$$

▲  $x$  : état du système

▲  $u$  : commandes du système (actionneurs)

▲  $y$  : mesures du système (capteurs)

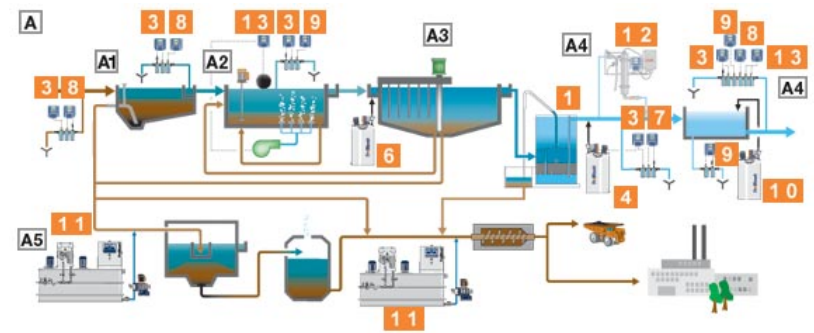
### ● Modèles linéaires dans l'espace d'état et matrices de transfert (MIMO)

$$\Sigma(s) \sim \begin{cases} \dot{x}(t) = Ax(t) + Bu(t) \\ y(t) = Cx(t) + Du(t) \end{cases} \quad \text{ou} \quad \Sigma(z) \sim \begin{cases} x_{k+1} = Ax_k + Bu_k \\ y_k = Cx_k + Du_k \end{cases}$$

## ■ Systèmes dynamiques, exemples



© AIRBUS S.A.S. - H. Goussé



© ProMinent



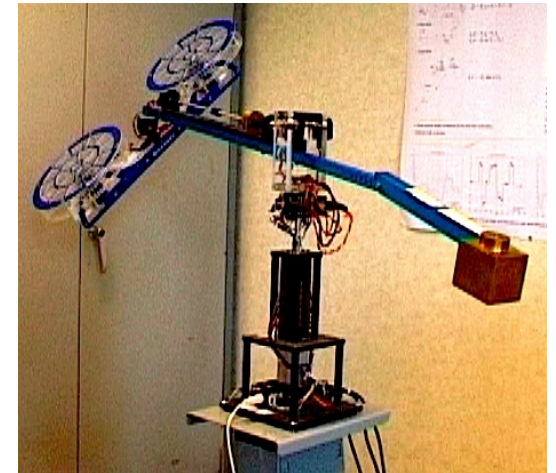
© CNES - ill. D. Ducos



HRP-2 Promet



@ Astrium - Ariane 5



@ Quanser - 3DOF hélico

- Modélisation pour la commande
- Isoler un comportement dynamique
  - ▲ Découplage par axes - mouvement longitudinaux/latéraux d'un avion
  - ▲ Découplage temporel - incidence/remplissage réservoir d'un lanceur
  - ▲ Découplage par modes - rejoindre destination / positionnement précis
  - ▲ Découplage fréquentiel - échantillonnage, dynamiques composants
- Définir trajectoire/position de référence
  - ▲ Termes non-linéaires négligés, simplifiés ou linéarisés
  - ▲ Enoncé de performances à atteindre
  - ▲ Enoncé de contraintes à satisfaire
- Tenir compte de méconnaissances
  - ▲ Tous les phénomènes physiques n'ont pas de description concise
  - ▲ Paramètres varient d'un produit manufacturé à l'autre
  - ▲ Identification de paramètres est toujours entachée d'erreur

## ■ Les modèles obtenus

### ● dépendent de paramètres $\theta$

- ▲ (mode, état d'une dynamique lente, trajectoire de référence...)
- ▲ connus, choisis ou mesurables (avec une certaine précision)

### ● dépendent d'incertitudes $\delta$

- ▲ (dynamiques négligées, approximations, méconnaissances...)
- ▲ inconnus mais bornés, à dynamiques nulles, lentes ou bornées

### ● sont influencés par des perturbations $w$

- ▲ (phénomènes, couplages, fréquences négligées... et trajectoire)
- ▲ inconnus, avec caractéristiques fréquentielles, temporelles, énergétiques...

### ● doivent satisfaire des contraintes sur certaines composantes $z$

- ▲ (performances, validité des hypothèses de modélisation...)
- ▲ caractéristiques fréquentielles, temporelles, énergétiques...

## ■ Modèles non-linéaires dans l'espace d'état

$$\Sigma(\theta, \delta) : \begin{cases} \dot{x}(t) = f(x, u, t, w, \theta, \delta) \\ y(t) = g(x, u, t, w, \theta, \delta) \\ z(t) = h(x, u, t, w, \theta, \delta) \end{cases}$$

### ● Etapes de modélisation permettent simplifications

▲ Découplage temporel  $f(x, u, t) \longrightarrow f(x, u, \theta)$

▲ Linéarisation  $f(x, u, \theta) \longrightarrow A(\delta, \theta)x + B(\delta, \theta)u$

avec  $\delta$  bornée sous contraintes sur certaines composantes  $z$  de l'état

▲ ...

### ● Exemples

▲  $\cos(t)x(t) \longrightarrow \theta(t)x(t)$  avec  $\theta \in [-1 \ 1]$

▲  $x_1(t)x_2(t) \longrightarrow \delta(t)x_2(t)$  avec  $\delta \in [-1 \ 1]$  si  $z = x_1 \in [-1 \ 1]$

## ■ Typologie de modèles :

- **Systeme physique réel** - parfois accessible pour experimentation
- **Modèle physique idéal** - pour modélisation mathématique  
(Agrégat de systèmes élémentaires)
- **Modèle mathématique idéal** - pour simulation sur calculateurs  
(Modèle de connaissance obtenu par application des lois de la physique)
- **Modèle mathématique réduit** - pour simulations rapides  
(Modèle de comportement obtenu par découplage, linéarisation, réduction...)
- **Modèle réduit incertain** - pour analyse robuste, pessimiste  
(Modèle mathématique réduit, simplifié, souvent LTI)  
(erreurs contenues dans incertitudes et spécifications de performance)
- **Modèle réduit nominal** - pour la synthèse de lois de commande  
(Modèle sans incertitudes avec un seul critère de performance)



- Commande classique : synthèse pour  $\theta = \theta_0$  fixé, sans incertitudes  $\delta = 0$

$$\Sigma(\theta_0, 0) : \begin{cases} \dot{x}(t) = f(x, u, t, w, \theta_0, 0) \\ y(t) = g(x, u, t, w, \theta_0, 0) \\ z(t) = h(x, u, t, w, \theta_0, 0) \end{cases} \quad \Sigma_c : \begin{cases} \dot{\eta}(t) = f_c(\eta, y, t) \\ u(t) = g_c(\eta, y, t) \end{cases}$$

- Exemple : synthèse LQG -  $\min \|z\|_2$  sous  $w$  bruit blanc gaussien

$$\begin{cases} \dot{x}(t) = A_{\theta_0}(t)x(t) + B_{\theta_0}(t)u(t) + w_1(t) \\ y(t) = C_{\theta_0}(t)x(t) + w_2(t) \\ z_1(t) = Q^{1/2}(t)x(t) \\ z_2(t) = R^{1/2}(t)u(t) \end{cases}$$

$$\begin{cases} \dot{\eta}(t) = (A_{\theta_0}(t) - L(t)C_{\theta_0}(t) - B_{\theta_0}(t)K(t))\eta(t) + L(t)y(t) \\ u(t) = -K(t)\eta(t) \end{cases}$$

- Commande classique : synthèse pour  $\theta = \theta_0$  fixé, sans incertitudes  $\delta = 0$
- Commande en boucle fermée est intrinsèquement robuste, mais ...
  - ▲ Stabilité préservée en réponse à des perturbations non-modélisées, faibles
  - ▲ Comportement inchangé pour petits écarts de  $\theta$  et  $\delta$
  - ▲ Performances fortement dégradées pour écarts moyens
  - ▲ Risque d'instabilité pour grands écarts
- Système de commande robuste :

*Un système de commande est dit **robuste** s'il conserve ses **propriétés** malgré les **incertitudes** et les **perturbations** affectant le système*

- Tenir compte des écarts lors de la conception : Synthèse robuste
- Valider robustesse d'une loi de commande : Analyse robuste

- 10 janvier : Introduction + rappels - cours
- 11 janvier : Modèles incertains - cours
- 17 janvier : Modèles incertains - exercices
- 18 janvier : Stabilité robuste par fonctions de Lyapunov - cours
- 24 janvier : Stabilité robuste - exercices - salle TP
- 25 janvier : Théorème du petit gain - cours
- 31 janvier :  $\mu$ -analyse - cours
- 1 février :  $\mu$ -analyse - exercices - salle TP
- 7 février : Synthèse robuste - cours
- 8 février : Synthèse robuste - exercices - salle TP
- ▲ 9 février : Modélisation d'un problème de performance robuste - TP
- ▲ 17 février : Synthèse robuste et analyse robuste de la boucle fermée - TP

## Références

- [Apkarian(2012)] P. Apkarian. Elements de la théorie de la commande robuste, 2012. URL [pierre.apkarian.free.fr/COURS/polysae.pdf](http://pierre.apkarian.free.fr/COURS/polysae.pdf).
- [Arzelier()] D. Arzelier. Commande robuste. URL <http://homepages.laas.fr/arzelier/cours.html>.
- [Barmish(1985)] B. Barmish. Necessary and sufficient condition for quadratic stabilizability of an uncertain system. *J. Optimization Theory and Applications*, 46(4), Aug. 1985.
- [Chesi(2010)] G. Chesi. LMI techniques for optimization over polynomials in control : a survey. *IEEE Trans. Aut. Control*, 55(11) :2500–2510, 2010.
- [Duc and Font(1999)] G. Duc and S. Font. *Commande  $H_\infty$  et  $\mu$ -analyse : des outils pour la robustesse*. Hermes Science, Paris, 1999.
- [Laroche()] E. Laroche. Commande robuste. URL <http://eavr.u-strasbg.fr/~laroche/student/#MIRIV>.
- [McFarlane and K.(1990)] D. McFarlane and G. K. *Robust Controller Design Using Normalized Coprime Factor Plant Descriptions*. Lecture Notes in Control and Information Sciences. Springer Verlag, 1990.

- [Peaucelle et al.(2000)Peaucelle, Arzelier, Bachelier, and Bernussou] D. Peaucelle, D. Arzelier, O. Bachelier, and J. Bernussou. A new robust D-stability condition for real convex polytopic uncertainty. *Systems & Control Letters*, 40(1) :21–30, May 2000.
- [Scherer()] C. Scherer. Theory of robust control. URL <http://www.ist.uni-stuttgart.de/education/courses/robust/overview.shtml>.
- [Skogestad and Postlethwaite(2005)] S. Skogestad and I. Postlethwaite. *Multivariable Feedback Control*. Wiley, 2nd ed. edition, 2005.
- [Tempo et al.(2005)Tempo, Calafiore, and Dabbene] R. Tempo, G. Calafiore, and F. Dabbene. *Randomized Algorithms for Analysis and Control of Uncertain Systems*. Springer-Verlag, 2005.
- [Tits and Fan(1995)] A. Tits and M. Fan. On the small  $\mu$  theorem. *Automatica*, 31 :1199–1201, 1995.
- [Zhou et al.(1996)Zhou, Doyle, and Glover] K. Zhou, J. Doyle, and K. Glover. *Robust and Opimal Control*. Prentice Hall, Englewood Cliffs, New Jersey, 1996.



Cours M2 ASTR - module FRS - Commande Robuste

Annexe - Normes des systèmes

## ■ Les normes spatiales et temporelles

● **Motivation** : afin d'évaluer à l'aide d'un nombre unique une mesure globale de la "taille" d'un vecteur, d'une matrice, d'un signal ou d'un système

## ● **Définition**

*Une norme est une fonction  $\|\cdot\|$  définie sur un espace vectoriel  $E$ ,  $\|e\| : E \rightarrow \mathbb{R}^+$  vérifiant les propriétés axiomatiques :*

1-  $\forall e \in E : \|e\| \geq 0$

2-  $\|e\| = 0 \Leftrightarrow e = 0$

3-  $\forall \alpha \in \mathbb{R}, \forall e \in E, \|\alpha e\| = |\alpha| \cdot \|e\|$

4-  $\forall e_1, e_2 \in E, \|e_1 + e_2\| \leq \|e_1\| + \|e_2\|$

▲ Nota :  $E$  espace de vecteurs, matrices, signaux temporels, systèmes linéaires



■ Normes des vecteurs :  $E = \mathbb{C}^n$

$$\|e\|_p = \begin{cases} \left( \sum_{i=1}^n |e_i|^p \right)^{1/p} & \text{pour } 1 \leq p < \infty \\ \max_{1 \leq i \leq n} |e_i| & \text{pour } p = \infty \end{cases}$$

▲ Exemple :  $e = \begin{bmatrix} 1 & 0 & -3 \end{bmatrix}'$

$$\|e\|_1 = 4 \text{ (taxi cab norm)}$$

$$\|e\|_2 = \sqrt{10} \text{ (norme Euclidienne)}$$

$$\|e\|_\infty = 3$$

>> **norm(e, p)**

■ Normes des matrices :  $E = \mathbb{C}^{n \times m}$

● Condition de consistance

$\|A\|$  est une norme matricielle si elle vérifie en plus des propriétés élémentaires la propriété de sous-multiplicativité :

$$\|AB\| \leq \|A\| \cdot \|B\|$$

▲ Exemples norme matricielles :  $A = \begin{bmatrix} 1 & -2 \\ 0 & 6 \end{bmatrix}$

$$\|A\|_{\text{sum}} = \sum_{i,j} |a_{ij}| = 9, \quad \|A\|_F = \sqrt{\sum_{i,j} |a_{ij}|^2} = \sqrt{\text{trace}(A^*A)} = \sqrt{41}$$

▲ Exemple norme généralisée :  $\|A\|_{\max} = \max_{i,j} |a_{ij}| = 6$

$$B = C = \begin{bmatrix} 1 & 1 \\ 1 & 1 \end{bmatrix}, \quad \|BC\|_{\max} = 2 > \|B\|_{\max} \cdot \|C\|_{\max} = 1$$

■ Normes induites de matrices :  $E = \mathbb{C}^{n \times m}$

$$\|A\|_{ip} = \max_{e \neq 0} \frac{\|Ae\|_p}{\|e\|_p} = \max_{\|e\|_p \leq 1} \|Ae\|_p = \max_{\|e\|_p = 1} \|Ae\|_p$$

▲ Exemples :  $\gg \mathbf{A} = \begin{bmatrix} 1 & -2 \\ 0 & 6 \end{bmatrix}$ ;  $\text{norm}(\mathbf{A}, p)$

$$\|A\|_{i1} = \max_j \left( \sum_i |a_{ij}| \right) = 8$$

$$\|A\|_{i\infty} = \max_i \left( \sum_j |a_{ij}| \right) = 6$$

$$\|A\|_{i2} = \bar{\sigma}(A) = \sqrt{\max_i |\lambda_i(A^*A)|} = 6.3326 \quad \text{val. singulière max. ou norme spectrale}$$

▲ Nota :  $\sup_{e \neq 0} \frac{\|Ae\|_p}{\|e\|_p} = \max_{e \neq 0} \frac{\|Ae\|_p}{\|e\|_p}$  car  $\{x : \|x\|_p \leq 1\}$  est *compact* et  $\|\bullet\|_p$  *continue*.

▲ Nota : De plus  $\max_{e \neq 0} \frac{\|Ae\|_p}{\|e\|_p} = \max_{\|f\|_p = 1, \lambda \neq 0} \frac{\|A\lambda f\|_p}{\|\lambda f\|_p} = \max_{\|f\|_p = 1} \|Af\|_p$ .

- Les valeurs singulières d'une matrice

$A \in \mathbb{C}^{l \times m}$  peut être factorisée à l'aide d'une **décomposition en valeurs singulières** :

$$A = U \Sigma V^* \quad U \in \mathbb{C}^{l \times l} \quad U^* = U^{-1} \quad V \in \mathbb{C}^{m \times m} \quad V^* = V^{-1}$$

$\Sigma$  est formée par une matrice diagonale des **valeurs singulières**  $\sigma_i$  dans l'ordre décroissant

-  $l \geq m$  :

$$\Sigma = \begin{bmatrix} \text{diag}(\sigma_1, \dots, \sigma_q) \\ \mathbf{0}_{l-m \times m} \end{bmatrix} \quad \sigma_i(A) = \sqrt{\lambda_i(AA^*)} = \sqrt{\lambda_i(A^*A)}$$

-  $l \leq m$  :

$$\Sigma = \left[ \text{diag}(\sigma_1, \dots, \sigma_q) \mid \mathbf{0}_{l \times m-l} \right]$$

avec  $\bar{\sigma} = \sigma_1 \geq \dots \geq \sigma_q = \underline{\sigma} > 0$  et  $\min(l, m) \geq \text{rang}(A) = q$ ,

## ▲ Valeurs singulières : exemple

```
>>A=[-1 0 2;1 0 -2;0 1 -1;0 0 1]; [U,S,V] = SVD(A)
```

U =

-0.6485	0.2324	-0.1594	0.7071
0.6485	-0.2324	0.1594	0.7071
0.2941	0.9398	0.1739	0
-0.2690	-0.0932	0.9586	0.0000

S =

3.4259	0	0
0	1.0536	0
0	0	0.3918
0	0	0

V =

0.3786	-0.4412	0.8137
0.0858	0.8920	0.4437
-0.9216	-0.0982	0.3756

## ● Propriétés des valeurs singulières

- $\bar{\sigma}(A^{-1}) = 1/\underline{\sigma}(A)$
- $\underline{\sigma}(A) \leq |\lambda_i(A)| \leq \bar{\sigma}(A)$
- $\bar{\sigma}(AB) \leq \bar{\sigma}(A)\bar{\sigma}(B)$
- $\underline{\sigma}(A)\underline{\sigma}(B) \leq \underline{\sigma}(AB)$
- $\sigma_i(A) - \bar{\sigma}(A) \leq \bar{\sigma}(A+B) \leq \sigma_i(A) + \bar{\sigma}(B)$
- $\underline{\sigma}(A) - 1 \leq \underline{\sigma}(A+1) \leq \underline{\sigma}(A) + 1$
- $AA^* \leq \bar{\sigma}(A)^2 \mathbf{1}$  et  $A^*A \leq \bar{\sigma}(A)^2 \mathbf{1}$  (inégalités matricielles)

▲ Rayon spectral :  $\rho(A) = \max_i |\lambda_i(A)|$

- $\rho(A) \leq \bar{\sigma}(A)$

● Propriétés entre les normes de matrices  $A \in \mathbb{C}^{n \times m}$

- $\bar{\sigma}(A) \leq \|A\|_F \leq \sqrt{\min(n, m)} \bar{\sigma}(A)$
- $\bar{\sigma}(A) \leq \sqrt{\|A\|_{i1} \|A\|_{i\infty}}$
- $\frac{1}{\sqrt{m}} \|A\|_{i\infty} \leq \bar{\sigma}(A) \leq \sqrt{n} \|A\|_{i\infty}$
- $\frac{1}{\sqrt{n}} \|A\|_{i1} \leq \bar{\sigma}(A) \leq \sqrt{m} \|A\|_{i1}$
- $\max\{\bar{\sigma}(A), \|A\|_F, \|A\|_{i1}, \|A\|_{i\infty}\} \leq \|A\|_{sum}$

## ■ Normes des signaux

Un signal  $f(t)$  est une fonction du temps, continue par morceaux,  $f : [0, +\infty) \rightarrow \mathbb{R}^n$

$$1\text{- Norme 1 } (\mathcal{L}_1[0, +\infty)) : \|f\|_1 = \int_0^\infty \sum_{i=1}^n |f_i(t)| dt = \sum_{i=1}^n \|f_i\|_1 = \int_0^\infty \|f(t)\|_1 dt$$

Interprétation : représente la consommation d'une ressource

$$2\text{- Norme 2 } (\mathcal{L}_2[0, +\infty)) : \|f\|_2^2 = \int_0^\infty \sum_{i=1}^n f_i(t)^2 dt = \sum_{i=1}^n \|f_i\|_2^2 = \int_0^\infty \|f_i(t)\|_2^2 dt$$

Interprétation : son carré représente l'énergie du signal

$$3\text{- Norme } \infty (\mathcal{L}_\infty[0, +\infty)) : \|f\|_\infty = \sup_t \left[ \max_{1 \leq i \leq n} |f_i(t)| \right] = \max_{1 \leq i \leq n} \|f_i\|_\infty = \sup_t \|f(t)\|_\infty$$

Interprétation : pire des cas

$$f(t) = 1 - e^{-t}, \quad \|f\|_\infty = 1$$



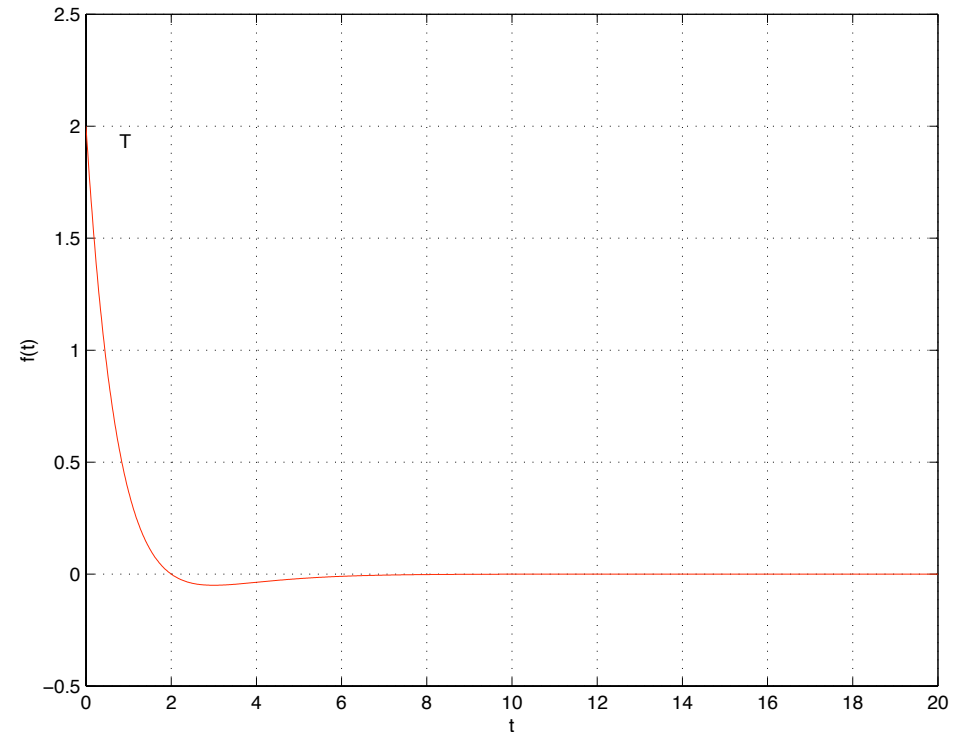
## ▲ Norme des signaux : exemple

Soit le signal  $f(t) = (T - t)e^{-t}$ ,  
 $T > \text{Lambert } W(1/e)$

La fonction de Lambert :

$$W = h^{-1}$$

$$h : x \rightarrow xe^x \text{ sur } [-1/e, +\infty[$$



$$- \|f(t)\|_1 = 2e^{-T} + T - 1$$

$$- \|f(t)\|_2 = \frac{T^2}{2} + \frac{1}{4} - \frac{T}{2}$$

$$- \|f(t)\|_\infty = T$$

■ Espaces de fonctions - Espaces de Hardy

- $\mathcal{H}_2$  : espace des fonctions  $s \in \mathbb{C} \mapsto \hat{f}(s) \in \mathbb{C}^{n \times m}$  telles que

$$\|\hat{f}\|_2 = \left( \frac{1}{2\pi} \int_{-\infty}^{+\infty} \text{trace} \left[ \hat{f}^*(j\omega) \hat{f}(j\omega) \right] d\omega \right)^{1/2} < \infty$$

- Théorème de Paley-Wiener sur la transformée de Laplace

$$\begin{aligned} \mathcal{L}_2[0, +\infty) &\rightarrow \mathcal{H}_2 \\ f &\mapsto \hat{f}(s) = \int_{-\infty}^{+\infty} f(t) e^{-st} dt \end{aligned}$$

- Théorème de Parseval :  $\|f\|_2 = \|\hat{f}\|_2$

- $\mathcal{RH}_2$  : sous-ensemble des fonctions rationnelles strictement propres et stables

▲ Exemples :

$$\frac{s+1}{(s+2)(s+3)} \in \mathcal{RH}_2 \quad \frac{s+1}{(s+2)(s-3)} \notin \mathcal{RH}_2 \quad \frac{(s-1)}{(s+1)} \notin \mathcal{RH}_2$$

■ Espaces de fonctions - Espaces de Hardy

●  $\mathcal{H}_\infty$  : espace des fonctions  $s \in \mathbb{C} \mapsto \hat{f}(s) \in \mathbb{C}^{n \times m}$

$$\|\hat{f}\|_\infty = \sup_{\omega \in \mathbb{R}} \bar{\sigma}(\hat{f}(j\omega)) < \infty$$

▲ Nota :  $\mathcal{H}_\infty$  est un espace de Banach et n'est pas un espace de Hilbert.

(On ne peut pas définir de notion de produit scalaire)

▲  $\mathcal{RH}_\infty$  : sous-ensemble des fonctions rationnelles propres et stables

$$\|\hat{f}\|_\infty = \sup_{\omega \in \mathbb{R}} \bar{\sigma}(\hat{f}(j\omega)) = \sup_{\text{Re}(s) > 0} \bar{\sigma}(\hat{f}(s))$$

▲ Exemples :

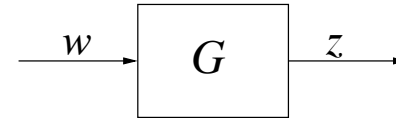
$$\frac{s+1}{(s+2)(s-3)} \notin \mathcal{RH}_\infty \quad \frac{(s-1)}{(s+1)} \in \mathcal{RH}_\infty$$

$$\begin{bmatrix} s/(s+3) \\ 1/(s-1) \end{bmatrix} \notin \mathcal{RH}_\infty \quad \begin{bmatrix} 1 & (s-1)/(s+1) & 1/(s+2) \end{bmatrix} \in \mathcal{RH}_\infty$$

■ **Motivation** : Afin d'évaluer la performance d'un système, étant donnée l'information sur les signaux d'entrée  $w$ , quelle grandeur peut prendre le vecteur de sortie  $z$  ?

Quels sont les signaux d'entrée  $w$  considérés ? et qu'entend-on par taille ?

Quelques ensembles de signaux :



- $w$  est constitué d'**impulsions**  $\delta(t - \tau_i)$
- $w(t) = \sin(\omega t)$  pour  $\omega$  fixée
- $w$  est d'**énergie finie**  $\|w\|_2 \leq 1$
- $w$  est **borné en amplitude**  $\|w\|_\infty \leq 1$
- $w$  est un **bruit blanc** de moyenne nulle

La **taille** d'un signal (système) est précisée par l'utilisation de **normes** des signaux (systèmes)

## ■ Norme $\mathcal{H}_2$ des systèmes :

Soit  $G(s) = \mathcal{L}(g(t))$  fonction de transfert stable, **strictement propre**, causale

### ▲ Monovariante :

$$\|G\|_2 = \left( \frac{1}{2\pi} \int_{-\infty}^{+\infty} |G(j\omega)|^2 d\omega \right)^{1/2} = \|g\|_2$$

### ▲ Multivariable :

$$\|G\|_2^2 = \frac{1}{2\pi} \int_{-\infty}^{+\infty} \text{trace} [G^*(j\omega)G(j\omega)] d\omega = \sum_i \|g_i\|_2^2$$

## ● Interprétations :

- L'énergie du signal de sortie en réponse à un bruit blanc gaussien de moyenne nulle et de variance 1
- La norme  $\mathcal{L}_2$  de la réponse impulsionnelle du système à une entrée impulsionnelle sur chaque entrée

- Calcul de la norme  $\mathcal{H}_2$

La norme  $\mathcal{H}_2$  d'un système stable est finie ssi il est strictement propre et n'a pas de pôles sur l'axe imaginaire

$$G(s) \simeq \left[ \begin{array}{c|c} A & B \\ \hline C & 0 \end{array} \right] \text{ Equations de Lyapunov : } \begin{aligned} AW_c + W_c A' + BB' &= 0 \\ A'W_o + W_o A + C'C &= 0 \end{aligned}$$

$$W_c = \int_0^{\infty} e^{At} BB' e^{A't} dt \quad \text{grammien de commandabilité}$$

$$W_o = \int_0^{\infty} e^{A't} C' C e^{At} dt \quad \text{grammien d'observabilité}$$

$$\|G\|_2^2 = \text{trace}[CW_c C'] = \text{trace}[B'W_o B]$$

## ▲ Exemple de calcul de la norme $\mathcal{H}_2$

```
>> A=[-1 2 0;0 -2 1;0 0 -3];B=[0 1;1 0; 1 1];C=[1 0 -1];D=[0 0
```

```
>> sys=ss(A,B,C,D);
```

```
>> h2=norm(sys,2)
```

```
h2 =
```

```
0.9129
```

---

```
>> A=[-1 2 0;0 -2 1;0 0 -3];B=[0 1;1 0; 1 1];C=[1 0 -1];
```

```
>> Wc=lyap(A,B*B')
```

```
Wc =
```

```
1.2667    0.3833    0.3833
```

```
0.3833    0.3833    0.2667
```

```
0.3833    0.2667    0.3333
```

```
>> h2=sqrt(trace(C*Wc*C'))
```

```
h2 =
```

```
0.9129
```

## ■ Norme $\mathcal{H}_\infty$ des systèmes :

Soit  $G(s) = \mathcal{L}(g(t))$  fonction de transfert stable, propre, causale

### ▲ Monovariante :

$$\|G\|_\infty = \sup_{\omega} |G(j\omega)| = \sup_{w \neq 0, w \in \mathcal{L}_2} \frac{\|Gw\|_2}{\|w\|_2}$$

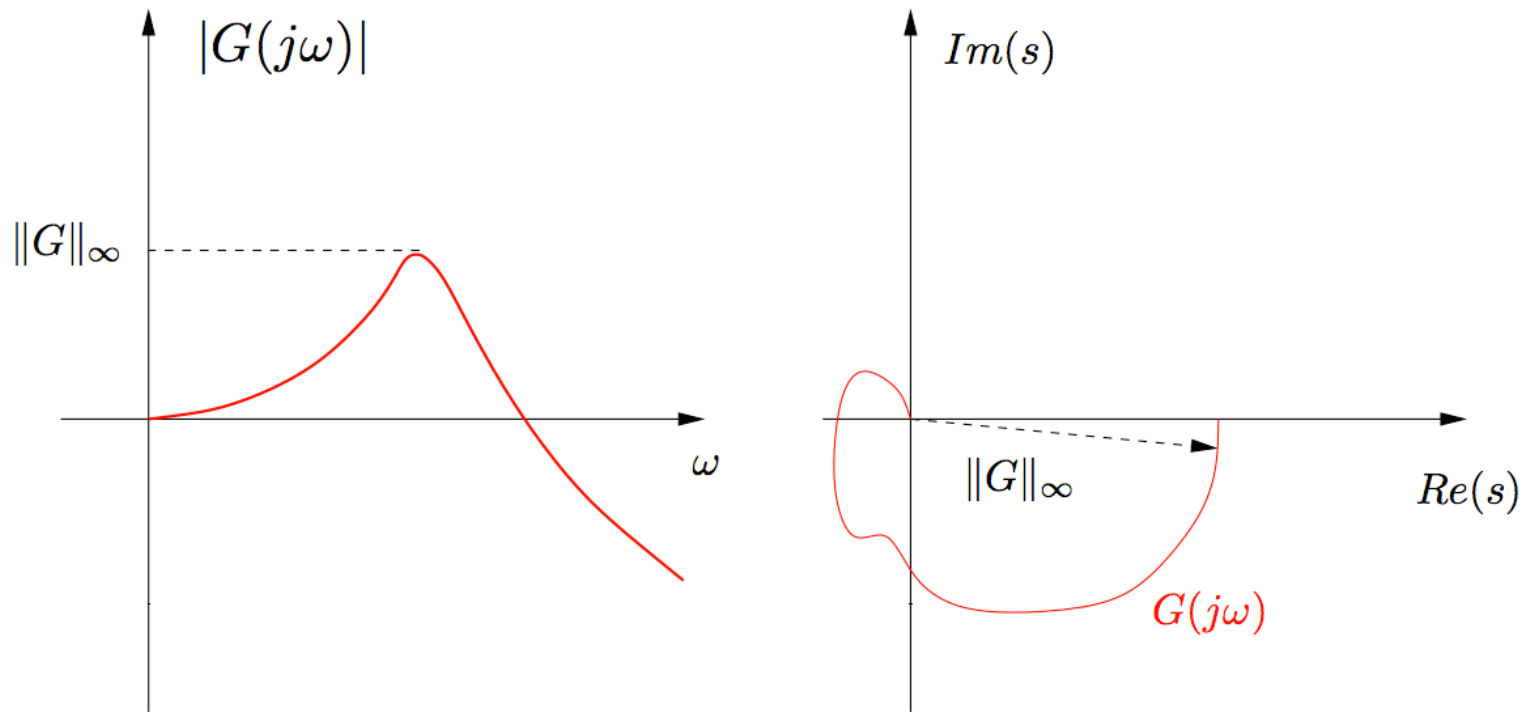
### ▲ Multivariable :

$$\|G\|_\infty = \sup_{\omega} \bar{\sigma}(G(j\omega)) = \sup_{w \neq 0, w \in \mathcal{L}_2} \frac{\|Gw\|_2}{\|w\|_2}$$

## ● Interprétations :

- La valeur maximale de l'amplitude dans Bode ou la distance de l'origine au point le plus éloigné du lieu de transfert dans Nyquist (monovariante)
- La norme induite  $\mathcal{L}_2$





● Calcul de la norme  $H_\infty$

Soit  $G(s) \simeq \left[ \begin{array}{c|c} A & B \\ \hline C & D \end{array} \right]$ ,  $R(\gamma) = D'D - \gamma^2 \mathbf{1}$

▲ Lemme : La norme  $\mathcal{H}_\infty$  d'un système stable est finie ssi il n'a pas de pôles sur l'axe imaginaire

Matrice Hamiltonienne :

$$H_\gamma = \begin{bmatrix} A - BR^{-1}(\gamma)D'C & -BR^{-1}(\gamma)B' \\ -C'(\mathbf{1} - DR^{-1}(\gamma)D')C & -A' + C'DR^{-1}(\gamma)B' \end{bmatrix}$$

▲ Thm : Pour  $\gamma > \bar{\sigma}(D)$ ,  $\|G\|_\infty < \gamma$  ssi  $H_\gamma$  n'a pas de valeur propre sur l'axe imaginaire

$$\Lambda(H_\gamma) \cap \mathbb{C}^0 = \emptyset$$

- Calcul de la norme  $H_\infty$

- ▲  $\gamma$ -itérations :

- On choisit  $[\gamma_{min}, \gamma_{max}]$  tel que

$$\gamma_{min} > \bar{\sigma}(D)$$

- Pour  $\gamma = 1/2(\gamma_{min} + \gamma_{max})$ , on forme  $H_\gamma$  et on calcule ses valeurs propres.

- Si les valeurs propres ne sont pas sur l'axe imaginaire :

- On **diminue**  $\gamma$  en choisissant un nouvel intervalle  $[\gamma_{min}, \gamma]$

- Si les valeurs propres sont sur l'axe imaginaire :

- On **augmente**  $\gamma$  en choisissant un nouvel intervalle  $[\gamma, \gamma_{max}]$

- On répète ce processus jusqu'à obtenir une approximation de

$$\gamma_\infty = \|G\|_\infty$$

▲ Exemple de calcul de la norme  $H_2$

$$G(s) = \frac{1}{s + a} \quad a > 0$$

Une réalisation minimale d'état est donnée par :

$$\dot{x} = -ax + u$$

$$y = x$$

Les équations de Lyapunov sont :

$$-2aW_c + 1 = 0 \quad -2aW_o + 1 = 0$$

d'où les grammiens et la norme  $\mathcal{H}_2$  :

$$W_c = W_o = \frac{1}{2a}$$

$$\|G\|_2 = \frac{1}{\sqrt{2a}}$$

▲ Exemple de calcul de la norme  $H_\infty$  de  $G(s) = \frac{1}{s+a}$

La matrice Hamiltonnienne :

$$H_\gamma = \begin{bmatrix} -a & \gamma^{-2} \\ -1 & a \end{bmatrix}$$

Le polynôme caractéristique de  $H_\gamma$  :

$$P(\lambda) = \lambda^2 + (1/\gamma^2 - a^2)$$

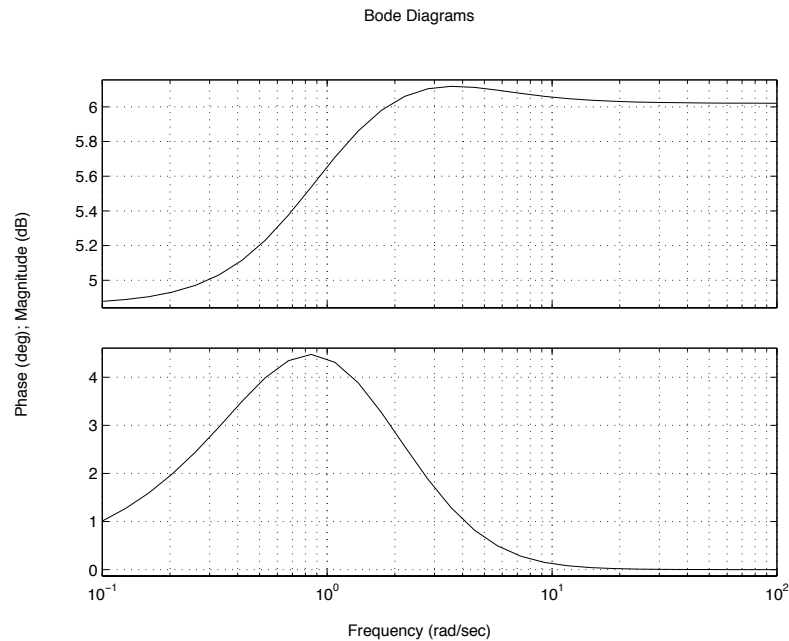
Les valeurs propres de  $H_\gamma$  :

$$\gamma > \frac{1}{a} \quad \lambda = \pm \sqrt{1/\gamma^2 - a^2} \quad \gamma < \frac{1}{a} \quad \lambda = \pm j \sqrt{1/a^2 - \gamma^2}$$

La norme  $\mathcal{H}_\infty$  :

$$\|G\|_\infty = \frac{1}{a}$$

```
>> A=[-1 0 -2;0 -1 1;0 0 -4];B=[0;0;1];C=[1 1 0];D=2;  
>> sys=ss(A,B,C,D);  
>> [hinf,fpeak]=norm(sys,inf,1e-4)  
hinf =  
    2.0225  
fpeak =  
    3.9441
```



Soit le modèle entrée-sortie multivariable  $y = G(s)d$  où  $y \in \mathbb{R}^r$  et  $d \in \mathbb{R}^m$ .

- On applique une sinusoïde  $d_j(t) = d_{j0} \sin(\omega t + \alpha_j)$  sur l'entrée  $j$  alors  $y_i(t) = y_{i0} \sin(\omega t + \beta_i)$

$$\frac{y_{i0}}{d_{j0}} = |g_{ij}(j\omega)| \quad \beta_i - \alpha_j = \arg [g_{ij}(j\omega)]$$

- On applique simultanément sur chaque entrée des signaux sinusoïdaux de même fréquence  $\omega$  + principe de superposition

$$y_i(\omega) = \sum_{j=1}^m g_{ij}(j\omega) d_j(\omega) \quad y(\omega) = G(j\omega) d(\omega)$$

**Nota :**  $d_j(\omega) = d_{0j} e^{j\alpha_j}$

- Gain des systèmes SISO :

$$\frac{|y(\omega)|}{|d(\omega)|} = \frac{|G(j\omega)d(\omega)|}{|d(\omega)|} = f(\omega) = |G(j\omega)|$$

- Gain des systèmes MIMO :

$$\frac{\|y(\omega)\|_2}{\|d(\omega)\|_2} = \frac{\|G(j\omega)d(\omega)\|_2}{\|d(\omega)\|_2} = f(\omega, d)$$

## Nota :

- $f(\omega)$  est indépendante de  $\|d(\omega)\|$  mais dépend de **la direction d'entrée  $d$**
- La notion de **phase** pour les systèmes multivariables est complexe à définir et ne sera pas abordée dans ce cours



Exemple :  $G = \begin{bmatrix} 3 & 2 \\ -1 & 1 \end{bmatrix}$

$$d_1 = \begin{bmatrix} 1 \\ 0 \end{bmatrix}$$

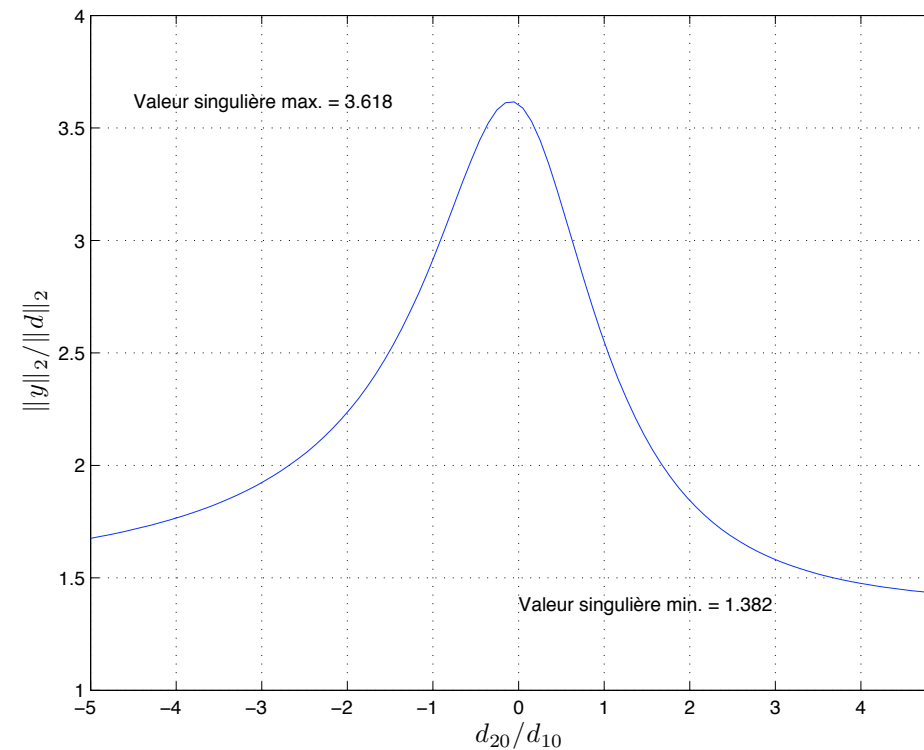
$$\|y_1\|_2 = \sqrt{10}$$

$$d_2 = \begin{bmatrix} 0 \\ 1 \end{bmatrix}$$

$$\|y_2\|_2 = \sqrt{5}$$

$$d_3 = \begin{bmatrix} 0.707 \\ -0.707 \end{bmatrix}$$

$$\|y_3\|_2 = 2.9150$$



## Definition 1 :

- La valeur maximale du gain quand l'entrée varie est *la valeur singulière maximale* de  $G$  :

$$\max_{d \neq 0} \frac{\|Gd\|_2}{\|d\|_2} = \max_{\|d\|_2=1} \|Gd\|_2 = \bar{\sigma}(G)$$

- La valeur minimale du gain quand l'entrée varie est *la valeur singulière minimale* de  $G$  :

$$\min_{d \neq 0} \frac{\|Gd\|_2}{\|d\|_2} = \min_{\|d\|_2=1} \|Gd\|_2 = \underline{\sigma}(G)$$

**Nota :** le gain est indépendant de l'amplitude d'entrée

Soit  $G(j\omega) \in \mathbb{C}^{r \times m}$  une matrice de réponse fréquentielle telle que sa SVD pour  $\omega$  fixée est

$$G(j\omega) = U(\omega)\Sigma(\omega)V^*(\omega) \quad \Sigma(\omega) = \begin{bmatrix} \bar{\sigma}(\omega) & & & \\ & \ddots & & \\ & & \underline{\sigma}(\omega) & \\ & & & \mathbf{0} \\ & \mathbf{0} & & \mathbf{0} \end{bmatrix}$$

## Definition 2 :

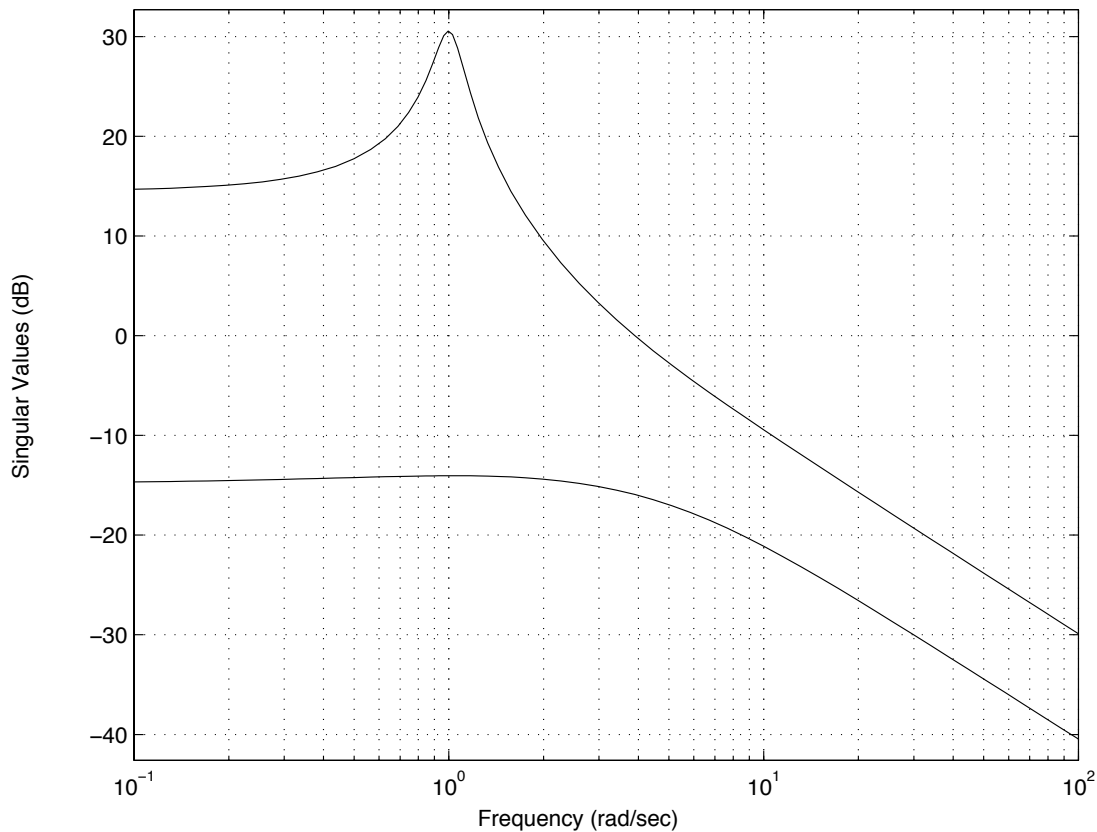
Les valeurs singulières sont appelées *valeurs principales* ou *gains principaux*. De plus, on définit les *directions d'entrée*  $v_j$  et de *sortie*  $u_i$  :

$$V = [v_j]_{j=1, \dots, m} \quad U = [u_i]_{i=1, \dots, r} \quad G(j\omega)V = U\Sigma(\omega) \quad Gv_i = \sigma_i u_i \quad \sigma_i = \|Gv_j\|_2$$

**Nota :** la  $i$ ème valeur singulière donne le gain dans la direction  $i$ .

Exemple : modèle deux entrées - deux sorties

Singular Values



»  $A = [-0.1 + j \ 1 \ -1 ; 0 \ -0.1 - j \ 2 ; 0 \ 0 \ -6] ;$

»  $B = [0 \ 1 ; 1 \ 0 ; 1 \ 1] ;$

»  $C = [3 \ 1 \ 0 ; -1 \ 0 \ 1] ;$

»  $D = [0 \ 0 ; 0 \ 0] ;$

»  $\text{sys} = \text{ss}(A, B, C, D) ;$

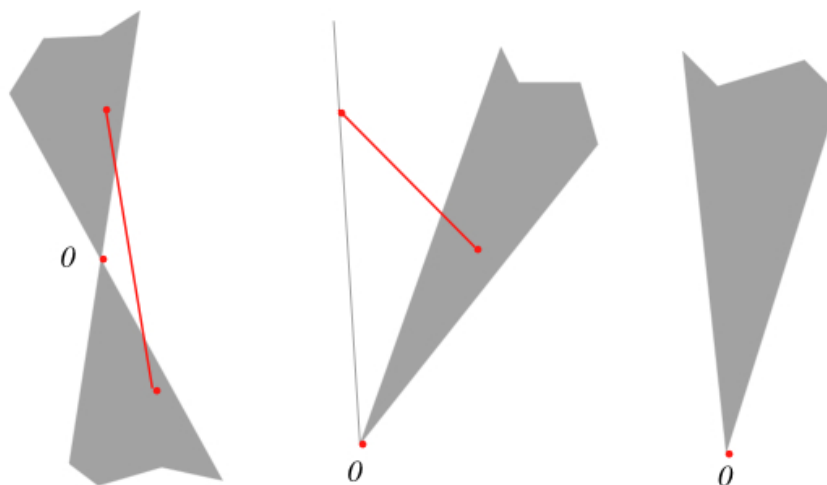
»  $\text{sigma}(\text{sys}, 0.1, 100)$

Cours M2 ASTR - module FRS - Commande Robuste

Annexe - LMI et Outils d'optimisation

## ■ Convex cones

- A set  $\mathcal{K}$  is a cone if for every  $x \in \mathcal{K}$  and  $\lambda \geq 0$  we have  $\lambda x \in \mathcal{K}$ .
- A set is a convex cone if it is convex and a cone.

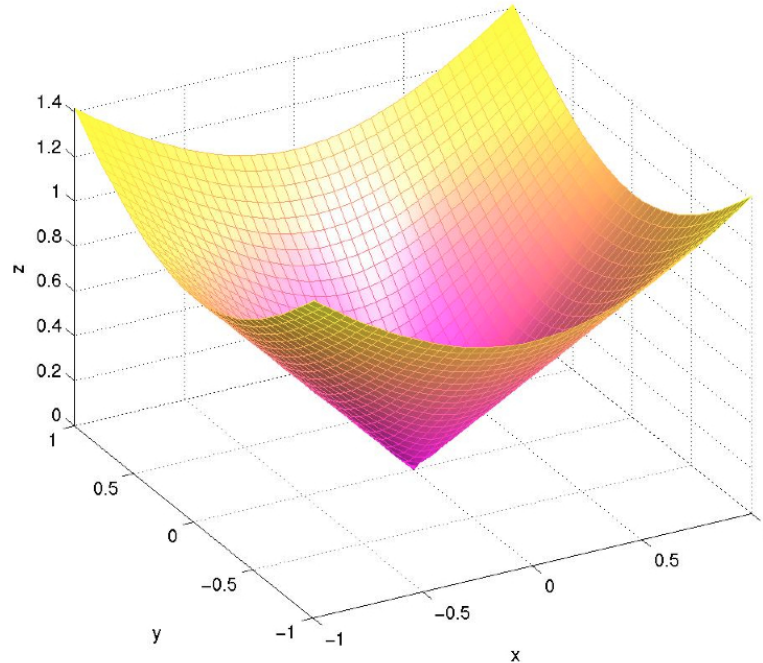


## ■ Convex cones

▲ Convex cone of positive reals :  $x = \begin{pmatrix} x_1 & \dots & x_n \end{pmatrix} \in \mathbb{R}_+^n$

▲ Second order (Lorentz) cone :  $\mathcal{K}_{soc}^n = \left\{ x = \begin{pmatrix} x_1 & \dots & x_n \end{pmatrix}, x_1^2 + \dots + x_{n-1}^2 \leq x_n^2 \right\}$

$\mathcal{K}_{soc}^3$  :



## ■ Convex cones

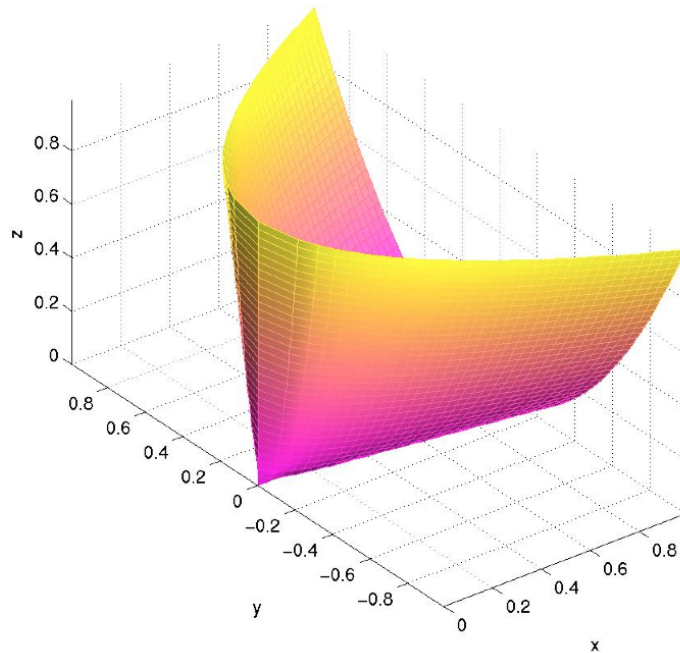
▲ Convex cone of positive reals :  $x \in \mathbb{R}_+$

▲ Second order (Lorentz) cone :  $\mathcal{K}_{soc}^n = \left\{ x = \begin{pmatrix} x_1 & \dots & x_n \end{pmatrix}, x_1^2 + \dots + x_{n-1}^2 \leq x_n^2 \right\}$

▲ Positive semi-definite matrices :

$$\mathcal{K}_{psd}^n = \left\{ x = \begin{pmatrix} x_1 & \dots & x_{n^2} \end{pmatrix}, \text{mat}(x) = \text{mat}(x)^T = \begin{bmatrix} x_1 & x_{n+1} & \dots & x_{n(n-1)+1} \\ \vdots & \vdots & & \vdots \\ x_n & x_{2n} & \dots & x_{n^2} \end{bmatrix} \geq 0 \right\}$$

$\mathcal{K}_{psd}^2$  :



$$\begin{bmatrix} x_1 & x_2 \\ x_2 & x_3 \end{bmatrix} \geq 0$$



## ■ Convex cones

▲ Convex cone of positive reals :  $x \in \mathbb{R}_+$

▲ Second order (Lorentz) cone :  $\mathcal{K}_{soc}^n = \left\{ x = \begin{pmatrix} x_1 & \dots & x_n \end{pmatrix}, x_1^2 + \dots + x_{n-1}^2 \leq x_n^2 \right\}$

▲ Positive semi-definite matrices :  $\mathcal{K}_{psd}^n = \left\{ x = \begin{pmatrix} x_1 & \dots & x_{n^2} \end{pmatrix}, \text{mat}(x) \geq 0 \right\}$

▲ Unions of such :  $\mathcal{K} = \mathbb{R}_+ \times \dots \times \mathcal{K}_{soc}^{n_1} \times \dots \times \mathcal{K}_{psd}^{n_q} \times \dots$

## ■ Optimization over convex cones

$$p^* = \min c^T x \quad : \quad Ax = b \quad , \quad x \in \mathcal{K}$$

▲ Linear programming :  $\mathcal{K} = \mathbb{R}_+ \times \cdots \times \mathbb{R}_+$ .

▲ Semi-definite programming :  $\mathcal{K} = \mathcal{K}_{psd}^{n_1} \times \cdots \times \mathcal{K}_{psd}^{n_q}$

## ● Dual problem

$$d^* = \max b^T y \quad : \quad A^T y - c^T = z \quad , \quad z \in \mathcal{K}$$

▲ Primal feasible  $\rightarrow$  Dual infeasible

▲ Dual feasible  $\rightarrow$  Primal infeasible

▲ If primal and dual strictly feasible  $p^* = d^*$

## ● Polynomial-time algorithms ( $\mathcal{O}(n^{6.5} \log(1/\epsilon))$ )

## ■ Optimization over convex cones

$$p^* = \min c^T x \quad : \quad Ax = b \quad , \quad x \in \mathcal{K}$$

## ● Dual problem

$$d^* = \max b^T y \quad : \quad A^T y - c^T = z \quad , \quad z \in \mathcal{K}$$

## ● Possibility to perform convex optimization, primal/dual, interior-point methods, etc.

▲ Interior-point methods [Nesterov, Nemirovski 1988] - Matlab Control Toolbox [Gahinet et al.]

▲ Primal-dual path-following predictor-corrector algorithms :

SeDuMi (Sturm), SDPT3 (Toh, Tütüncü, Todd), CSDP (Borchers), SDPA (Kojima et al.)

▲ Primal-dual potential reduction : MAXDET (Wu, Vandenberghe, Boyd)

▲ Dual-scaling path-following algorithms : DSDP (Benson, Ye, Zhang)

▲ Barrier method and augmented Lagrangian : PENSDP (Kocvara, Stingl)

▲ Cutting plane algorithms ...

## ■ Semi-Definite Programming and LMIs

- SDP formulation  $\left\{ \begin{array}{l} p^* = \min c^T x \quad : \quad Ax = b \quad , \quad x \in \mathcal{K} \\ d^* = \max b^T y \quad : \quad A^T y - c^T = z \quad , \quad z \in \mathcal{K} \end{array} \right.$
- LMI formalism  $\left\{ \begin{array}{l} d^* = \min \sum g_i y_i \quad : \quad F_0 + \sum F_i y_i \geq 0 \\ p^* = \max \text{Tr}(F_0 X) \quad : \quad \text{Tr}(F_i X) + g_i = 0 \quad , \quad X \geq 0 \end{array} \right.$

- In control problems : variables are matrices

- ▲ The  $H_\infty$  norm computation example for  $G(s) \sim (A, B, C, D)$  :

$$\|G(s)\|_\infty^2 = \min \gamma \quad : \quad P > 0 \quad , \quad \underbrace{\begin{bmatrix} A^T P + P A + C^T C & B P + C^T D \\ P B^T + D^T C & -\gamma 1 + D^T D \end{bmatrix}}_{\begin{bmatrix} C^T \\ D^T \end{bmatrix} \begin{bmatrix} C^T \\ D^T \end{bmatrix}^T - \gamma \begin{bmatrix} 0 \\ 1 \end{bmatrix} \begin{bmatrix} 0 \\ 1 \end{bmatrix}^T + p_{11} \dots} < 0$$

- Need for a nice parser

■ Parsers : LMllab, tklimitool, sdpsol, SeDuMilInterface...

● **YALMIP**

▲ Convert LMIs to SDP solver format (all available solvers !)

▲ Simple to use

```
>> P = sdpvar( 3, 3, 'symmetric' );  
>> lmiprob = lmi ( A'*P+P*A<0 ) + lmi ( P>0 );  
>> solvesdp( lmiprob );
```

▲ Works in Matlab - free !

<http://users.isy.liu.se/johanl/yalmip>

▲ Extends to other non-SDP optimization problems (BMI...)

▲ SDP dedicated version in Scilab [S. Solovyeu]

<http://www.laas.fr/OLOCEP/SciYalmip>

## ■ SDP-LMI issues and perspectives

● Any SDP representable problem is "solved" (numerical problems due to size and structure)

▲ Find "SDP-ables" problems

(linear systems, performances, robustness, LPV, saturations, delays, singular systems...)

▲ Equivalent SDP formulations  $\Rightarrow$  distinguish which are numerically efficient

▲ New SDP solvers : faster, precise, robust (need for benchmark examples)

## ■ SDP-LMI issues and perspectives

- Any SDP representable problem is "solved" (numerical problems due to size and structure)
  - ▲ Find "SDP-ables" problems  
(linear systems, performances, robustness, LPV, saturations, delays, singular systems...)
  - ▲ Equivalent SDP formulations  $\Rightarrow$  distinguish which are numerically efficient
  - ▲ New SDP solvers : faster, precise, robust (need for benchmark examples)
- Any "SDP-able" problem has a dual interpretation
  - ▲ New theoretical results (worst case)
  - ▲ New proofs (Lyapunov functions = Lagrange multipliers ; related to SOS)
  - ▲ SDP formulas numerically stable (KYP-lemma)

## ■ SDP-LMI issues and perspectives

- Any SDP representable problem is "solved" (numerical problems due to size and structure)
  - ▲ Find "SDP-ables" problems  
(linear systems, performances, robustness, LPV, saturations, delays, singular systems...)
  - ▲ Equivalent SDP formulations  $\Rightarrow$  distinguish which are numerically efficient
  - ▲ New SDP solvers : faster, precise, robust (need for benchmark examples)
- Any "SDP-able" problem has a dual interpretation
  - ▲ New theoretical results (worst case)
  - ▲ New proofs (Lyapunov functions = Lagrange multipliers ; related to SOS)
  - ▲ SDP formulas numerically stable (KYP-lemma)
- Non "SDP-able" : Robustness & Multi-objective & Relaxation of NP-hard problems
  - ▲ Optimistic / Pessimistic (conservative) results
  - ▲ Reduce the gap (upper/lower bounds) while handling numerical complexity growth.



## ■ SDP-LMI issues and perspectives

- Any SDP representable problem is "solved" (numerical problems due to size and structure)
  - ▲ Find "SDP-ables" problems  
(linear systems, performances, robustness, LPV, saturations, delays, singular systems...)
  - ▲ Equivalent SDP formulations  $\Rightarrow$  distinguish which are numerically efficient
  - ▲ New SDP solvers : faster, precise, robust (need for benchmark examples)
- Any "SDP-able" problem has a dual interpretation
  - ▲ New theoretical results (worst case)
  - ▲ New proofs (Lyapunov functions = Lagrange multipliers ; related to SOS)
  - ▲ SDP formulas numerically stable (KYP-lemma)
- Non "SDP-able" : Robustesse & Multi-objective & Relaxation of NP-hard problems
  - ▲ Optimistic / Pessimistic (conservative) results
  - ▲ Reduce the gap (upper/lower bounds) while handling numerical complexity growth.
- Develop software for "industrial" application / adapted to the application field

$\Rightarrow$  RoMulOC toolbox

## ■ Congruence

- $A > 0 \Leftrightarrow$  for any non zero vector  $x$  :  $x^T A x > 0$ .
- $A > 0 \Rightarrow$  for any full column rank matrix  $B$  :  $B^T A B > 0$ .
- $A > 0 \Rightarrow$  for any matrix  $B$  :  $B^T A B \geq 0$ .
- $A > 0 \Leftrightarrow$  exists a square non-singular matrix  $B$  :  $B^T A B > 0$ .

## ▲ Most LMI results are formulated as (sufficiency)

*If  $\exists P \dots : \mathcal{L}(P \dots) > 0$  then the system  $\dot{x} = f(x, w \dots)$  is such that...*

To prove these results : perform congruence with vectors  $x, w \dots$

## ▲ Example (Lyapunov) :

*If  $\exists P : P > 0$  ,  $A^T P + P A < 0$  then the system  $\dot{x} = A x$  is stable.*

Proof :  $V(x) = x^T P x > 0$ ,  $\dot{V}(x) = x^T (A^T P + P A)x = 2\dot{x}^T P x < 0$  for all  $x \neq 0$ .

■ Examples of nominal performance analysis : ( $P > 0$ )

● Stability (discrete-time)  $A^T P A - P < 0$

● Regional pole placement  $\begin{bmatrix} 1 & A^* \end{bmatrix} \begin{bmatrix} r_{11} P & r_{12} P \\ r_{12}^* P & r_{22} P \end{bmatrix} \begin{bmatrix} 1 \\ A \end{bmatrix} < 0$

●  $H_\infty$  norm  $\begin{bmatrix} A^T P + P A + C_z^T C_z & P B_w + C_z^T D_{zw} \\ B_w^T P + D_{zw}^T C_z & -\gamma^2 \mathbf{1} + D_{zw}^T D_{zw} \end{bmatrix} < 0$

●  $H_2$  norm  $A^T P + P A + C_z^T C_z < 0$

$\text{trace}(B_w^T P B_w) < \gamma^2$

● Impulse-to-peak  $A^T P + P A < 0 \quad B_w^T P B_w < \gamma^2 \mathbf{1}$

$C_z^T C_z < P \quad D_{zw}^T D_{zw} < \gamma^2 \mathbf{1}$

■ Tools to 'build' LMI results

● Schur complement

$$\begin{cases} A > BC^{-1}B^T \\ C > 0 \end{cases} \Leftrightarrow \begin{bmatrix} A & B \\ B^T & C \end{bmatrix} > 0$$

▲ Example :

$$\begin{cases} (AX + BS)X^{-1}(XA^T + S^TB^T) - X < 0 \\ X > 0 \end{cases} \Leftrightarrow \begin{bmatrix} -X & AX + BS \\ XA^T + S^TB^T & -X \end{bmatrix} < 0$$

## ■ Tools to 'build' LMI results

### ● Finsler lemma - Elimination lemma - Creation lemma

$$\begin{aligned}x^T A x < 0 \quad \forall x : Bx = 0 &\Leftrightarrow \exists \tau \in \mathbb{R} : A < \tau B^T B \\ &\Leftrightarrow \exists X = X^T : A < B^T X B \\ &\Leftrightarrow \exists G : A < B^T G^T + G B \\ &\Leftrightarrow B^{\perp T} A B^{\perp} < 0\end{aligned}$$

▲ where  $B^{\perp}$  columns generate the null space of  $B$  :

$$B \in \mathbb{R}^{p \times m}, \quad \text{rank}(B) = r < m, \quad B B^{\perp} = 0, \quad B^{\perp} \in \mathbb{R}^{m \times (m-r)}, \quad B^{\perp T} B^{\perp} > 0$$

▲  $G$  is a 'Slack variable' (Lagrange multiplier)

■ Tools to 'build' LMI results

● Finsler lemma - Elimination lemma - Creation lemma

$$\begin{aligned}
 x^T A x < 0 \quad \forall x : Bx = 0 &\Leftrightarrow \exists \tau \in \mathbb{R} : A < \tau B^T B \\
 &\Leftrightarrow \exists X = X^T : A < B^T X B \\
 &\Leftrightarrow \exists G : A < B^T G^T + G B \\
 &\Leftrightarrow B^{\perp T} A B^{\perp} < 0
 \end{aligned}$$

▲ Example :

$$\begin{aligned}
 \dot{V}(x) = \begin{pmatrix} \dot{x} \\ x \end{pmatrix}^T \begin{bmatrix} 0 & P \\ P & 0 \end{bmatrix} \begin{pmatrix} \dot{x} \\ x \end{pmatrix} < 0, \quad \forall \begin{bmatrix} 1 & -A \end{bmatrix} \begin{pmatrix} \dot{x} \\ x \end{pmatrix} = 0 \\
 \Leftrightarrow \exists G : \begin{bmatrix} 0 & P \\ P & 0 \end{bmatrix} + \begin{bmatrix} -1 \\ A^T \end{bmatrix} G^T + G \begin{bmatrix} -1 & A \end{bmatrix} < 0
 \end{aligned}$$

■ Tools to 'build' LMI results

● Finsler lemma - Elimination lemma - Creation lemma

$$\begin{cases} C^{\perp T} A C^{\perp} < 0 \\ B^{\perp T} A B^{\perp} < 0 \end{cases} \Leftrightarrow \exists H : A < B^T H^T C + C^T H B$$

▲ Example

$$\begin{cases} -P = \begin{bmatrix} 0 & 1 \\ 0 & 1 \end{bmatrix} \begin{bmatrix} P & 0 \\ 0 & -P \end{bmatrix} \begin{bmatrix} 0 \\ 1 \end{bmatrix} < 0 \\ A^T P A - P = \begin{bmatrix} A & 1 \\ 0 & -P \end{bmatrix} \begin{bmatrix} P & 0 \\ 0 & -P \end{bmatrix} \begin{bmatrix} A \\ 1 \end{bmatrix} < 0 \end{cases}$$

$$\Leftrightarrow \exists H : \begin{bmatrix} P & 0 \\ 0 & -P \end{bmatrix} < \begin{bmatrix} -1 \\ A^T \end{bmatrix} H^T \begin{bmatrix} 1 & 0 \end{bmatrix} + \begin{bmatrix} 1 \\ 0 \end{bmatrix} H \begin{bmatrix} -1 & A \end{bmatrix}$$

■ Tools to 'build' LMI results

● S-procedure [Yakubovich]

$$x^T M x < 0 \quad \forall x : x^T N x \leq 0 \quad \Leftrightarrow \quad \exists \tau > 0 : M < \tau N$$

▲ Example :

$$\begin{aligned} & \begin{bmatrix} 1 \\ \Delta \end{bmatrix}^T M \begin{bmatrix} 1 \\ \Delta \end{bmatrix} < 0, \quad \forall \Delta^T \Delta \leq 1 \\ & \Leftrightarrow \begin{pmatrix} z_\Delta \\ w_\Delta \end{pmatrix}^T M \begin{pmatrix} z_\Delta \\ w_\Delta \end{pmatrix} < 0, \quad \forall \begin{pmatrix} z_\Delta \\ w_\Delta \end{pmatrix}^T \begin{bmatrix} -1 & 0 \\ 0 & 1 \end{bmatrix} \begin{pmatrix} z_\Delta \\ w_\Delta \end{pmatrix} \leq 0 \\ & \Leftrightarrow \exists \tau > 0 : M < \tau \begin{bmatrix} -1 & 0 \\ 0 & 1 \end{bmatrix} \end{aligned}$$



- Tools to 'build' LMI results
- S-procedure [Yakubovich]

$$x^T M x < 0 \quad \forall x : x^T N x \leq 0 \quad \Leftrightarrow \quad \exists \tau > 0 : M < \tau N$$

▲ Example :

$$\begin{aligned} & \begin{bmatrix} 1 \\ \Delta(1 - D\Delta)^{-1}C \end{bmatrix}^T M \begin{bmatrix} 1 \\ \Delta(1 - D\Delta)^{-1}C \end{bmatrix} < 0, \quad \forall \Delta^T \Delta \leq 1 \\ \Leftrightarrow & \begin{pmatrix} x \\ w_\Delta \end{pmatrix}^T M \begin{pmatrix} x \\ w_\Delta \end{pmatrix} < 0, \quad \forall \begin{pmatrix} z_\Delta \\ w_\Delta \end{pmatrix}^T \begin{bmatrix} -1 & 0 \\ 0 & 1 \end{bmatrix} \begin{pmatrix} z_\Delta \\ w_\Delta \end{pmatrix} \leq 0 \end{aligned}$$

$$z_\Delta = Cx + Dw_\Delta$$

$$\Leftrightarrow \exists \tau > 0 : M < \tau \begin{bmatrix} C & D \\ 0 & 1 \end{bmatrix}^T \begin{bmatrix} -1 & 0 \\ 0 & 1 \end{bmatrix} \begin{bmatrix} C & D \\ 0 & 1 \end{bmatrix}$$

▲ Special case :

$$X + C^T \Delta^T B^T + B \Delta C < 0, \quad \forall \Delta^T \Delta \leq 1 \quad \Leftrightarrow \quad \exists \tau > 0 : X + \tau C^T C + \tau^{-1} B B^T < 0$$

■ Tools to 'build' LMI results

● D and DG-scaling

$$\begin{bmatrix} 1 \\ \Delta(1 - D\Delta)^{-1}C \end{bmatrix}^T M \begin{bmatrix} 1 \\ \Delta(1 - D\Delta)^{-1}C \end{bmatrix} < 0, \quad \forall \Delta = \delta \mathbf{1} : \delta \in \mathbb{C}, |\delta| \leq 1$$

$$\Leftrightarrow \exists Q > 0 : M < \begin{bmatrix} C & D \\ 0 & 1 \end{bmatrix}^T \begin{bmatrix} -Q & 0 \\ 0 & Q \end{bmatrix} \begin{bmatrix} C & D \\ 0 & 1 \end{bmatrix}$$

$$\begin{bmatrix} 1 \\ \Delta(1 - D\Delta)^{-1}C \end{bmatrix}^T M \begin{bmatrix} 1 \\ \Delta(1 - D\Delta)^{-1}C \end{bmatrix} < 0, \quad \forall \Delta = \delta \mathbf{1} : \delta \in \mathbb{R}, |\delta| \leq 1$$

$$\Leftrightarrow \exists Q > 0, T = -T^T : M < \begin{bmatrix} C & D \\ 0 & 1 \end{bmatrix}^T \begin{bmatrix} -Q & T \\ T^T & Q \end{bmatrix} \begin{bmatrix} C & D \\ 0 & 1 \end{bmatrix}$$

■ Tools to 'build' LMI results

● Kalman-Yakubovich-Popov KYP lemma

$$\begin{aligned} & \begin{bmatrix} 1 \\ (j\omega 1 - A)^{-1} B \end{bmatrix}^* M \begin{bmatrix} 1 \\ (j\omega 1 - A)^{-1} B \end{bmatrix} < 0, \quad \forall \omega \in \mathbb{R} \\ \Leftrightarrow \exists Q & : M < \begin{bmatrix} A & B \\ 0 & 1 \end{bmatrix}^T \begin{bmatrix} 0 & Q \\ Q & 0 \end{bmatrix} \begin{bmatrix} A & B \\ 0 & 1 \end{bmatrix} \end{aligned}$$

● And so on... Full-Block S-procedure [Scherer], Quadratic Separation [Iwasaki]

$$\begin{aligned} & \begin{bmatrix} 1 \\ \Delta(1 - D\Delta)^{-1} C \end{bmatrix}^* M \begin{bmatrix} 1 \\ \Delta(1 - D\Delta)^{-1} C \end{bmatrix} < 0, \quad \forall \Delta \in \Delta \\ \Leftrightarrow M < & \begin{bmatrix} C & D \\ 0 & 1 \end{bmatrix}^T \Theta \begin{bmatrix} C & D \\ 0 & 1 \end{bmatrix}, \quad \begin{bmatrix} 1 \\ \Delta \end{bmatrix}^* \Theta \begin{bmatrix} 1 \\ \Delta \end{bmatrix} < 0 \quad \forall \Delta \in \Delta \end{aligned}$$

▲ Difficulty : build the 'separator'  $\Theta$ , losslessly...

■ Tools to 'build' LMI results

● S-procedure [Yakubovich]

$$x^T M x < 0 \quad \forall x : x^T N x \leq 0 \quad \Leftrightarrow \quad \exists \tau > 0 : M < \tau N$$

$$x^T M x < 0 \quad \forall x : \begin{cases} x^T N_1 x \leq 0 \\ \vdots \\ x^T N_p x \leq 0 \end{cases} \quad \Leftrightarrow \quad \begin{cases} \exists \tau_1 > 0, \dots, \tau_p > 0 : \\ M < \tau_1 N_1 + \dots + \tau_p N_p \end{cases}$$

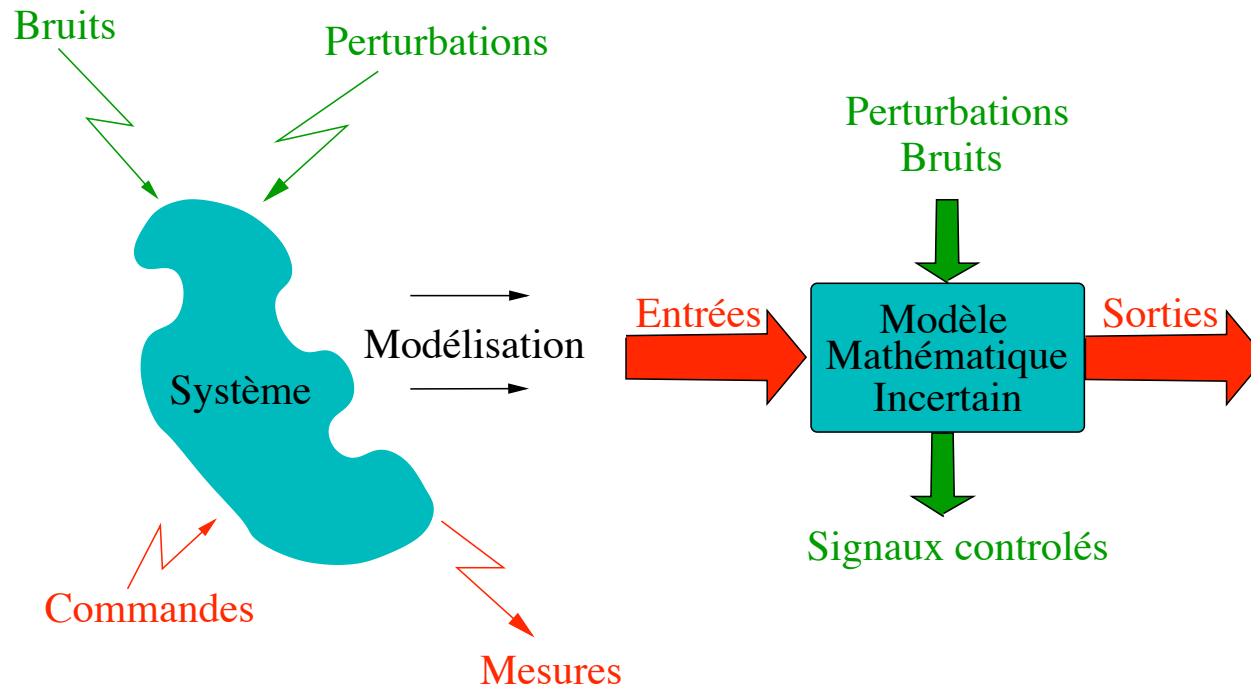
▲ Not lossless except in few special cases :  $\Delta$  composed of

- $m_r$  scalar real repeated,
- $m_c$  scalar complex repeated,
- $m_F$  full complex non-repeated blocks

[Meinsma et al.] DG-scaling lossless if  $2(m_r + m_c) + m_F \leq 3$  !

Cours M2 ASTR - module FRS - Commande Robuste

Cours 1 - Modèles linéaires incertains



- Le cours se limite aux systèmes **linéaires**
- Modèles par fonctions et matrices de transfert incertaines
- Modèles dans l'espace d'état

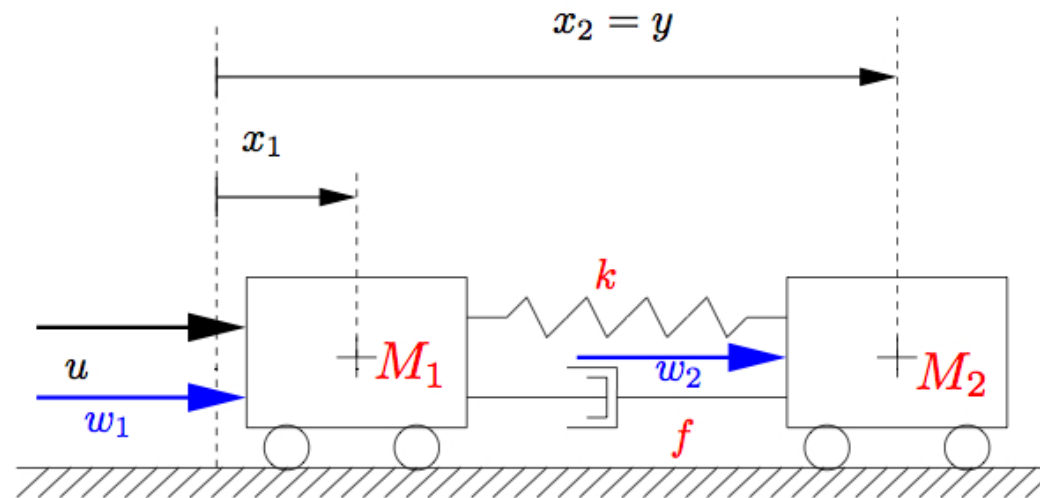
## ■ Exemple de modélisation incertaine

### ● Système physique réel :

Lanceur constitué de deux étages reliés par une liaison visco-élastique et soumis à des perturbations dues au vent et à la poussée du moteur

### ● Modèle physique idéal :

Deux masses couplées par un amortisseur et un ressort et soumises à des forces



- **Modèle mathématique idéal** : Modèle variant dans le temps et non linéaire

$$M_1(t)\ddot{x}_1 + f(\dot{x}_1 - \dot{x}_2) + k(x_1 - x_2) = u + w_1$$

$$M_2\ddot{x}_2 + f(\dot{x}_2 - \dot{x}_1) + k(x_2 - x_1) = w_2$$

où  $M_1(t)$  : fonction du temps et  $f$  et  $k$  fonctions non linéaires

$M_1(t)$ ,  $M_2$ ,  $f$ ,  $k$  connues de façon approchée (car système idéalisé)

- **Modèle mathématique réduit** : linéarisé autour de zéro

$$\dot{x} = \begin{bmatrix} 0 & 0 & 1 & 0 \\ 0 & 0 & 0 & 1 \\ -\frac{k}{M_1(t)} & \frac{k}{M_1(t)} & -\frac{f}{M_1(t)} & \frac{f}{M_1(t)} \\ \frac{k}{M_2} & -\frac{k}{M_2} & \frac{f}{M_2} & -\frac{f}{M_2} \end{bmatrix} x + \begin{bmatrix} 0 & 0 \\ 0 & 0 \\ \frac{1}{M_1(t)} & 0 \\ 0 & \frac{1}{M_2} \end{bmatrix} \begin{pmatrix} w_1 \\ w_2 \end{pmatrix} + \begin{bmatrix} 0 \\ 0 \\ \frac{1}{M_1(t)} \\ 0 \end{bmatrix} u$$

$$y = \begin{bmatrix} 0 & 1 & 0 & 0 \end{bmatrix} x$$

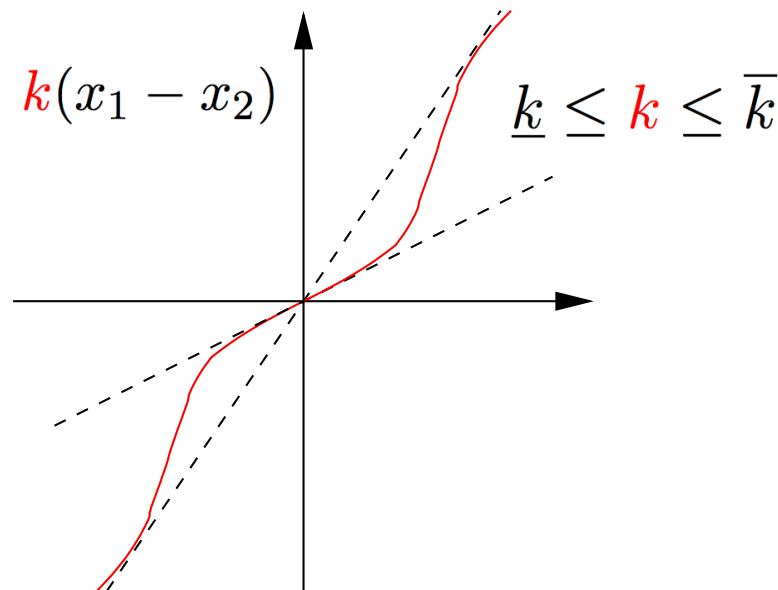


- Modèle incertain :

- ▲ Incertitude paramétrique :  $\underline{M}_2 \leq M_2 \leq \overline{M}_2$

- ▲ Incertitude temps variant :  $\underline{M}_1 \leq M_1(t) \leq \overline{M}_1 \quad \forall t \in [0 \ t]$   
(avec éventuellement bornes sur dérivées, tq  $\dot{M}_1(t) \leq 0$ )

- ▲ non-linéarités de gain borné :  $\underline{k} \leq k \leq \overline{k}$  ,  $\underline{f} \leq f \leq \overline{f}$



● Modèle incertain affine :

$$\dot{x} = \overbrace{\begin{bmatrix} 0 & 0 & 1 & 0 \\ 0 & 0 & 0 & 1 \\ -\alpha_{k1} & \alpha_{k1} & -\alpha_{f1} & \alpha_{f1} \\ \alpha_{k2} & -\alpha_{k2} & \alpha_{f2} & -\alpha_{f2} \end{bmatrix}}^{A(\alpha)} x + \overbrace{\begin{bmatrix} 0 & 0 \\ 0 & 0 \\ \alpha_{M1} & 0 \\ 0 & \alpha_{M1} \end{bmatrix}}^{B_w(\alpha)} \begin{pmatrix} w_1 \\ w_2 \end{pmatrix} + \overbrace{\begin{bmatrix} 0 \\ 0 \\ \alpha_{M1} \\ 0 \end{bmatrix}}^{B_u(\alpha)} u$$

$$y = \begin{bmatrix} 0 & 1 & 0 & 0 \end{bmatrix} x$$

▲ Incertitudes découplées

$$\frac{\underline{k}}{\underline{M}_i} \leq \alpha_{ki} \leq \frac{\bar{k}}{\underline{M}_i}, \quad \frac{\underline{f}}{\underline{M}_i} \leq \alpha_{fi} \leq \frac{\bar{f}}{\underline{M}_i}, \quad \frac{1}{\underline{M}_i} \leq \alpha_{Mi} \leq \frac{1}{\underline{M}_i}$$

▲ Représentation englobante avec 6 paramètres incertains au lieu de 4

▲ Les réalisations du premier modèle incertain sont incluses dans celui-ci

● **Modèle incertain affine parallélotopique :**

▲ Incertitudes normalisées :  $\alpha_j = c_j + r_j \delta_j$  ,  $\delta_j \in [-1 \ 1]$

$$\begin{aligned} c_{ki} &= \frac{1}{2} \left( \frac{k}{\overline{M}_i} + \frac{\overline{k}}{\underline{M}_i} \right), & c_{fi} &= \frac{1}{2} \left( \frac{f}{\overline{M}_i} + \frac{\overline{f}}{\underline{M}_i} \right), & c_{Mi} &= \frac{1}{2} \left( \frac{1}{\overline{M}_i} + \frac{1}{\underline{M}_i} \right) \\ r_{ki} &= \frac{1}{2} \left( \frac{\overline{k}}{\overline{M}_i} - \frac{k}{\underline{M}_i} \right), & r_{fi} &= \frac{1}{2} \left( \frac{\overline{f}}{\overline{M}_i} - \frac{f}{\underline{M}_i} \right), & r_{Mi} &= \frac{1}{2} \left( \frac{1}{\overline{M}_i} - \frac{1}{\underline{M}_i} \right) \end{aligned}$$

▲ **Modèle affine parallélotopique**

$$\begin{aligned} \left[ A(\alpha) \quad B_w(\alpha) \quad B_u(\alpha) \right] &= \left[ A(c) \quad B_w(c) \quad B_u(c) \right] \\ &+ \sum_{j=1}^6 \delta_j \left[ A(\hat{r}_j) \quad B_w(\hat{r}_j) \quad B_u(\hat{r}_j) \right] \end{aligned}$$

▲ **Modèle nominal (central) :**  $\left[ A(c) \quad B_w(c) \quad B_u(c) \right]$

▲ **Déviations selon les "axes" :**  $\left[ A(\hat{r}_j) \quad B_w(\hat{r}_j) \quad B_u(\hat{r}_j) \right]$  :

$$\left[ A(\hat{r}_{k1}) \quad B_w(\hat{r}_{k1}) \quad B_u(\hat{r}_{k1}) \right] = \left[ \begin{array}{cccc|cc|c} 0 & 0 & 0 & 0 & 0 & 0 & 0 \\ 0 & 0 & 0 & 0 & 0 & 0 & 0 \\ -r_{k1} & r_{k1} & 0 & 0 & 0 & 0 & 0 \\ 0 & 0 & 0 & 0 & 0 & 0 & 0 \end{array} \right]$$

● **Modèle incertain affine polytopique :**

$$\begin{bmatrix} A(c) & B_w(c) & B_u(c) \end{bmatrix} + \sum_{j=1}^6 \delta_j \begin{bmatrix} A(\hat{r}_j) & B_w(\hat{r}_j) & B_u(\hat{r}_j) \end{bmatrix} = \sum_{v=1}^{2^6} \zeta_v \begin{bmatrix} A^{[v]} & B_w^{[v]} & B_u^{[v]} \end{bmatrix}$$

▲  $\zeta$  appartient au simplexe

$$\sum \zeta_v = 1, \quad \zeta_v \geq 0$$

▲  $\begin{bmatrix} A^{[v]} & B_w^{[v]} & B_u^{[v]} \end{bmatrix}$  sont les sommets du polytope

calculés en prenant les  $2^6$  combinaisons extrêmes des  $\delta_j \in [-1 \ 1]$ .

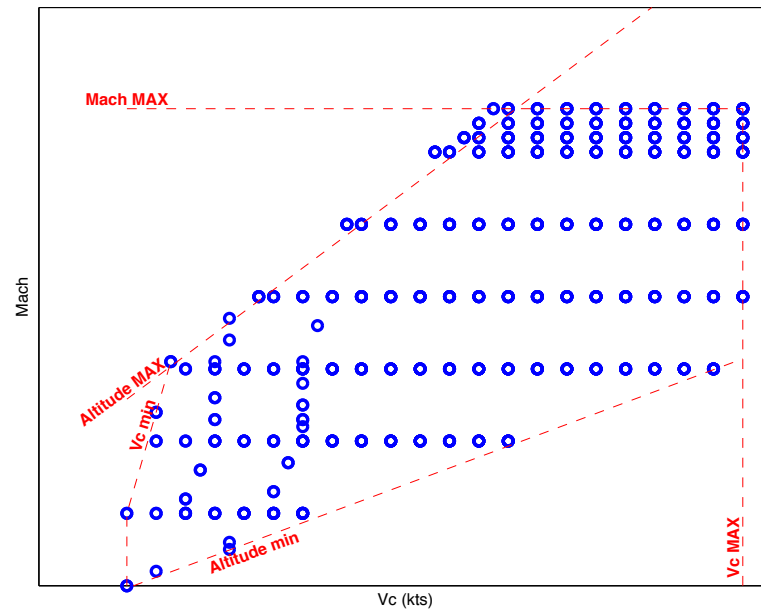
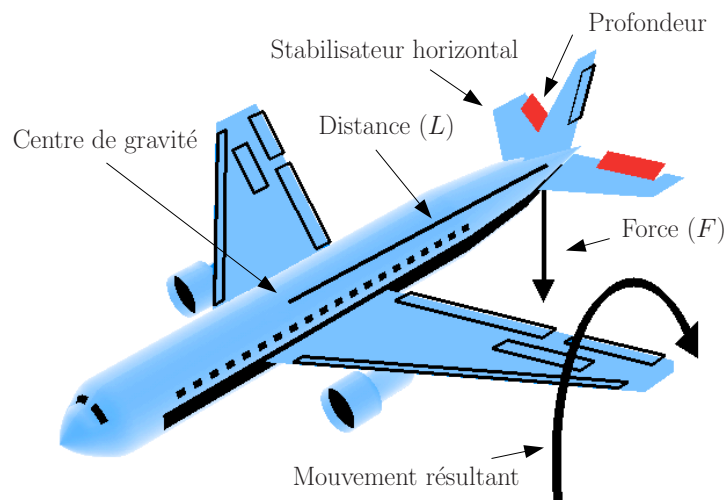
▲ Le modèle incertain = combinaison convexe des sommets

$$\begin{bmatrix} A(\alpha) & B_w(\alpha) & B_u(\alpha) \end{bmatrix} \in \text{CO} \left\{ \begin{bmatrix} A^{[v]} & B_w^{[v]} & B_u^{[v]} \end{bmatrix}, v = 1 \dots \bar{v} = 2^6 \right\}$$

▲ Complexité combinatoire v.s. nombre de paramètres incertains

- **Modèle incertain affine polytopique :**

- ▲ Peuvent être construits à la données de familles de modèles identifiés
- ▲ Exemple : Modélisation des dynamiques longitudinales d'un avion civil.



Modèles non-linéaires sur un point de vol  $i$ , approximés par modèles linéaires incertains définis comme l'enveloppe convexe des modèles voisins dans l'espace des paramètres :

$$M_{\theta_i}(\zeta) = \text{CO} \{ M_{\theta_j} : \|\theta_j - \theta_i\| \leq \alpha \}$$

● Modèle LFT :

$$M_1 \ddot{x}_1 + f(\dot{x}_1 - \dot{x}_2) + k(x_1 - x_2) = u + w_1$$

$$M_2 \ddot{x}_2 + f(\dot{x}_2 - \dot{x}_1) + k(x_2 - x_1) = w_2$$

▲ Réécriture avec incertitudes normalisées

$$(c_1 + r_1 \delta_1) \ddot{x}_1 + (c_f + r_f \delta_f)(\dot{x}_1 - \dot{x}_2) + (c_k + r_k \delta_k)(x_1 - x_2) = u + w_1$$

$$(c_2 + r_2 \delta_2) \ddot{x}_2 + (c_f + r_f \delta_f)(\dot{x}_2 - \dot{x}_1) + (c_k + r_k \delta_k)(x_2 - x_1) = w_2$$

▲ On remplace tous les termes "non-linéaires" par des signaux exogènes

$$c_1 \ddot{x}_1 + r_1 w_{\Delta 1} + c_f(\dot{x}_1 - \dot{x}_2) + r_f w_{\Delta f} + c_k(x_1 - x_2) + r_k w_{\Delta k} = u + w_1$$

$$c_2 \ddot{x}_2 + r_2 w_{\Delta 2} + c_f(\dot{x}_2 - \dot{x}_1) - r_f w_{\Delta f} + c_k(x_2 - x_1) - r_k w_{\Delta k} = w_2$$

▲ Signaux exogènes exprimés en fct des incertitudes et de combinaisons linéaires des états

$$w_{\Delta 1} = \delta_1 z_{\Delta 1} , w_{\Delta 2} = \delta_2 z_{\Delta 2} , w_{\Delta f} = \delta_f z_{\Delta f} , w_{\Delta k} = \delta_k z_{\Delta k}$$

$$z_{\Delta 1} = \ddot{x}_1 , z_{\Delta 2} = \ddot{x}_2 , z_{\Delta f} = \dot{x}_1 - \dot{x}_2 , z_{\Delta k} = x_1 - x_2$$

● **Modèle LFT : forme descripteur**

$$\begin{array}{c}
 \overbrace{\left[ \begin{array}{cccc|cccc}
 c_1 & 0 & 0 & 0 & 0 & 0 & 0 & 0 \\
 0 & c_2 & 0 & 0 & 0 & 0 & 0 & 0 \\
 0 & 0 & 1 & 0 & 0 & 0 & 0 & 0 \\
 0 & 0 & 0 & 1 & 0 & 0 & 0 & 0 \\
 \hline
 -1 & 0 & 0 & 0 & 1 & 0 & 0 & 0 \\
 0 & -1 & 0 & 0 & 0 & 1 & 0 & 0 \\
 0 & 0 & 0 & 0 & 0 & 0 & 1 & 0 \\
 0 & 0 & 0 & 0 & 0 & 0 & 0 & 1
 \end{array} \right]}^{\mathcal{E}} \begin{pmatrix} \ddot{x}_1 \\ \ddot{x}_2 \\ \dot{x}_1 \\ \dot{x}_2 \\ \hline z_{\Delta 1} \\ z_{\Delta 2} \\ z_{\Delta f} \\ z_{\Delta k} \end{pmatrix} \\
 \\
 = \underbrace{\left[ \begin{array}{cccc|cccc|cc|c}
 -c_f & c_f & -c_k & c_k & -r_1 & 0 & -r_f & -r_k & 1 & 0 & 1 \\
 c_f & -c_f & c_k & -c_k & 0 & -r_2 & r_f & r_k & 0 & 1 & 0 \\
 0 & 0 & 1 & 0 & 0 & 0 & 0 & 0 & 0 & 0 & 0 \\
 0 & 0 & 0 & 1 & 0 & 0 & 0 & 0 & 0 & 0 & 0 \\
 \hline
 0 & 0 & 0 & 0 & 0 & 0 & 0 & 0 & 0 & 0 & 0 \\
 0 & 0 & 0 & 0 & 0 & 0 & 0 & 0 & 0 & 0 & 0 \\
 1 & -1 & 0 & 0 & 0 & 0 & 0 & 0 & 0 & 0 & 0 \\
 0 & 0 & 1 & -1 & 0 & 0 & 0 & 0 & 0 & 0 & 0
 \end{array} \right]}^{\mathcal{A}} \begin{pmatrix} \dot{x}_1 \\ \dot{x}_2 \\ x_1 \\ x_2 \\ \hline w_{\Delta 1} \\ w_{\Delta 2} \\ w_{\Delta f} \\ w_{\Delta k} \\ \hline w_1 \\ w_2 \\ \hline u \end{pmatrix}
 \end{array}$$

● **Modèle LFT** : En multipliant par  $\mathcal{E}^{-1}$  on trouve

$$\begin{pmatrix} \ddot{x}_1 \\ \ddot{x}_2 \\ \dot{x}_1 \\ \dot{x}_2 \\ z_{\Delta 1} \\ z_{\Delta 2} \\ z_{\Delta f} \\ z_{\Delta k} \end{pmatrix} = \underbrace{\begin{bmatrix} -\frac{c_f}{c_1} & \frac{c_f}{c_1} & -\frac{c_k}{c_1} & \frac{c_k}{c_1} & -\frac{r_1}{c_1} & 0 & -\frac{r_f}{c_1} & -\frac{r_k}{c_1} & \frac{1}{c_1} & 0 & \frac{1}{c_1} \\ \frac{c_f}{c_2} & -\frac{c_f}{c_2} & \frac{c_k}{c_2} & -\frac{c_k}{c_2} & 0 & -\frac{r_2}{c_2} & \frac{r_f}{c_2} & \frac{r_k}{c_2} & 0 & \frac{1}{c_2} & 0 \\ 0 & 0 & 1 & 0 & 0 & 0 & 0 & 0 & 0 & 0 & 0 \\ 0 & 0 & 0 & 1 & 0 & 0 & 0 & 0 & 0 & 0 & 0 \\ -\frac{c_f}{c_1} & \frac{c_f}{c_1} & -\frac{c_k}{c_1} & \frac{c_k}{c_1} & -\frac{r_1}{c_1} & 0 & -\frac{r_f}{c_1} & -\frac{r_k}{c_1} & \frac{1}{c_1} & 0 & \frac{1}{c_1} \\ \frac{c_f}{c_2} & -\frac{c_f}{c_2} & \frac{c_k}{c_2} & -\frac{c_k}{c_2} & 0 & -\frac{r_2}{c_2} & \frac{r_f}{c_2} & \frac{r_k}{c_2} & 0 & \frac{1}{c_2} & 0 \\ 1 & -1 & 0 & 0 & 0 & 0 & 0 & 0 & 0 & 0 & 0 \\ 0 & 0 & 1 & -1 & 0 & 0 & 0 & 0 & 0 & 0 & 0 \end{bmatrix}}_{\begin{bmatrix} A & B_{\Delta} & B_w & B_u \\ C_{\Delta} & D_{\Delta\Delta} & D_{\Delta w} & D_{\Delta u} \end{bmatrix}} \begin{pmatrix} \dot{x}_1 \\ \dot{x}_2 \\ x_1 \\ x_2 \\ \hline w_{\Delta 1} \\ w_{\Delta 2} \\ w_{\Delta f} \\ w_{\Delta k} \\ \hline w_1 \\ w_2 \\ \hline u \end{pmatrix}$$

▲ **Modèle linéaire sans incertitudes, bouclé par matrice diagonale incertaine**

$$w_{\Delta} = \begin{bmatrix} \delta_1 & & & \\ & \delta_2 & & \\ & & \delta_f & \\ & & & \delta_k \end{bmatrix} \quad z_{\Delta} = \Delta z_{\Delta}$$



## ■ Théorème

*Tout modèle linéaire dont les coefficients sont rationnels en les paramètres*

$$\begin{pmatrix} \dot{x} \\ y \end{pmatrix} = \begin{bmatrix} A(\delta) & B(\delta) \\ C(\delta) & D(\delta) \end{bmatrix} \begin{pmatrix} x \\ u \end{pmatrix}$$

*admet une représentation sous la forme d'un bouclage entre un modèle nominal et une matrice diagonale des paramètres*

$$\begin{pmatrix} \dot{x} \\ z_{\Delta} \\ y \end{pmatrix} = \begin{bmatrix} A_0 & B_{\Delta} & B_0 \\ C_{\Delta} & D_{\Delta\Delta} & D_{\Delta u} \\ C_0 & D_{y\Delta} & D_0 \end{bmatrix} \begin{pmatrix} x \\ w_{\Delta} \\ u \end{pmatrix}, \quad w_{\Delta} = \Delta z_{\Delta}$$

▲ On parle de transformation fractionnaire  $\leftrightarrow$  linéaire (LFT en anglais)

## ■ Propriétés des représentations LFT

- Les paramètres peuvent être répétés sur la diagonale

▲ Exemple  $y = \delta(x_1 + \delta x_2)$  donne

$$\begin{pmatrix} y \\ z_{\Delta 1} \\ z_{\Delta 2} \end{pmatrix} = \left[ \begin{array}{cc|cc} 0 & 0 & 1 & 0 \\ 1 & 0 & 0 & 1 \\ 0 & 1 & 0 & 0 \end{array} \right] \begin{pmatrix} x_1 \\ x_2 \\ w_{\Delta 1} \\ w_{\Delta 2} \end{pmatrix}, \quad w_{\Delta} = \begin{bmatrix} \delta & \\ & \delta \end{bmatrix} z_{\Delta}$$

- Les paramètres sont répétés au minimum autant que le degré des polynômes

## ■ Propriétés des représentations LFT

### ● Les représentations ne sont pas unique

▲  $y = \frac{\delta}{1+\delta}x \Leftrightarrow y + \delta y = \delta x$  avec  $w_{\Delta 1} = \delta y$ ,  $w_{\Delta 2} = \delta x$  on a

$$\begin{pmatrix} y \\ z_{\Delta 1} \\ z_{\Delta 2} \end{pmatrix} = \left[ \begin{array}{c|cc} 0 & -1 & 1 \\ \hline 0 & -1 & 1 \\ 1 & 0 & 0 \end{array} \right] \begin{pmatrix} x \\ w_{\Delta 1} \\ w_{\Delta 2} \end{pmatrix}, \quad w_{\Delta} = \begin{bmatrix} \delta \\ \delta \end{bmatrix} z_{\Delta}$$

▲ avec  $w_{\Delta} = \delta(x - y)$  on a une forme plus simple

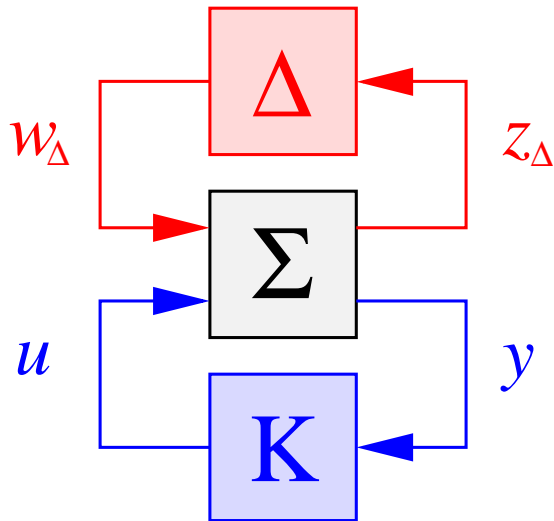
$$\begin{pmatrix} y \\ z_{\Delta} \end{pmatrix} = \left[ \begin{array}{c|c} 0 & 1 \\ \hline 1 & -1 \end{array} \right] \begin{pmatrix} x \\ w_{\Delta} \end{pmatrix}, \quad w_{\Delta} = \delta z_{\Delta}$$

### ● PB : comment trouver une forme minimale ?

■ Propriétés des représentations LFT

● LFT "hautes" et "basses" ("upper" and "lower")

$$\begin{pmatrix} \dot{x} \\ z_\Delta \\ y \end{pmatrix} = \begin{bmatrix} A_0 & B_\Delta & B_0 \\ C_\Delta & D_{\Delta\Delta} & D_{\Delta u} \\ C_0 & D_{y\Delta} & D_0 \end{bmatrix} \begin{pmatrix} x \\ w_\Delta \\ u \end{pmatrix}, \quad \begin{aligned} w_\Delta &= \Delta z_\Delta \\ u &= Ky \end{aligned}$$



$$\mathcal{L}_l(\mathcal{L}_u(\Sigma, \Delta), K) = \mathcal{L}_u(\mathcal{L}_l(\Sigma, K), \Delta)$$

$$\begin{aligned} (\Delta \begin{smallmatrix} w_\Delta, z_\Delta \\ \star \end{smallmatrix} \Sigma) \begin{smallmatrix} u, y \\ \star \end{smallmatrix} K &= \Delta \begin{smallmatrix} w_\Delta, z_\Delta \\ \star \end{smallmatrix} (\Sigma \begin{smallmatrix} u, y \\ \star \end{smallmatrix} K) \\ &= \Sigma \star \begin{bmatrix} \Delta & 0 \\ 0 & K \end{bmatrix} \end{aligned}$$

## ■ Propriétés des représentations LFT

### ● Représentations rationnelles

$$\begin{pmatrix} \dot{x} \\ z_\Delta \end{pmatrix} = \begin{bmatrix} A_0 & B_\Delta \\ C_\Delta & D_{\Delta\Delta} \end{bmatrix} \begin{pmatrix} x \\ w_\Delta \end{pmatrix}, \quad w_\Delta = \Delta z_\Delta$$

▲  $z_\Delta = C_\Delta x + D_{\Delta\Delta} \Delta z_\Delta$  conduit à la représentation :

$$\dot{x} = (A_0 + B_\Delta \Delta (1 - D_{\Delta\Delta} \Delta)^{-1} C_\Delta) x$$

▲  $w_\Delta = \Delta C_\Delta x + \Delta D_{\Delta\Delta} w_\Delta$  conduit à la représentation équivalente :

$$\dot{x} = (A_0 + B_\Delta (1 - \Delta D_{\Delta\Delta})^{-1} \Delta C_\Delta) x$$

■ Propriétés des représentations LFT

●  $s^{-1}$  intégrateur avec conditions initiales nulles

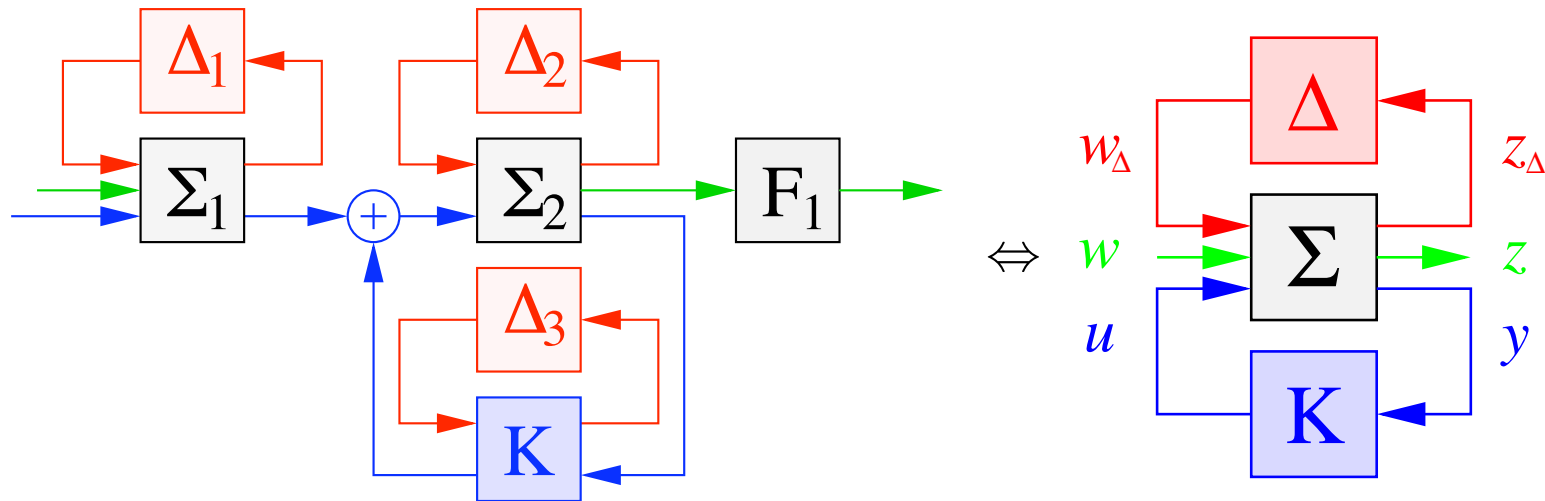
$$\begin{pmatrix} \dot{x} \\ y \end{pmatrix} = \overbrace{\begin{bmatrix} A & B \\ C & D \end{bmatrix}}^{\Sigma} \begin{pmatrix} x \\ u \end{pmatrix}, \quad x = s^{-1} \dot{x}$$

▲ Matrices de transfert : LFT “haute”

$$y = \underbrace{(D + C s^{-1} (1 - A s^{-1})^{-1} B)}_{\Sigma_{\star}^{x, \dot{x}}(s^{-1} \mathbf{1})} u = \underbrace{(D + C (s \mathbf{1} - A)^{-1} B)}_{G(s)} u$$

■ Propriétés des représentations LFT

● Algèbre des LFT



$$\Delta = \begin{bmatrix} \Delta_1 & & \\ & \Delta_2 & \\ & & \Delta_3 \end{bmatrix}$$

■ “Star product” de matrices - propriétés

$$\Delta \star \begin{bmatrix} M_{11} & M_{12} \\ M_{21} & M_{22} \end{bmatrix} = M_{22} + M_{21} \Delta (1 - M_{11} \Delta)^{-1} M_{12} = M_{22} + M_{21} (1 - \Delta M_{11})^{-1} \Delta M_{12}$$

$$\begin{bmatrix} M_{11} & M_{12} \\ M_{21} & M_{22} \end{bmatrix} \star K = M_{11} + M_{12} K (1 - M_{22} K)^{-1} M_{21} = M_{11} + M_{12} (1 - K M_{22})^{-1} K M_{21}$$

$$\Delta \star \begin{bmatrix} M_{11} & M_{12} \\ M_{21} & M_{22} \end{bmatrix} = \begin{bmatrix} M_{22} & M_{21} \\ M_{12} & M_{11} \end{bmatrix} \star \Delta$$



■ “Star product” de matrices - propriétés (suite)

$$\Delta_M \star \begin{bmatrix} M_{11} & M_{12} \\ M_{21} & M_{22} \end{bmatrix} + \Delta_N \star \begin{bmatrix} N_{11} & N_{12} \\ N_{21} & N_{22} \end{bmatrix} = \begin{bmatrix} \Delta_M & 0 \\ 0 & \Delta_N \end{bmatrix} \star \left[ \begin{array}{cc|c} M_{11} & 0 & M_{12} \\ 0 & N_{11} & N_{12} \\ \hline M_{21} & N_{21} & M_{22} + N_{22} \end{array} \right]$$

$$\left( \Delta_M \star \begin{bmatrix} M_{11} & M_{12} \\ M_{21} & M_{22} \end{bmatrix} \right) \left( \Delta_N \star \begin{bmatrix} N_{11} & N_{12} \\ N_{21} & N_{22} \end{bmatrix} \right) = \begin{bmatrix} \Delta_M & 0 \\ 0 & \Delta_N \end{bmatrix} \star \left[ \begin{array}{cc|c} M_{11} & M_{12}N_{21} & M_{12}N_{22} \\ 0 & N_{11} & N_{12} \\ \hline M_{21} & M_{22}N_{21} & M_{22}N_{22} \end{array} \right]$$

$$\left( \Delta \star \begin{bmatrix} M_{11} & M_{12} \\ M_{21} & M_{22} \end{bmatrix} \right)^{-1} = \left( \Delta \star \begin{bmatrix} M_{11} - M_{12}M_{22}^{-1}M_{21} & -M_{12}M_{22}^{-1} \\ M_{22}^{-1}M_{21} & M_{22}^{-1} \end{bmatrix} \right)$$

■ “Star product” de matrices - formule générale

$$\begin{array}{c}
 \overbrace{\left[ \begin{array}{cc} M_{11} & M_{12} \\ M_{21} & M_{22} \end{array} \right]}^M \star \overbrace{\left[ \begin{array}{cc} N_{11} & N_{12} \\ N_{21} & N_{22} \end{array} \right]}^N \\
 = \left[ \begin{array}{cc} M \star N_{11} & M_{12}(\mathbf{1} - N_{11}M_{22})^{-1}N_{12} \\ N_{21}(\mathbf{1} - M_{22}N_{11})^{-1}M_{21} & M_{22} \star N \end{array} \right]
 \end{array}$$

- Propriétés des représentations LFT
- Toolbox dans Matlab pour manipuler des LFT

- ▲ **LFRT** - gratuite - très complète

par JF Magni + extention Simulink par JM Biannic et C Doll

`www.onera.fr/staff-en/jean-marc-biannic/docs/lfrtv20s.zip`

- ▲ **Robust Control toolbox** - Matlab©

- ▲ **RoMulOC** - gratuite (manipulations LFT limitées)

`www.laas.fr/OLOCEP/romuloc/`

- Types d'incertitudes  $\Delta = \text{diag}(\dots \Delta_i \dots)$  ,  $\Delta_i \in \Delta_i$
- Scalaires réelles constantes répétées :  $\Delta_i = \delta_i \mathbf{1}_{r_i}$   $\delta_i \in [\underline{\delta}_i, \bar{\delta}_i]$   $\dot{\delta}_i = 0$
- Scalaires réelles variant dans le temps répétées :  $\Delta_i = \delta_i \mathbf{1}_{r_i}$   $\delta_i \in [\underline{\delta}_i, \bar{\delta}_i]$   $\dot{\delta}_i \neq 0$
- Scalaires complexes répétées :  $\Delta_i = \delta_i \mathbf{1}_{r_i}$   $x_i + \delta_i^* y_i^* + y_i \delta_i + z_i \delta_i^* \delta_i \leq 0$ 
  - ▲ Exemple :  $\Delta_i =$  demi-plan droit si  $(x_i, y_i, z_i) = (0, -1, 0)$
  - ▲ Exemple :  $\Delta_i =$  disque unité si  $(x_i, y_i, z_i) = (-1, 0, 1)$
  - ▲ Exemple :  $\Delta_i =$  disque de diamètre  $[\underline{\delta}_i, \bar{\delta}_i]$  si  $(x_i, y_i, z_i) = (2\underline{\delta}_i \bar{\delta}_i, -(\underline{\delta}_i + \bar{\delta}_i), 2)$
- Opérateurs matriciels dissipatifs (matrices complexes, temps-variant ou non-linéarités)

$$w_{\Delta_i} = \Delta_i z_{\Delta_i} \Rightarrow \int_0^\infty (z_{\Delta_i}^* X_i z_{\Delta_i} + z_{\Delta_i}^* Y_i w_{\Delta_i} + w_{\Delta_i}^* Y_i^* z_{\Delta_i} + w_{\Delta_i}^* Z_i w_{\Delta_i}) dt \leq 0$$

- ▲ Exemple : Opérateur borné en norme si  $(X_i, Y_i, Z_i) = (-\gamma^2 \mathbf{1}, 0, 1)$

$$\|w_{\Delta_i}\|_2 \leq \gamma \|z_{\Delta_i}\|_2 \quad , \quad \|\Delta_i\|_\infty \leq \gamma$$

- ▲ Exemple : Opérateur passif si  $(X_i, Y_i, Z_i) = (0, -1, 0)$
- ▲ Exemple : Non-linéarité de secteur si  $(x_i, y_i, z_i) = (2\underline{\delta}_i \bar{\delta}_i, -(\underline{\delta}_i + \bar{\delta}_i), 2)$

## ■ Systèmes incertains et matrices de transfert

$$\begin{pmatrix} \dot{x} \\ z_\Delta \\ y \end{pmatrix} = \overbrace{\begin{bmatrix} A_0 & B_\Delta & B_0 \\ C_\Delta & D_{\Delta\Delta} & D_{\Delta u} \\ C_0 & D_{y\Delta} & D_0 \end{bmatrix}}^{\Sigma} \begin{pmatrix} x \\ w_\Delta \\ u \end{pmatrix}, \quad w_\Delta = \Delta z_\Delta$$

## ● Bouclages avec matrices de transfert

$$\begin{pmatrix} z_\Delta \\ y \end{pmatrix} = \begin{bmatrix} \Sigma_{\Delta\Delta}(s) & \Sigma_{\Delta u}(s) \\ \Sigma_{y\Delta}(s) & \Sigma_{yu}(s) \end{bmatrix} \begin{pmatrix} w_\Delta \\ u \end{pmatrix}, \quad w_\Delta = \Delta z_\Delta$$

$$\begin{bmatrix} \Sigma_{\Delta\Delta}(s) & \Sigma_{\Delta u}(s) \\ \Sigma_{y\Delta}(s) & \Sigma_{yu}(s) \end{bmatrix} = \underbrace{\begin{bmatrix} D_{\Delta\Delta} & D_{\Delta u} \\ D_{y\Delta} & D_0 \end{bmatrix} + \begin{bmatrix} C_\Delta \\ C_0 \end{bmatrix} (s\mathbf{1} - A_0)^{-1} \begin{bmatrix} B_\Delta & B_0 \end{bmatrix}}_{\Sigma_{\star}^{x, \dot{x}}(s^{-1}\mathbf{1})}$$

$$y = \left( \begin{bmatrix} \Sigma_{\Delta\Delta}(s) & \Sigma_{\Delta u}(s) \\ \Sigma_{y\Delta}(s) & \Sigma_{yu}(s) \end{bmatrix} \begin{matrix} w_{\Delta, z_\Delta} \\ \star \end{matrix} \Delta \right) u = \left( \begin{matrix} \Sigma_{yu}(s) \\ + \Sigma_{y\Delta}(s) \Delta (1 - \Sigma_{\Delta\Delta}(s) \Delta)^{-1} \Sigma_{\Delta y}(s) \end{matrix} \right) u$$

■ Systèmes incertains et matrices de transfert (suite)

$$\begin{pmatrix} \dot{x} \\ z_{\Delta} \\ y \end{pmatrix} = \begin{bmatrix} A_0 & B_{\Delta} & B_0 \\ C_{\Delta} & D_{\Delta\Delta} & D_{\Delta u} \\ C_0 & D_{y\Delta} & D_0 \end{bmatrix} \begin{pmatrix} x \\ w_{\Delta} \\ u \end{pmatrix}, \quad w_{\Delta} = \Delta z_{\Delta}$$

● Si  $\Delta$  est composée uniquement d'incertitudes constantes (réelles ou complexes)

$$y = \underbrace{\left( D_0 + \begin{bmatrix} C_0 & D_{y\Delta} \end{bmatrix} \begin{bmatrix} s^{-1} & 0 \\ 0 & \Delta \end{bmatrix} \left( 1 - \begin{bmatrix} A_0 & B_{\Delta} \\ C_{\Delta} & D_{\Delta\Delta} \end{bmatrix} \begin{bmatrix} s^{-1} & 0 \\ 0 & \Delta \end{bmatrix} \right)^{-1} \begin{bmatrix} B_0 \\ D_{\Delta u} \end{bmatrix} \right)}_{G(s, \Delta)} u$$

▲  $G(s, \Delta)$  : Matrice de transfert dont les coefficients sont rationnels en les incertitudes

▲ Sauf cas particulier, les coefficients sont inter-dépendants

- Systèmes SISO définis par une fonction de transfert incertaine

$$G(s) = \frac{b_m s^m + \dots + b_1 s + b_0}{a_n s^n + \dots + a_1 s + a_0}$$

- Incertitudes intervalles

$$\underline{b}_j \leq b_j \leq \bar{b}_j \quad \forall j = 1 \dots m, \quad \underline{a}_i \leq a_i \leq \bar{a}_i \quad \forall i = 1 \dots n$$

- ▲ Modèle très simple
- ▲ Suppose tous les coefficients indépendants

$$\left\{ \frac{s + \delta}{s^2 + \delta s + 1}, \delta \in [-1 \ 1] \right\} \subset \left\{ \frac{s + b_0}{s^2 + a_1 s + 1}, \begin{array}{l} b_0 \in [-1 \ 1] \\ a_1 \in [-1 \ 1] \end{array} \right\}$$

- ▲ Fonction de transfert : suppose tous les coefficients constants

## ■ Systèmes MIMO et factorisation copremières à droite et à gauche

$$G(s) = M_l^{-1}(s)N_l(s) = N_r(s)M_r^{-1}(s)$$

▲  $M_l(s), N_l(s), M_r(s), N_r(s)$  : matrices polynomiales (existent d'autres factorisations)

$$M_l(s) = M_{nl}s^n + \dots + M_{1l}s + M_{0l}$$

▲  $M_l(s)y = N_l(s)u$  : modélisation polynomiale des systèmes LTI

## ● Factorisations copremières incertaines

$$G(s) = M_l^{-1}(s)N_l(s) = N_r(s)M_r^{-1}(s)$$

## ● Analogie avec les modèles SISO :

facteurs copremiers aux coefficients indépendants dans des intervalles

$$M_l(s) = [m_{lij}(s)]_{1 \leq i \leq p, 1 \leq j \leq m} = M_{nl}s^n + \dots + M_{1l}s + M_{0l}$$

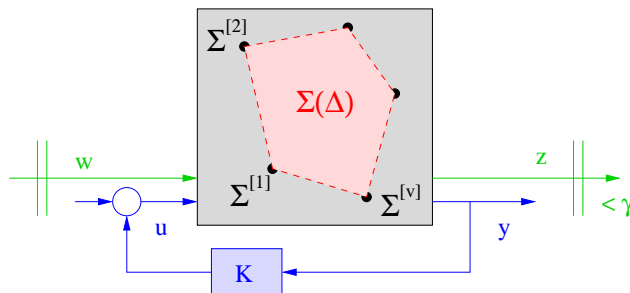
$$m_{lij}(s) = m_{nlij}s^n + \dots + m_{1lij}s + m_{0lij}$$

$$\underline{m}_{klij} \leq m_{klij} \leq \overline{m}_{klij}$$



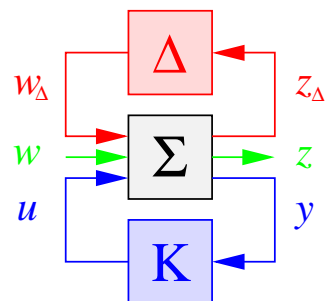
■ Résumé des modèles incertains considérés dans la suite

● Affines polytopiques



$$\begin{pmatrix} \dot{x} \\ z \\ y \end{pmatrix} = \Sigma(\zeta) \begin{pmatrix} x \\ w \\ u \end{pmatrix}, \quad \Sigma(\zeta) \in \text{co} \left\{ \Sigma^{[1]} \dots \Sigma^{[v]} \right\}$$

● LFT



$$\begin{pmatrix} \dot{x} \\ z_{\Delta} \\ z \\ y \end{pmatrix} = \Sigma \begin{pmatrix} x \\ w_{\Delta} \\ w \\ u \end{pmatrix},$$

$$\begin{aligned} w_{\Delta} &= \Delta z_{\Delta} : \\ \Delta &= \text{diag}(\dots \Delta_i \dots) \\ \Delta_i &\in \mathbb{A}_i, \end{aligned}$$

● Polynomiaux (surtout SISO)  $M(s)y = N(s)u$



Cours M2 ASTR - module FRS - Commande Robuste

Cours 2 - Stabilité robuste et théorie de Lyapunov

- Dans cette partie on s'intéresse à la stabilité d'une boucle fermée décrite dans l'espace d'état

$$\begin{pmatrix} \dot{x}_0 \\ z_\Delta \\ y \end{pmatrix} = \begin{bmatrix} A_0 & B_\Delta & B_0 \\ C_\Delta & D_{\Delta\Delta} & D_{\Delta u} \\ C_0 & D_{y\Delta} & D_0 \end{bmatrix} \begin{pmatrix} x_0 \\ w_\Delta \\ u \end{pmatrix}, \quad \begin{pmatrix} \dot{\eta} \\ u \end{pmatrix} = \underbrace{\begin{bmatrix} A_K & B_K \\ C_K & D_K \end{bmatrix}}_K \begin{pmatrix} \eta \\ y \end{pmatrix}$$

$w_\Delta = \Delta z_\Delta$

- Exercice de manipulation des LFT : montrer que la boucle fermée avec le correcteur s'écrit

$$\begin{pmatrix} \dot{x} \\ z_\Delta \end{pmatrix} = \begin{bmatrix} A(K) & B_\Delta(K) \\ C_\Delta(K) & D_{\Delta\Delta}(K) \end{bmatrix} \begin{pmatrix} x \\ w_\Delta \end{pmatrix}, \quad w_\Delta = \Delta z_\Delta$$

▲ avec  $x^T = \begin{pmatrix} x_0^T & \eta^T \end{pmatrix}$  et  $\begin{bmatrix} A(K) & B_\Delta(K) \\ C_\Delta(K) & D_{\Delta\Delta}(K) \end{bmatrix} =$

$$\left[ \begin{array}{cc|c} A_0 & 0 & B_\Delta \\ 0 & 0 & 0 \\ \hline C_\Delta & 0 & D_{\Delta\Delta} \end{array} \right] + \left[ \begin{array}{cc} 0 & B_0 \\ 1 & 0 \\ \hline 0 & B_{\Delta u} \end{array} \right] K \left( 1 - \begin{bmatrix} 0 & 0 \\ 0 & D_0 \end{bmatrix} K \right)^{-1} \left[ \begin{array}{cc|c} 0 & 1 & 0 \\ \hline C_0 & 0 & D_{y\Delta} \end{array} \right]$$

- ▲ Rq :  $K$  doit être telle que  $(1 - D_0 D_K)$  est inversible pour que la LFT ait un sens
- ▲ Dans la suite de cette partie  $K$  est supposée connue

- Exercice de manipulation des LFT suite

$$\begin{pmatrix} \dot{x} \\ z_\Delta \end{pmatrix} = \begin{bmatrix} A & B_\Delta \\ C_\Delta & D_{\Delta\Delta} \end{bmatrix} \begin{pmatrix} x \\ w_\Delta \end{pmatrix}, \quad w_\Delta = \Delta z_\Delta$$

- ▲ On trouve au choix

$$\dot{x} = (A + B_\Delta \Delta (1 - D_{\Delta\Delta} \Delta)^{-1} C_\Delta) x = A(\Delta) x$$

$$\dot{x} = (A + B_\Delta (1 - \Delta D_{\Delta\Delta})^{-1} \Delta C_\Delta) x = A(\Delta) x$$

- ▲ La LFT a un sens si  $(1 - \Delta D_{\Delta\Delta})$  et  $(1 - D_{\Delta\Delta} \Delta)$  sont inversibles  $\forall \Delta \in \mathbb{A}$ .

- On voit sur ces deux exemples que écrire des LFT suppose des hypothèse sur les inverses  $(1 - D_0 B_K)$ ,  $(1 - D_{\Delta\Delta} \Delta)$  etc.

- ▲ On parle de bien-posé de la LFT ou bien posé de la boucle d'interconnexion.

## ■ Bien posé d'une boucle - Définition

● Une boucle  $\Delta \star M$  avec  $\Delta \in \mathbb{A}$  est dite bien posée si

▲  $\mathbb{A}$  est non vide

▲ Pour tout  $\Delta \in \mathbb{A}$  et toute paire  $(\hat{w}, \hat{z})$ , il existe une unique paire  $(w, z)$  solution de

$$z = Mw + \hat{z} \quad , \quad w = \Delta z + \hat{w}$$

▲ Il existe un  $\gamma$  tel que la solution  $(w, z)$  est bornée

$$\left\| \begin{array}{c} w \\ z \end{array} \right\| \leq \gamma \left\| \begin{array}{c} \hat{w} \\ \hat{z} \end{array} \right\| \quad , \quad \forall (\hat{w}, \hat{z}), \quad \forall \Delta \in \mathbb{A}$$

● Le bien posé implique que quand  $(\hat{w}, \hat{z}) = 0$  la seule solution aux équations est  $(w, z) = 0$

▲  $z = w$  bouclé avec  $w = \delta z$  et  $\delta \in [0, 2]$ , n'est pas bien posé

en effet  $\exists \delta = 1 \in [0, 2]$  telle que  $w = z \in \mathbb{R}$  est un ensemble (infini) de solutions

■ Unicité des signaux internes à l'équilibre

● Point d'équilibre  $x = \dot{x} = 0$

$$z_{\Delta} = D_{\Delta\Delta} w_{\Delta} , \quad w_{\Delta} = \Delta z_{\Delta}$$

●  $(z_{\Delta}, w_{\Delta})$  unique pour toute perturbation  $(\hat{z}, \hat{w})$  bornée

$$z_{\Delta} = D_{\Delta\Delta} w_{\Delta} + \hat{z} , \quad w_{\Delta} = \Delta z_{\Delta} + \hat{w}$$

▲ Unicité de la solution à

$$\begin{bmatrix} 1 & -D_{\Delta\Delta} \\ -\Delta & 1 \end{bmatrix} \begin{pmatrix} z_{\Delta} \\ w_{\Delta} \end{pmatrix} = \begin{pmatrix} \hat{z} \\ \hat{w} \end{pmatrix}$$

$$\begin{matrix} \text{▲} \\ \text{▲} \end{matrix} \begin{bmatrix} 1 & -D_{\Delta\Delta} \\ -\Delta & 1 \end{bmatrix} \text{ de rang plein et donc } \begin{bmatrix} 1 & D_{\Delta\Delta} \\ \Delta & 1 \end{bmatrix} \text{ de rang plein}$$

$$\begin{bmatrix} 1 & -D_{\Delta\Delta} \\ -\Delta & 1 \end{bmatrix} \begin{bmatrix} 1 & D_{\Delta\Delta} \\ \Delta & 1 \end{bmatrix} = \begin{bmatrix} 1 - \Delta D_{\Delta\Delta} & 0 \\ 0 & 1 - D_{\Delta\Delta} \Delta \end{bmatrix} \text{ inversible}$$

■ Stabilité asymptotique globale du point d'équilibre  $x = \dot{x} = 0$

● Etat borné pour toute condition initiale bornée et toute perturbation bornée :

$$\dot{x} = Ax + \hat{z}, \quad x(t) = \int_0^t \dot{x}(\tau) d\tau + x(0)$$

▲  $x(s) = \mathcal{L}[x]$  est définie pour  $\text{Re}[s] > \alpha$  si  $\exists M : \|x(t)\| \leq Me^{\alpha t}$

▲ Convergence asymptotique si  $\alpha < 0 \Rightarrow \text{Re}[s] \geq 0$

● Bien posé de la boucle

$$\dot{x} = Ax + \hat{z}, \quad x = s^{-1}\dot{x} + x(0) : s^{-1} \in \{\text{Re}[s] \geq 0\}$$

▲ Unicité de la solution à

$$\begin{bmatrix} 1 & -A \\ -s^{-1} & 1 \end{bmatrix} \begin{pmatrix} z_{\Delta} \\ w_{\Delta} \end{pmatrix} = \begin{pmatrix} \hat{z} \\ \hat{w} \end{pmatrix}$$

▲  $\Rightarrow (s1 - A)$  inversible pour tout  $s \in \{\text{Re}[s] \geq 0\}$

▲  $\Rightarrow \det(s1 - A) \neq 0$  pour tout  $s \in \{\text{Re}[s] \geq 0\}$



■ Stabilité asymptotique globale robuste du point d'équilibre  $x = \dot{x} = 0$

● Etat borné pour toute condition initiale bornée, toute perturbation bornée et toute incertitude :

$$\begin{pmatrix} \dot{x} \\ z_\Delta \end{pmatrix} = \begin{bmatrix} A & B_\Delta \\ C_\Delta & D_\Delta \end{bmatrix} \begin{pmatrix} x \\ w_\Delta \end{pmatrix} + \hat{z}, \quad \begin{pmatrix} x \\ w_\Delta \end{pmatrix} = \begin{bmatrix} s^{-1}\mathbf{1} & \\ & \Delta \end{bmatrix} \begin{pmatrix} \dot{x} \\ z_\Delta \end{pmatrix} + \hat{w}$$

▲ Obtenu si la matrice suivante est de rang plein  $\forall \operatorname{Re}[s] \geq 0$  et  $\forall \Delta \in \mathbb{A}$

$$\left[ \begin{array}{cc|cc} 1 & 0 & -A & -B_\Delta \\ 0 & 1 & -C_\Delta & -D_\Delta \\ \hline -s^{-1}\mathbf{1} & 0 & 1 & 0 \\ 0 & -\Delta & 0 & 1 \end{array} \right]$$

▲  $\Rightarrow \det(s\mathbf{1} - A(\Delta)) \neq 0 \forall \operatorname{Re}[s] \geq 0$  et  $\forall \Delta \in \mathbb{A}$

## ■ Stabilité robuste des systèmes LTI incertains

- $\det(s\mathbf{1} - A(\Delta)) \neq 0$  pour tout  $s \in \{\operatorname{Re}[s] \geq 0\}$  et tout  $\Delta \in \mathcal{A}$
- Approche aléatoire [Tempo et al.(2005)Tempo, Calafiore, and Dabbene] :
  - ▲ Calculer v.p.  $A(\Delta)$  sur un **grand** nombre de valeurs **aléatoires** de  $\Delta$
  - ▲ Résultats probabilistes :

*Probabilité de stabilité, pour  $N$  tirages, a condition d'avoir un tirage uniforme*

- ▲ Approche optimiste : pas de garantie de stabilité robuste
- ▲ Approche optimiste : peut trouver un certificat d'instabilité
- ▲ Exemple : polytope avec 4 sommets stables

$$\begin{aligned}
 A^{[1]} &= \begin{bmatrix} -8 & 3 & 1 \\ 5 & -9 & 8 \\ 5 & 4 & -14 \end{bmatrix}, & A^{[2]} &= \begin{bmatrix} -12 & 1 & 6 \\ 4 & -5 & 1 \\ 1 & 10 & -12 \end{bmatrix} \\
 A^{[3]} &= \begin{bmatrix} -9 & 10 & 6 \\ 2 & -12 & 2 \\ 9 & 9 & -15 \end{bmatrix}, & A^{[4]} &= \begin{bmatrix} -7 & 6 & 2 \\ 9 & -11 & 0 \\ 9 & 2 & -11 \end{bmatrix}
 \end{aligned}$$

Tirage aléatoire de 100 combinaisons linéaires de ces sommets : 3 instables.

## ■ Stabilité robuste des systèmes LTI incertains

●  $\det(s\mathbf{1} - A(\Delta)) \neq 0$  pour tout  $s \in \{\operatorname{Re}[s] \geq 0\}$  et tout  $\Delta \in \Delta$

● Critère de Routh (peu de paramètres, faible degré de dépendance)

▲ Exemple  $\det(s\mathbf{1} - A(\Delta))$

$$= s^4 + 10s^3 + 10(10 - \delta_1^2)s^2 + (10 - \delta_2^2)s + 10(1 - \delta_1^3 + 5\delta_2^2)$$

▲ Stable ssi

$$100(10 - \delta_1^2) > 10 - \delta_2^2 > 0, \quad \delta_1^3 - 5\delta_2 - 1 < 0,$$

$$100\delta_1^2\delta_2^2 - \delta_2^4 + 1000\delta_1^3 - 1000\delta_1 - 5980\delta_2^2 > 0$$

▲ Inégalités satisfaites pour

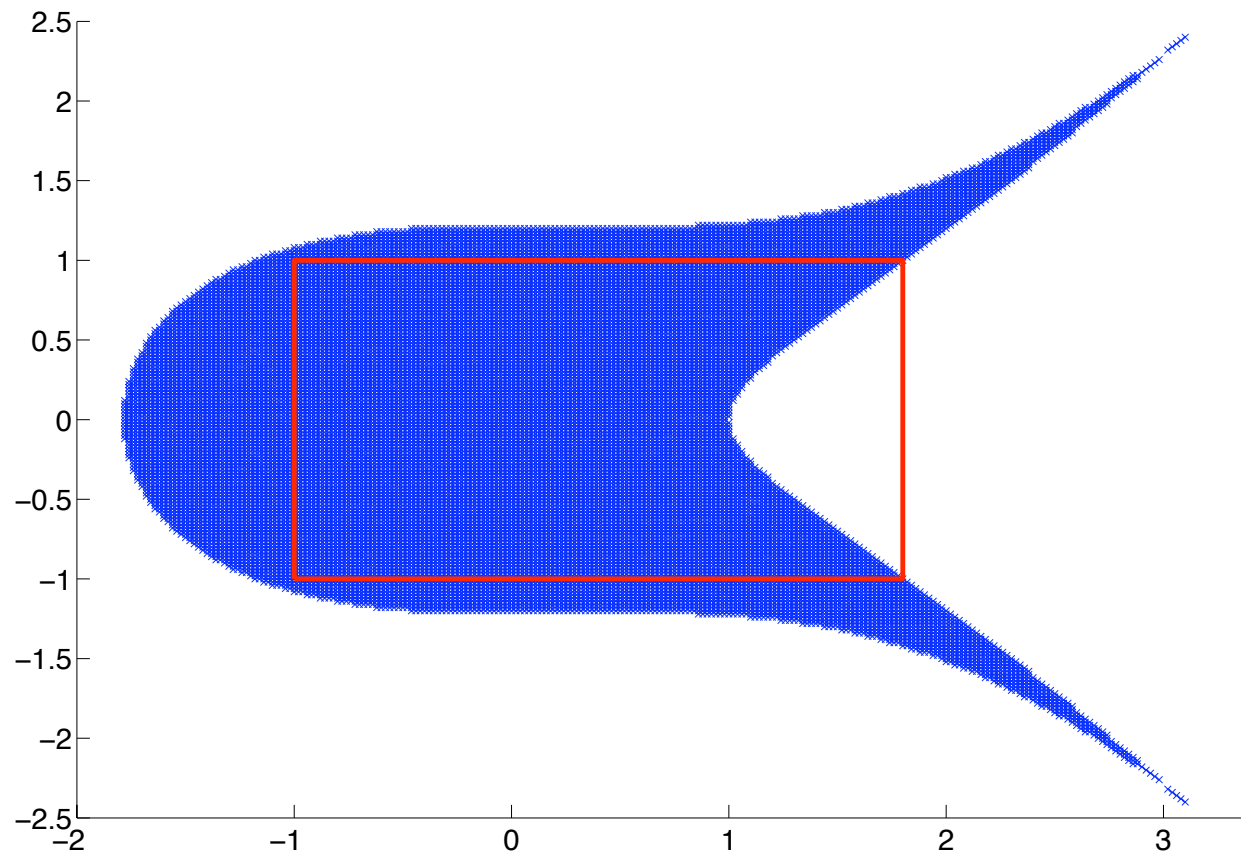
$$(\delta_1, \delta_2) = (-1, 1), (-1, -1), (1.8, -1), (1.8, 1)$$

▲ Mais pas satisfaites pour  $(\delta_1, \delta_2) = (1.8, 0), (1, 0)$

▲ Exemple  $\det(s\mathbf{1} - A(\Delta))$

$$= s^4 + 10s^3 + 10(10 - \delta_1^2)s^2 + (10 - \delta_2^2)s + 10(1 - \delta_1^3 + 5\delta_2^2)$$

▲ Valeurs stabilisantes de  $(\delta_1, \delta_2)$



▲ Il ne suffit pas de tester la stabilité des valeurs extrêmes !

■ Stabilité robuste des systèmes LTI incertains

- Théorème de Kharitonov ,  $\underline{a}_i \leq a_i \leq \bar{a}_i$  indépendants les uns des autres

$$\det(s\mathbf{1} - A(\Delta)) = a_0 + a_1 s + a_2 s^2 + \dots + a_n s^n$$

le polynôme est stable ssi les quatre polynômes suivants sont stables

$$\underline{a}_0 + \underline{a}_1 s + \bar{a}_2 s^2 + \bar{a}_3 s^3 + \underline{a}_4 s^4 + \dots$$

$$\underline{a}_0 + \bar{a}_1 s + \bar{a}_2 s^2 + \underline{a}_3 s^3 + \underline{a}_4 s^4 + \dots$$

$$\bar{a}_0 + \bar{a}_1 s + \underline{a}_2 s^2 + \underline{a}_3 s^3 + \bar{a}_4 s^4 + \dots$$

$$\bar{a}_0 + \underline{a}_1 s + \underline{a}_2 s^2 + \bar{a}_3 s^3 + \bar{a}_4 s^4 + \dots$$

- ▲ Exemple  $s^4 + 10s^3 + [100 \ 91.9]s^2 + [10 \ 9]s + [2.71 \ 67.29]$   
 (i.e.  $|\delta_1| \leq 0.9$  et  $|\delta_2| \leq 1$  dans ex précédent)

$$\text{racines}(2.71 + 9s + 100s^2 + 10s^3 + s^4) = \begin{pmatrix} -4.96 \pm j8.63 \\ -0.044 \pm j0.16 \end{pmatrix}$$

$$\text{racines}(2.71 + 10s + 100s^2 + 10s^3 + s^4) = \begin{pmatrix} -4.95 \pm j8.63 \\ -0.049 \pm j0.16 \end{pmatrix}$$

$$\text{racines}(67.29 + 10s + 91.9s^2 + 10s^3 + s^4) = \begin{pmatrix} -4.98 \pm j8.12 \\ -0.014 \pm j0.86 \end{pmatrix}$$

$$\text{racines}(67.29 + 9s + 91.9s^2 + 10s^3 + s^4) = \begin{pmatrix} -4.99 \pm j8.13 \\ -0.009 \pm j0.86 \end{pmatrix}$$

- ▲ Kharitonov ne permet pas de prouver stabilité de  $-1 \leq \delta_1 \leq 0.9$ ,  $|\delta_2| \leq 1$

## ■ Stabilité asymptotique globale - Théorème de Lyapunov

$$\exists V(x) > 0 : \dot{V}(x) < 0 \quad \forall x \in \{\dot{x} = f(x)\}$$

## ● Systèmes linéaires $\dot{x} = Ax$ , fct de Lyapunov quadratique $V(x) = x^T P x$

$$P > 0, \quad A^T P + P A < 0$$

▲ C'est un problème LMI

▲ Preuve par congruence

## ● Systèmes linéaires incertains $\dot{x} = A(\Delta)x$ ,

▲ Fonction de Lyapunov quadratique dépendant des paramètres

$$P(\Delta) > 0, \quad A^T(\Delta)P(\Delta) + P(\Delta)A(\Delta) < 0, \quad \forall \Delta \in \mathbb{A}$$

▲ LMI mais avec infinité de contraintes et de variables

## ■ Stabilité asymptotique globale - Théorème de Lyapunov

### ● Systèmes linéaires incertains $\dot{x} = A(\Delta)x$ ,

#### ▲ Fonction de Lyapunov quadratique dépendant des paramètres

$$P(\Delta) > 0, \quad A^T(\Delta)P(\Delta) + P(\Delta)A(\Delta) < 0, \quad \forall \Delta \in \Delta$$

### ● “Stabilité quadratique” Barmish [Barmish(1985)] :

#### ▲ Fonction de Lyapunov unique pour toutes les incertitudes

$$P > 0, \quad A^T(\Delta)P + PA(\Delta) < 0, \quad \forall \Delta \in \Delta$$

#### ▲ Test sur les sommets pour un système polytopique :

$$P > 0, \quad A^{[v]T}P + PA^{[v]} < 0, \quad \forall v = 1 \dots \bar{v}$$

$$A(\Delta) \in \text{CO} \{A^{[v]}, v = 1 \dots \bar{v}\}$$

#### ▲ Preuve (ssi) : convexité des contraintes LMI



■ Stabilité asymptotique globale - Théorème de Lyapunov

● Systèmes linéaires incertains  $\dot{x} = A(\Delta)x$ ,

▲ Fonction de Lyapunov quadratique dépendant des paramètres

$$P(\Delta) > 0, \quad A^T(\Delta)P(\Delta) + P(\Delta)A(\Delta) < 0, \quad \forall \Delta \in \mathbb{A}$$

● Variables de relaxation [Peaucelle et al.(2000)Peaucelle, Arzelier, Bachelier, and Bernussou] :

▲ Fonction de Lyapunov polytopique  $P(\Delta) = \sum \zeta_v P^{[v]}$  pour  $A(\Delta) = \sum \zeta_v A^{[v]}$

$$P^{[v]} > 0, \quad \begin{bmatrix} 0 & P^{[v]} \\ P^{[v]} & 0 \end{bmatrix} < F \begin{bmatrix} A^{[v]} \\ -1 \end{bmatrix} + \begin{bmatrix} A^{[v]T} & -1 \end{bmatrix} F^T, \quad \forall v = 1 \dots \bar{v}$$

▲ Preuve (**suffisance**) : convexité des contraintes + congruence

## ■ Stabilité asymptotique globale - Théorème de Lyapunov

### ● Systèmes linéaires incertains $\dot{x} = A(\Delta)x$ ,

#### ▲ Fonction de Lyapunov quadratique dépendant des paramètres

$$P(\Delta) > 0, \quad A^T(\Delta)P(\Delta) + P(\Delta)A(\Delta) < 0, \quad \forall \Delta \in \mathbb{A}$$

### ● Théorème de Polya [Chesi(2010)] :

#### ▲ Fonction de Lyapunov polytopique $P(\Delta) = \sum \zeta_v P^{[v]}$ pour $A(\Delta) = \sum \zeta_v A^{[v]}$

$$P^{[v]} > 0, \quad A^{[v]T} P^{[v]} + P^{[v]} A^{[v]} < 0, \quad \forall v = 1 \dots \bar{v}$$

$$A^{[v_1]T} P^{[v_2]} + P^{[v_2]} A^{[v_1]} + A^{[v_2]T} P^{[v_1]} + P^{[v_1]} A^{[v_2]} < 0, \quad \forall v_1 \neq v_2 \in \{1 \dots \bar{v}\}$$

#### ▲ Preuve (**suffisance**) : positivité des coefficients des polynômes homogènes

#### ▲ Théorème de Polya : construction de résultats LMI asymptotiquement non pessimistes

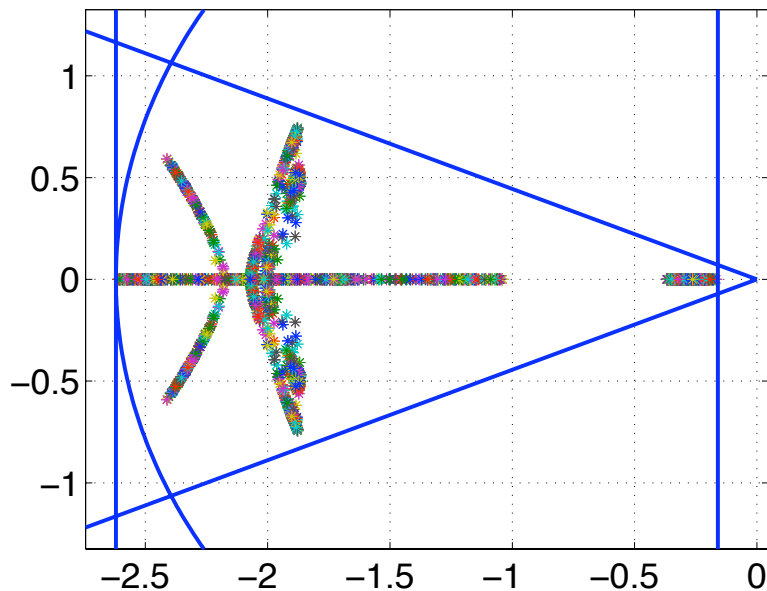
■ Localisation robuste des pôles des systèmes LTI incertains

● Localisation des v.p. de  $A(\Delta)$  pour tout  $\Delta \in \Delta$

▲ Exemple : polytope avec 3 sommets

$$A^{[1]} = \begin{bmatrix} -1 & 1 & 1 \\ 1 & -2 & 0 \\ 0 & 0 & -1 \end{bmatrix}, \quad A^{[2]} = \begin{bmatrix} -1 & 0 & 1 \\ 1 & -1 & 0 \\ 0 & 1 & -2 \end{bmatrix}, \quad A^{[3]} = \begin{bmatrix} -2 & 1 & 0 \\ 0 & -2 & 1 \\ 1 & 1 & -1 \end{bmatrix}$$

Tirage aléatoire de 1000 combinaisons linéaires de ces sommets



- ▲  $\text{Re}(\text{eig}(A(\Delta))) \leq -0.16 \Rightarrow \tau_{\min} \leq 6.25s$
- ▲  $\text{Re}(\text{eig}(A(\Delta))) \geq -2.62 \Rightarrow \tau_{\max} \geq 0.39s$
- ▲  $|\text{eig}(A(\Delta))| \leq 2.62 \Rightarrow \omega_{n \max} \leq 2.62\text{rad/s}$
- ▲  $\angle([0, j\omega], \text{eig}(A(\Delta))) \geq 66^\circ \Rightarrow \zeta_{\min} \geq 0.92$

## ■ Localisation robuste des pôles des systèmes LTI incertains

### ● Localisation dans des régions quadratiques de $\mathbb{C}$ tq $r_1 \lambda \lambda^* + r_2^* \lambda + r_2 \lambda^* + r_3 > 0$

▲  $-\lambda - \lambda^* + 2\alpha > 0 \Leftrightarrow \text{Re}(\lambda) < \alpha$

▲  $\lambda + \lambda^* - 2\alpha > 0 \Leftrightarrow \text{Re}(\lambda) > \alpha$

▲  $-\lambda \lambda^* + \alpha^* \lambda + \alpha \lambda^* + r^2 - \alpha^* \alpha > 0 \Leftrightarrow |\alpha - \lambda| < r$

▲  $-e^{j\psi} \lambda - e^{-j\psi} \lambda^* + \alpha e^{-j\psi} + \alpha^* e^{j\psi} > 0 \Leftrightarrow \angle([\alpha, \alpha + j\omega], \lambda) > \psi$

### ● Condition LMI

$$P > 0, \quad r_1 A^* P A + r_2 P A + r_2^* A^* P + r_3 P > 0$$

▲ Preuve : congruence avec vecteur propre de  $A$

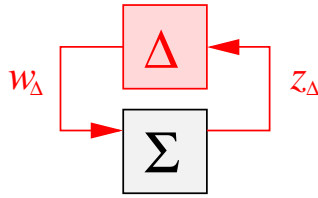
▲ Exemple : Condition de stabilité de  $x_{k+1} = Ax$   $P > 0, \quad -A^* P A + P > 0$

▲ Exercice : Construire conditions LMI de localisation de pôles robuste

Cours M2 ASTR - module FRS - Commande Robuste

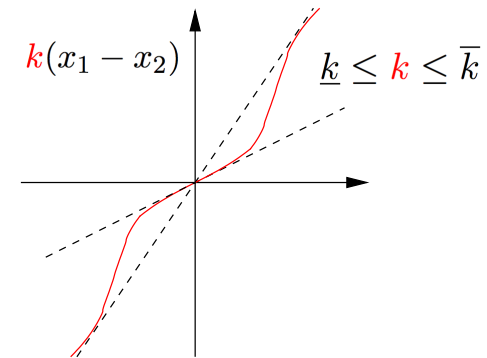
Cours 3 - Stabilité robuste et théorème du petit-gain

## ■ Stabilité robuste - Problème de Lur'e



▲  $\Delta \in [-k_1, -k_2]$  gain TV, NL borné dans un secteur

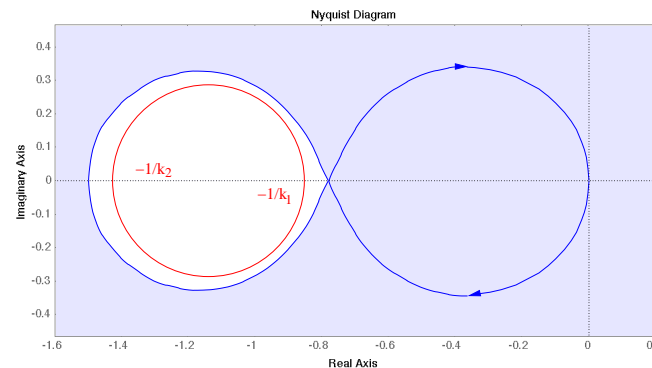
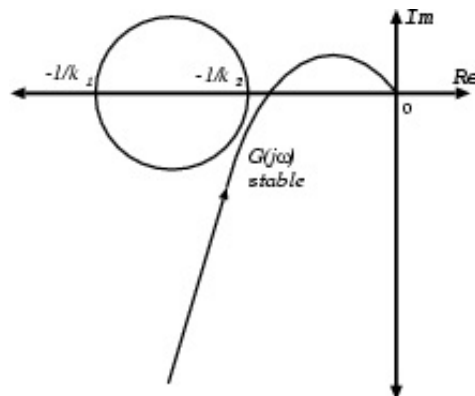
▲  $\Sigma = T(j\omega)$  fonction de transfert



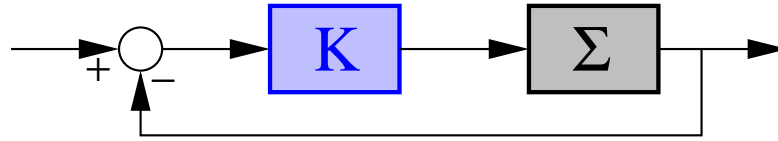
## ● Critère du cercle :

▲ Pour une valeur  $k \in [-k_1, -k_2]$  la boucle fermée est stable

▲ Le tracé de Nichols ne coupe pas le cercle de diamètre  $[-1/k_1, -1/k_2]$



## ■ Stabilité robuste - Conséquence du critère du cercle pour les systèmes SISO



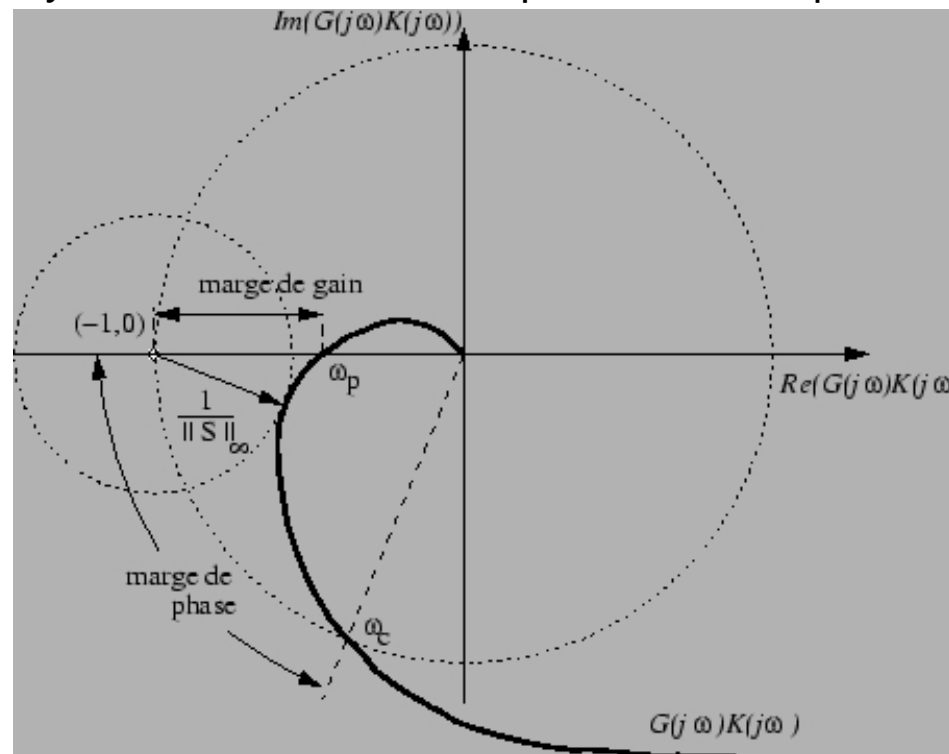
● Plus le lieu de Nyquist de  $\Sigma K$  est distant du point  $-1$  plus on peut attendre de robustesse

▲ Marge de gain : de combien augmenter/diminuer le gain de  $\Sigma K$  sans couper  $-1$

▲ Marge de phase : de combien augmenter/diminuer la phase de  $\Sigma K$  sans couper  $-1$

▲ Marge de module : rayon maximal du cercle autour de  $-1$  qui ne coupe pas  $\Sigma K$

▲ Marge de module : rayon des cercles en tout point de  $\Sigma K$  qui ne coupent pas  $-1$ .



## ■ Stabilité robuste - Marge de module SISO

▲ Marge de module : rayon maximal du cercle autour de  $-1$  qui ne coupe pas  $\Sigma K$

$$r = \min_{\omega} |1 + \Sigma(j\omega)K(j\omega)| = \frac{1}{\max_{\omega} |1 + \Sigma(j\omega)K(j\omega)|^{-1}}$$

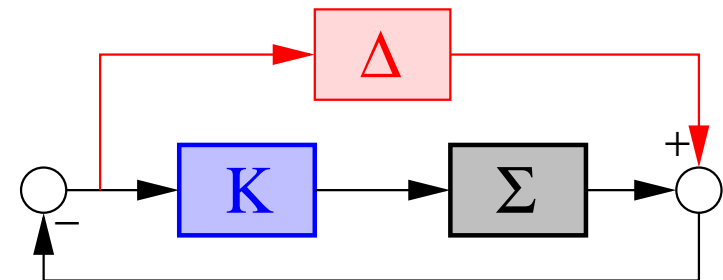
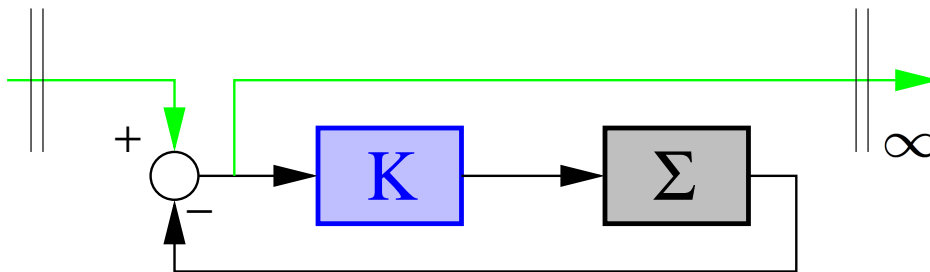
▲ Marge de module : rayon des cercles en tout point de  $\Sigma K$  qui ne coupent pas  $-1$ .

## ■ Stabilité robuste - Marge de module MIMO

▲ Marge de module : inverse de la norme  $H_{\infty}$  de la fonction de sensibilité  $S = (1 + \Sigma K)^{-1}$

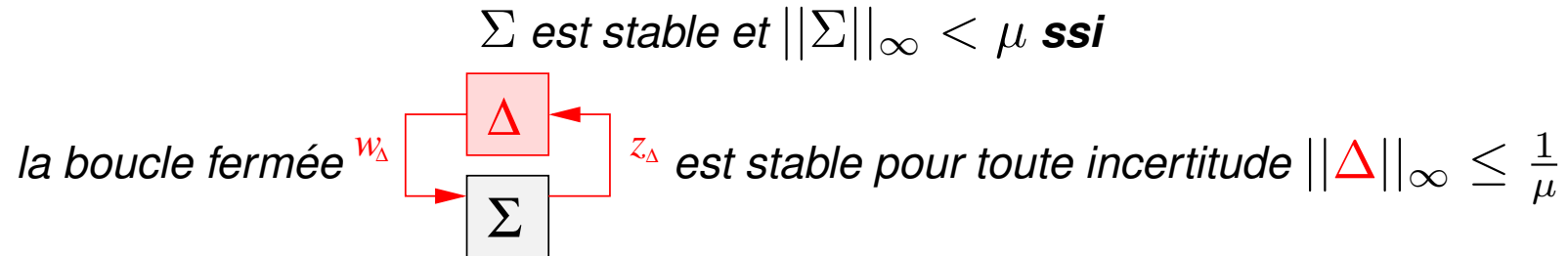
$$r = \min_{\omega} \underline{\sigma}(1 + \Sigma(j\omega)K(j\omega)) = \frac{1}{\max_{\omega} \bar{\sigma}(S(j\omega))} = \|S\|_{\infty}^{-1}$$

▲ Marge de module : norme maximale des incertitudes additives sur  $\Sigma K$  :  $\|\Delta\|_{\infty} \leq r$





■ Stabilité robuste - Théorème du petit gain - [Zhou et al.(1996)Zhou, Doyle, and Glover]



● Stabilité (interne) de la boucle  $\Delta \star \Sigma$  où  $\Sigma$  et  $\Delta$  sont des matrices de transfert :

$\Leftrightarrow$  bien posé de la boucle pour tout  $s \in \mathbb{C}^+$

$$\Leftrightarrow \begin{bmatrix} 1 & -\Sigma(s) \\ -\Delta(s) & 1 \end{bmatrix} \text{ propre et inversible pour tout } s \in \mathbb{C}^+$$

● Stabilité robuste de la boucle  $\Delta \star \Sigma$  où  $\Sigma$  et  $\Delta$  sont des matrices de transfert :

$$\Leftrightarrow \begin{bmatrix} 1 & -\Sigma(s) \\ -\Delta(s) & 1 \end{bmatrix} \text{ propre et inversible pour tout } s \in \mathbb{C}^+ \text{ et tout } \Delta \in \mathbb{A}$$

● Preuve suffisance :

▲ Pour tout  $\tau \in [0, 1]$  on a  $\tau \|\Delta\|_\infty \|\Sigma\|_\infty < 1$

On en déduit  $\|\Sigma[\tau\Delta]\|_\infty < 1 \quad \forall \tau \in [0, 1] \quad \forall \|\Delta\|_\infty \leq \frac{1}{\mu}$

C'est à dire  $\bar{\sigma}(\Sigma(j\omega)[\tau\Delta(j\omega)]) < 1 \quad \forall \tau \in [0, 1] \quad \forall \|\Delta\|_\infty \leq \frac{1}{\mu} \quad \forall \omega$

$[1 - \Sigma(j\omega)[\tau\Delta(j\omega)]]$  est inversible  $\forall \tau \in [0, 1] \quad \forall \|\Delta\|_\infty \leq \frac{1}{\mu} \quad \forall \omega$

$\begin{bmatrix} 1 & -\Sigma(j\omega) \\ -\tau\Delta(j\omega) & 1 \end{bmatrix}$  est inversible  $\forall \tau \in [0, 1] \quad \forall \|\Delta\|_\infty \leq \frac{1}{\mu} \quad \forall \omega$

(A) La propriété est vraie  $\forall \tau \in [0, 1]$  et  $s = j\omega$  sur l'axe imaginaire = frontière de  $\mathbb{C}^+$

▲  $\Sigma$  est stable donc  $\begin{bmatrix} 1 & -\Sigma(s) \\ -0\Delta(s) & 1 \end{bmatrix}$  propre et inversible  $\forall \|\Delta\|_\infty \leq \frac{1}{\mu} \quad \forall s \in \mathbb{C}^+$

(B) La propriété est vraie pour  $\tau = 0$  et  $s \in \mathbb{C}^+$

▲ Argument de continuité : Pour que la propriété soit fausse pour  $\tau = 1$  et un  $s \in \mathbb{C}^+$  il faut qu'elle soit à la limite entre validité et non-validité pour un certain  $\tau \in ]0, 1[$ . C'est à dire qu'il existe  $\tau \in ]0, 1[$  et  $s = j\omega$  qui contredise (A).

● Preuve de la nécessité - Supposons  $\|\Sigma\|_\infty = \mu + \epsilon$

$$\Rightarrow \exists \omega_0, \exists y (y^* y = (\mu + \epsilon)^2), \exists u (u^* u = 1) : y = \Sigma(j\omega_0)u$$

En prenant  $\Delta = \frac{1}{(\mu + \epsilon)^2} u y^*$  on a  $(1 - \Delta \Sigma(j\omega_0))u = 0$

*i.e.*  $\Delta$  rend la boucle mal posée, donc instable, et on a

$$\|\Delta\|_\infty^2 = \frac{1}{(\mu + \epsilon)^4} \sigma_{\max}(y u^* u y^*) = \frac{1}{(\mu + \epsilon)^4} \sigma_{\max}(y y^*) = \frac{1}{(\mu + \epsilon)^2} < \frac{1}{\mu^2}$$

▲ Ici  $\Delta$  est une matrice à valeurs complexes

On peut aussi construire  $\Delta(s)$  modèle LTI à coefficient réels qui coïncide pour  $s = j\omega_0$

[Scherer()]

## ■ Exemple d'emploi du théorème du petit gain

### ● Capteurs : dispositifs conçus pour mesurer des grandeurs physiques - ils sont imparfaits

▲ erreur de mesure et bruits en haute fréquence :  $y_m = (1 + \Delta_m W_m(s))y$

$W_m$  : gabarit fréquentiel (passe haut) ,  $\|\Delta_m\|_\infty \leq \frac{1}{\gamma_m}$

▲ Système  $\Sigma$  en boucle fermée avec un correcteur  $K$ , tenant compte de capteurs incertains :

$$((1 + \Delta_m W_m)\Sigma K) \star (-1) = \Delta_m \star (-W_m \Sigma K (1 + \Sigma K)^{-1})$$

▲ Stabilité robuste garantie si  $\|W_m \Sigma K (1 + \Sigma K)^{-1}\|_\infty < \gamma_m$

▲ SISO :  $\gamma_m W_m^{-1}$  = gabarit sur la sensibilité complémentaire  $\Sigma K (1 + \Sigma K)^{-1}$

▲ MIMO et  $W_m = w_m \mathbf{1}$  alors  $\gamma_m w_m^{-1}$  = gabarit sur  $\bar{\sigma}$  de la sensibilité complémentaire

### ● Exercice : Condition de stabilité robuste vis-à-vis d'incertitudes sur les actionneurs

■ Exemple d'emploi du théorème du petit gain

● Précision de la boucle fermée à des perturbations basse fréquence sur l'entrée du système

▲ Peut être évaluée par

$$\left\| \left( \begin{bmatrix} 0 & 1 \\ \Sigma & \Sigma K \end{bmatrix} \star (-1) \right) W_p \right\|_{\infty} = \|(1 + \Sigma K)^{-1} \Sigma W_p\|_{\infty} \leq \gamma_p$$

$W_p$  : gabarit fréquentiel (passe bas)

▲ Equivalent à la stabilité robuste vis-à-vis d'incertitudes  $\|\Delta_p\|_{\infty} \leq \frac{1}{\gamma_p}$  de

$$\Delta_p \star \left( \begin{bmatrix} 0 & 1 \\ \Sigma & \Sigma K \end{bmatrix} \star (-1) \right) W_p = (\Sigma(K + W_p \Delta_p)) \star (-1)$$

▲ Le rejet de perturbation  $\Leftrightarrow$  robustesse vis-à-vis d'incertitudes additives BF sur le contrôleur

■ Exemple de performance  $\mathcal{H}_\infty$  robuste

● Comment évaluer la précision robuste pour toutes les incertitudes sur les capteurs ?

$$\left\| \left( \begin{bmatrix} 0 & 1 \\ ((1 + \Delta_m W_m)\Sigma & ((1 + \Delta_m W_m)\Sigma K) \end{bmatrix} \star (-1) \right) W_p \right\|_\infty \leq \gamma_p, \quad \forall \|\Delta_m\|_\infty \leq \frac{1}{\gamma_m}$$

▲ Stabilité robuste de  $((1 + \Delta_m W_m)\Sigma(K + W_p \Delta_p)) \star (-1) =$

$$\begin{bmatrix} \Delta_m & \\ & \Delta_p \end{bmatrix} \underset{\star}{w_{\Delta, z\Delta}} \left[ \begin{array}{cc|c} 0 & W_m \Sigma W_p & W_m \Sigma K \\ 0 & 0 & 1 \\ \hline 1 & \Sigma W_p & \Sigma K \end{array} \right] \underset{\star}{u, y} (-1), \quad \begin{array}{l} \|\Delta_m\|_\infty \leq \frac{1}{\gamma_m} \\ \|\Delta_p\|_\infty \leq \frac{1}{\gamma_p} \end{array}$$

▲ Stabilité robuste

$$\underbrace{\begin{bmatrix} \hat{\Delta}_m & \\ & \hat{\Delta}_p \end{bmatrix}}_{\hat{\Delta}} \underset{\star}{w_{\Delta, z\Delta}} \underbrace{\left[ \begin{array}{cc|c} 0 & \frac{1}{\gamma_m \gamma_p} W_m \Sigma W_p & \frac{1}{\gamma_m} W_m \Sigma \\ -1 & -\frac{1}{\gamma_p} \Sigma W_p & -\Sigma \\ \hline -1 & -\frac{1}{\gamma_p} \Sigma W_p & -\Sigma \end{array} \right]}_{\hat{\Sigma}} \underset{\star}{u, y} K, \quad \begin{array}{l} \|\hat{\Delta}_m\|_\infty \leq 1 \\ \|\hat{\Delta}_p\|_\infty \leq 1 \end{array}$$

▲ Condition suffisante :  $\|\hat{\Sigma} \star K\|_\infty < 1$ .

## ■ Exemple de robustesse paramétrique

$$\begin{bmatrix} \alpha_1 \mathbf{1}_2 & \\ & \alpha_2 \end{bmatrix} w_{\Delta, z_{\Delta}} \star \begin{bmatrix} \Sigma_{\Delta\Delta} & \Sigma_{\Delta u} \\ \Sigma_{y\Delta} & \Sigma_{yu} \end{bmatrix} \begin{matrix} u, y \\ \star \end{matrix} K, \quad \begin{matrix} \alpha_1 \in [\underline{\alpha}_1, \bar{\alpha}_1] \\ \alpha_2^* + \alpha_2 \geq 0 \end{matrix}$$

## ● Incertitudes normalisées :

$$\alpha_1 = \overbrace{\frac{1}{2}(\underline{\alpha}_1 + \bar{\alpha}_1)}^{c_1} + \overbrace{\frac{1}{2}(\bar{\alpha}_1 - \underline{\alpha}_1)}^{r_1} \delta_1 = \delta_1 \star \begin{bmatrix} 0 & 1 \\ r_1 & c_1 \end{bmatrix} : \delta_1 \in [-1, 1]$$

$$\alpha_2 = \frac{1-\delta_2}{1+\delta_2} = \delta_2 \star \begin{bmatrix} -1 & -2 \\ 1 & 1 \end{bmatrix} : |\delta_2| \leq 1$$

## ● En utilisant les propriétés des LFT on se ramène à stabilité robuste de

$$\begin{bmatrix} \delta_1 \mathbf{1}_2 & \\ & \delta_2 \end{bmatrix} \hat{w}_{\Delta, \hat{z}_{\Delta}} \star \begin{bmatrix} \hat{\Sigma}_{\Delta\Delta} & \hat{\Sigma}_{\Delta u} \\ \hat{\Sigma}_{y\Delta} & \hat{\Sigma}_{yu} \end{bmatrix} \begin{matrix} u, y \\ \star \end{matrix} K$$

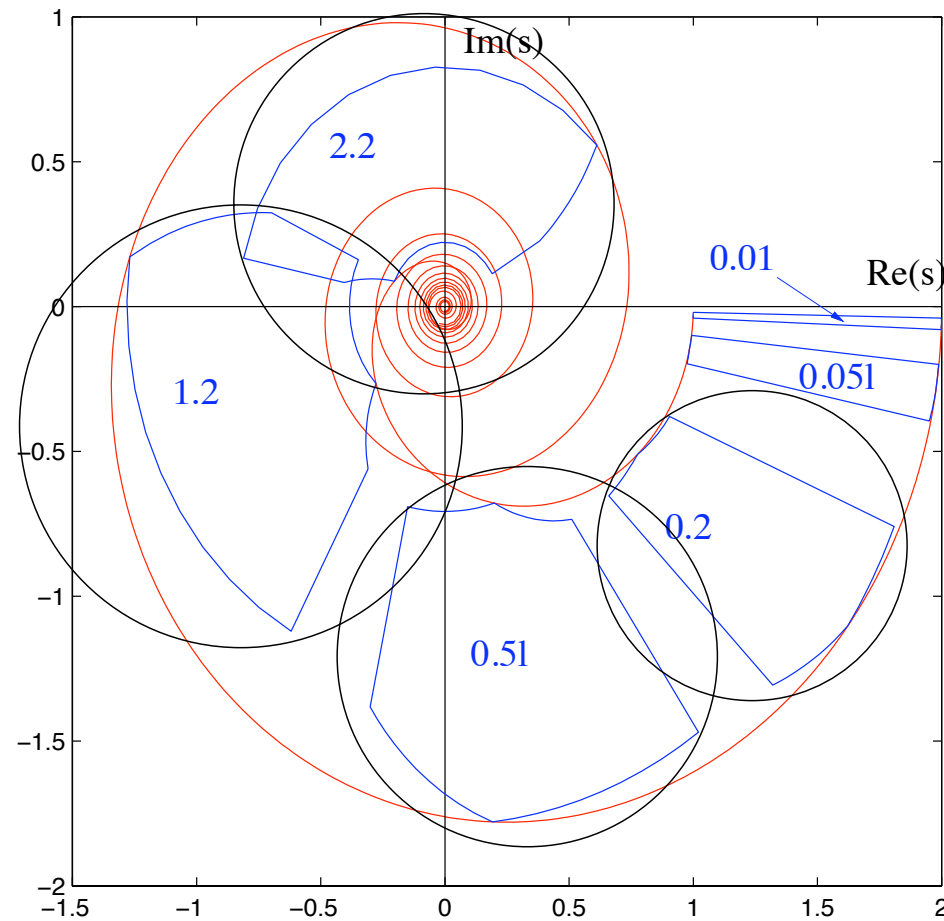
▲ Condition suffisante :  $\|\hat{\Sigma} \star K\|_{\infty} < 1$ .

▲ Condition suffisante :  $\|\hat{\Sigma} \star K\|_{\infty} < 1$ .

▲ Illustration du pessimisme

Zones bleues = possibles valeurs de  $\hat{\Sigma} \star K$  pour une fréquence donnée

Cercles = incertitudes non structurées incluant le cas structuré





■ Exemple de multi-performance  $\mathcal{H}_\infty$

● Précision de la boucle fermée à des perturbations basse fréquence sur l'entrée du système

$$\left\| \left( \begin{bmatrix} 0 & 1 \\ \Sigma & \Sigma K \end{bmatrix} \star (-1) \right) W_p \right\|_\infty = \|(1 + \Sigma K)^{-1} \Sigma W_p\|_\infty \leq \gamma_p$$

● Minimisation de l'effort des actionneurs en réponse à des bruits de mesure

$$\left\| \left( \begin{bmatrix} 0 & K \\ 1 & \Sigma K \end{bmatrix} \star (-1) \right) W_b \right\|_\infty = \|K(1 + \Sigma K)^{-1} W_b\|_\infty \leq \gamma_b$$

▲ Condition suffisante : stabilité robuste vis à vis de 2 incertitudes

$$\begin{bmatrix} \hat{\Delta}_p & \\ & \hat{\Delta}_b \end{bmatrix} \star \left( \overbrace{\begin{bmatrix} -\frac{1}{\gamma_p} \Sigma W_p & -\frac{1}{\gamma_b} W_b & -\Sigma \\ \frac{1}{\gamma_p} W_p & 0 & 1 \\ -\frac{1}{\gamma_p} \Sigma W_p & -\frac{1}{\gamma_b} W_b & -\Sigma \end{bmatrix}}^{\hat{\Sigma}} \star K \right), \quad \begin{aligned} \|\hat{\Delta}_p\|_\infty &\leq 1 \\ \|\hat{\Delta}_b\|_\infty &\leq 1 \end{aligned}$$

▲ Condition suffisante de la condition suffisante :  $\|\hat{\Sigma} \star K\|_\infty \leq 1$

## ■ Loop-shaping SISO

- Suivi de référence et réjection de perturbations :

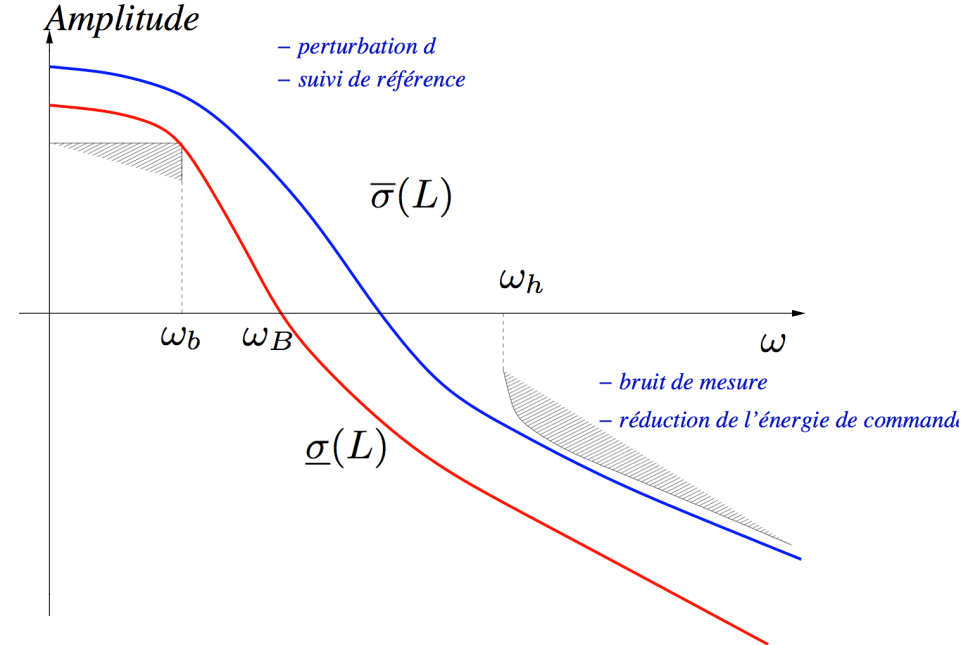
$$\underline{\sigma}(L_y) \text{ grand } 0 \leq \omega \leq \omega_B$$

- Réduction d'énergie de commande :

$$\bar{\sigma}(K) \text{ faible } 0 \leq \omega_B \leq \omega$$

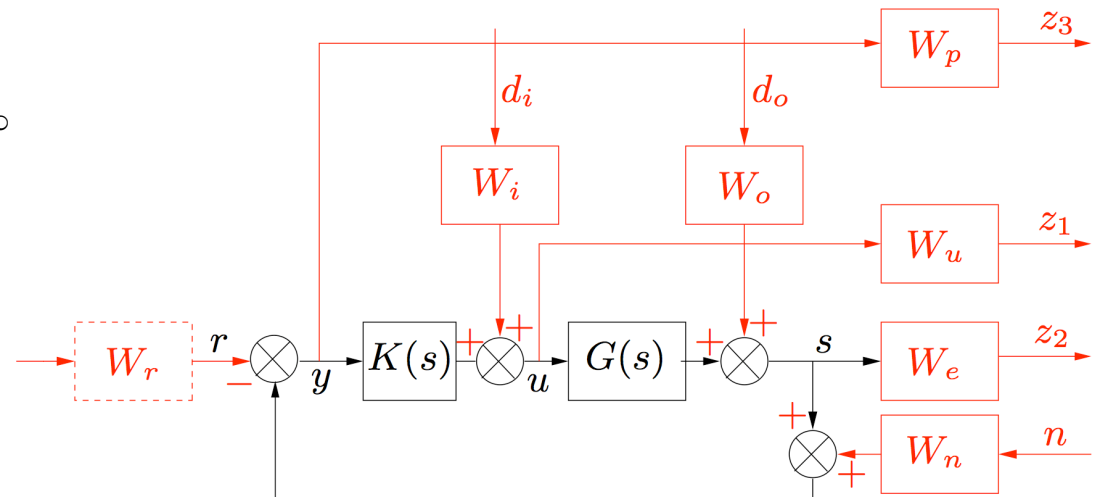
- Filtrage des bruits de mesure :

$$\bar{\sigma}(L_y) \text{ faible } 0 \leq \omega_B \leq \omega$$



## ● Généralisation MIMO grâce aux filtres et $H_\infty$

- $W_u$  : restriction sur  $u$
- $W_e, W_p$  : spécif. sur des transferts en BF
- $W_i, W_o, W_n$  : contenu fréq. de  $d$  et de  $n$
- $W_r$  : modelage de la consigne



■ Exemple : système à retard

$$\dot{x}(t) = Ax(t) + A_d x(t - \tau)$$

● Factorisation de  $A_d = B_d C_d$

$$\begin{cases} \dot{x}(t) = Ax(t) + B_d w_d(t) \\ z(t) = C_d x(t) \end{cases}, \quad w(t) = z(t - \tau)$$

● Opérateur retard  $e^{-s\tau}$  = opérateur borné dans disque unité quand  $s \in \mathbb{C}^+$

$$\|e^{-j\omega\tau}\|_\infty = 1$$

● Condition suffisante de stabilité indépendante du retard :

$$\|C_d(s\mathbf{1} - A)^{-1} B_d\|_\infty < 1$$



Cours M2 ASTR - module FRS - Commande Robuste

Cours 4 - Stabilité robuste,  $\mu$ -analyse

■ Problème générique d'analyse de stabilité robuste (pouvant inclure performance  $H_\infty$ )

● Stabilité de la “boucle  $M - \Delta$ ” : stabilité de  $\Delta \star M$  où  $M = \hat{\Sigma} \star K$

●  $\Delta \in \mathbb{A}_\gamma$  incertitude structurée

$$\Delta(s) = \text{diag} \{ \delta_1 \mathbf{1}, \dots, \delta_{n_r} \mathbf{1}, q_1(s) \mathbf{1}, \dots, q_{n_c}(s) \mathbf{1}, \Delta_1(s), \dots, \Delta_{n_f}(s) \}$$

-  $n_r$  blocs réels répétés avec  $\delta_j \in \mathbb{R}$ ,  $|\delta_j| \leq \gamma$

-  $n_c$  blocs LTI scalaires répétés avec  $q_j \in \mathcal{RH}_\infty$ ,  $\|q_j\|_\infty \leq \gamma$

-  $n_f$  blocs LTI matriciels stables  $\Delta_j \in \mathcal{RH}_\infty^{p_j \times l_j}$ ,  $\|\Delta_j\|_\infty \leq \gamma$

(incertitudes normalisée :  $\gamma = 1$ )

● Pour chaque fréquence  $\omega$  on a  $\bar{\sigma}(\Delta(j\omega)) \leq \gamma$  et  $\Delta(j\omega) \in \mathbb{V}$  défini par :

$$\mathbb{V} = \text{diag} \{ \delta_1 \mathbf{1}, \dots, \delta_{n_r} \mathbf{1}, q_1 \mathbf{1}, \dots, q_{n_c} \mathbf{1}, \Delta_1, \dots, \Delta_{n_f} \}$$

-  $n_r$  blocs réels répétés avec  $\delta_j \in \mathbb{R}$

-  $n_c$  blocs complexes répétés avec  $q_j \in \mathbb{C}$

-  $n_f$  blocs matriciels complexes  $\Delta_j \in \mathbb{C}^{p_j \times l_j}$

●  $\mathbb{V}$  définit la “structure” de l'incertitude,  $\gamma$  sa “taille”

■ Problème générique d'analyse de stabilité robuste (suite)

● Pour  $M$  stable, trouver le plus grand  $\gamma$  tel que  $\Delta \star M$  stable pour tout  $\Delta \in \Delta_\gamma$

▲ Argument de continuité (voir preuve Théorème du petit gain), il suffit de montrer que

$$[1 - M(j\omega)\tau\Delta(j\omega)] \text{ inversible pour tout } \omega \in \mathbb{R}, \tau \in [0, 1], \Delta \in \Delta_\gamma$$

▲ Par construction de  $\mathbb{V}$  la propriété est vraie si

$$[1 - M(j\omega)\Delta] \text{ inversible pour tout } \Delta \in \mathbb{V} \text{ tel que } \bar{\sigma}(\Delta) \leq \gamma$$

● Définition : Marge de non singularité d'une matrice complexe =  $k_{\mathbb{V}}(M_0) = \max \gamma_0$

Plus grande valeur de  $\gamma_0$  telle que  $[1 - M_0\Delta]$  inversible pour tout  $\Delta \in \mathbb{V}$  tq  $\bar{\sigma}(\Delta) \leq \gamma_0$

▲ Cette valeur dépend de  $M_0$  et de la structure de l'incertitude  $\mathbb{V}$

● Définition : Valeur singulière structurée d'une matrice complexe :

$$\mu_{\mathbb{V}}(M_0) = \frac{1}{k_{\mathbb{V}}(M_0)}$$

## ■ Théorème

### ● $\mu$ -analyse (borne supérieure) :

si  $\mu_{\nabla}(M(j\omega)) < \mu_u$  pour toutes des fréquences  $\omega \in \mathbb{R}^+$

alors  $\Delta \star M$  stable pour tout  $\Delta \in \Delta_{\gamma_u}$  avec  $\gamma_u = 1/\mu_u$

### ● $\mu$ -analyse (borne inférieure) : [Tits and Fan(1995)]

si  $\mu_{\nabla}(M(j\omega)) > \mu_l$  pour une fréquence  $\omega \in \mathbb{R}^+$

alors il existe  $\Delta \in \Delta_{\gamma_l}$  avec  $\gamma_l = 1/\mu_l$  qui rend  $\Delta \star M$  instable

▲ Stabilité robuste évaluée par bornes supérieures/inférieures de  $\mu_{\nabla}(M(j\omega))$

▲ Mais... le calcul de  $\mu_{\nabla}(M)$  est difficile en général

▲ Il faut le faire pour toutes les fréquences (ou un quadrillage suffisamment fin)



## ■ Propriétés de $\mu_{\nabla}$ :

- $\mu_{\nabla}$  croît avec la taille de l'ensemble d'incertitude

$$\nabla_1 \subset \nabla_2 \Rightarrow \mu_{\nabla_1}(M_0) \leq \mu_{\nabla_2}(M_0)$$

- $\mu_{\nabla}(\alpha M_0) = |\alpha| \mu_{\nabla}(M_0)$ ,  $\forall \alpha \in \mathbb{C}$

- Si  $\nabla = \mathbb{C}^{p \times q}$  alors  $\mu_{\nabla}(M_0) = \bar{\sigma}(M_0)$  et donc  $\|M\|_{\infty} = \sup_{\omega} \mu_{\nabla}(M(j\omega))$

(Résultat de  $\mu$ -analyse se confond alors avec le théorème du petit gain)

- Si  $\nabla = \{\nabla = \delta \mathbf{1}, \delta \in \mathbb{C}\}$  alors  $\mu_{\nabla}(M_0) = \rho(M_0)$

et donc pour tout  $\nabla$  avec que des blocs complexes on a  $\rho(M_0) \leq \mu_{\nabla}(M_0) \leq \bar{\sigma}(M_0)$

- Si  $\nabla = \{\nabla = \delta \mathbf{1}, \delta \in \mathbb{R}\}$  alors  $\mu_{\nabla}(M_0) = \rho_R(M_0)$

(plus grand module de v.p. réelle)

et donc pour tout  $\nabla$  on a  $\rho_R(M_0) \leq \mu_{\nabla}(M_0) \leq \bar{\sigma}(M_0)$

▲ Exemple : [Skogestad 96]

$$M = \begin{bmatrix} a & a \\ b & b \end{bmatrix} \quad \mu_{\nabla}(M) = \begin{cases} \rho(M) = |a + b| \text{ pour } \nabla = \delta 1 \\ |a| + |b| \text{ pour } \nabla = \text{diag}\{\delta_1, \delta_2\} \\ \bar{\sigma}(M) = \sqrt{2|a|^2 + 2|b|^2} \text{ pour } \nabla \text{ pleine} \end{cases}$$

▲ Exemple : [Zhou96]

$$M = \begin{bmatrix} -0.5 & 0.5 \\ -0.5 & 0.5 \end{bmatrix} \quad \nabla = \begin{bmatrix} \delta_1 & 0 \\ 0 & \delta_2 \end{bmatrix} \quad \begin{aligned} \rho(M) &= 0 \\ \bar{\sigma}(M) &= \mu_{\nabla} = 1 \end{aligned}$$

Nota : l'écart entre les bornes inférieure et supérieure peut être grand

## ■ Propriétés de $\mu_{\nabla}$ :

- Si  $\nabla$  avec uniquement blocs complexes alors  $\mu_{\nabla}(M_0) : \mathbb{C}^{n \times n} \rightarrow \mathbb{R}$  est **continue**
- Si il existe des blocs réels  $\mu_{\nabla}(M_0) : \mathbb{C}^{n \times n} \rightarrow \mathbb{R}$  peut être **discontinue**

▲ Exemple avec  $\nabla = \delta \mathbf{1}_2$ ,  $\delta \in \mathbb{R}$  et  $M_0 = \begin{bmatrix} 1 & m \\ -m & 1 \end{bmatrix}$

$$\mu_{\nabla}(M_0) = \rho_R(M_0) = \begin{cases} 0 & \text{si } m \neq 0 \\ 1 & \text{si } m = 0 \end{cases}$$

▲ !! La fonction  $\omega \mapsto \mu_{\nabla}(M(j\omega))$  peut contenir des sauts

■ Calcul d'une meilleure borne inférieure de  $\mu$

● Tirage aléatoire :

▲ Prendre aléatoirement  $\nabla \in \mathbb{V}$  et normaliser  $\hat{\nabla} = \frac{1}{\bar{\sigma}(\nabla)} \nabla$

▲ alors  $\rho_R(M_0 \hat{\nabla}) \leq \mu_{\nabla}(M_0)$

▲ Preuve :  $(1 - M_0 \left[ \frac{1}{\rho_R(M_0 \hat{\nabla})} \hat{\nabla} \right])$  n'est pas inversible et  $\bar{\sigma}\left(\frac{1}{\rho_R(M_0 \hat{\nabla})} \hat{\nabla}\right) = \frac{1}{\rho_R(M_0 \hat{\nabla})}$

● Problème d'optimisation :

$$\sup_{\hat{\nabla} \in \nabla, \bar{\sigma}(\hat{\nabla})=1} \rho_R(M_0 \hat{\nabla}) \leq \mu_{\nabla}(M_0)$$

▲ Optimisation non convexe ( $\bar{\sigma}(\hat{\nabla}) = 1$  est une contrainte non-convexe)

● Cas où  $\mathbb{V}$  contient uniquement des blocs complexes, alors

$$\max_{\hat{\nabla} \in \nabla, \bar{\sigma}(\hat{\nabla})=1} \rho(M_0 \hat{\nabla}) = \mu_{\nabla}(M_0)$$

● Rappel : calcul de bornes inférieures donne des valeurs d'incertitudes ("petites") qui déstabilisent

- Calcul d'une meilleure borne supérieure de  $\mu$  (pour garantir stabilité robuste)
- Pour la suite du cours on suppose que tous les blocs  $\Delta_j \in \mathbb{C}^{p_j \times p_j}$  sont carrés
- Soit l'ensemble de matrices inversibles suivant (de structure "opposée" à  $\mathbb{V}$ )

$$\mathbf{D}_{\mathbb{V}} = \left\{ \begin{array}{l} D = \text{diag}(P_1, \dots, P_{n_r}, D_1, \dots, D_{n_c}, d_1 \mathbf{1}_{p_1}, \dots, d_{n_f} \mathbf{1}_{p_{n_f}}) \\ P_j = P_j^* > 0, D_j = D_j^* > 0, d_j \in \mathbb{R}^{+*} \end{array} \right\}$$

- ▲ Pour tout  $D \in \mathbf{D}_{\mathbb{V}}$  et tout  $\Delta \in \mathbb{V}$  on a  $D\Delta = \Delta D$  et donc

$$\det(1 - M_0 \Delta) = \frac{\det(D)}{\det(D)} \det(1 - M_0 \Delta) = \det(D^{-1}(1 - M_0 \Delta)D) = \det(1 - D^{-1}M_0 D \Delta)$$

- ▲ Ainsi pour tout  $D \in \mathbf{D}_{\mathbb{V}}$  on a  $\mu_{\mathbb{V}}(M_0) = \mu_{\mathbb{V}}(D^{-1}M_0 D)$

- ▲ Interprétation en terme de boucle

$$\Delta \star M_0 = (D^{-1} \Delta D) \star (D^{-1} M_0 D) = \Delta \star (D^{-1} M_0 D)$$

▲ Pour tout  $D \in \mathbf{D}_{\nabla}$  on a  $\mu_{\nabla}(M_0) = \mu_{\nabla}(D^{-1}M_0D) \leq \bar{\sigma}(D^{-1}M_0D)$  d'où

● Le problème d'optimisation suivant donne une borne supérieure de  $\mu$  :

$$\mu_{\nabla}(M_0) \leq \inf_{D \in \mathbf{D}_{\nabla}} \bar{\sigma}(D^{-1}M_0D) \leq \bar{\sigma}(M_0)$$

▲ L'écart entre la borne et la valeur réelle peut être grand

(mais en général bien moins grand que avec  $\bar{\sigma}(M_0)$ )

▲ Si  $2(n_r + n_c) + n_f \leq 3$  alors il y a égalité

- Le problème d'optimisation de la borne supérieur de  $\mu$  est convexe

$$\mu_{\nabla}(M_0) \leq \inf_{D \in \mathbf{D}_{\nabla}} \bar{\sigma}(D^{-1}M_0D)$$

▲ Preuve :

Par définition  $\bar{\sigma}(D^{-1}M_0D) < \kappa$  ssi  $D^*M_0^*D^{-*}D^{-1}M_0D < \kappa^2\mathbf{1}$

Par congruence on trouve la contrainte  $M_0^*D^{-*}D^{-1}M_0 < \kappa^2D^{-*}D^{-1}$

On remarque que  $Q = D^{-*}D^{-1} \in \mathbf{D}_{\nabla}$  ssi  $D \in \mathbf{D}_{\nabla}$  et donc

$$\mu_{\nabla}(M_0) \leq \kappa \text{ s'il existe une solution aux LMI suivantes } M_0^*Q M_0 < \kappa^2Q, \quad Q \in \mathbf{D}_{\nabla}$$

- ▲ La minimisation de  $\kappa$  est un "problème LMI de v.p. généralisé",  
convexe, avec solutions en temps polynomial

$\mu_{\nabla}(M_0) < \kappa$  s'il existe une solution aux LMI suivantes  $M_0 Q M_0^* < \kappa^2 Q$ ,  $Q \in \mathbf{D}_{\nabla}$

● Preuve alternative de la condition LMI

▲ La contrainte  $M_0^* Q M_0 < \kappa^2 Q$  s'écrit également

$$\begin{bmatrix} 1 & M_0^* \end{bmatrix} \begin{bmatrix} -\kappa^2 Q & 0 \\ 0 & Q \end{bmatrix} \begin{bmatrix} 1 \\ M_0 \end{bmatrix} < 0$$

D'après le lemme de Finsler on en déduit l'existence  $\tau > 0$  tel que

$$\begin{bmatrix} -\kappa^2 Q & 0 \\ 0 & Q \end{bmatrix} < \tau \begin{bmatrix} M_0^* \\ -1 \end{bmatrix} \begin{bmatrix} M_0 & -1 \end{bmatrix}$$

Par congruence on a pour tout  $\Delta \in \mathbb{V}$

$$\begin{bmatrix} \Delta^* & 1 \end{bmatrix} \begin{bmatrix} -\kappa^2 Q & 0 \\ 0 & Q \end{bmatrix} \begin{bmatrix} \Delta \\ 1 \end{bmatrix} < \tau \begin{bmatrix} \Delta^* M_0^* - 1 \end{bmatrix} \begin{bmatrix} M_0 \Delta - 1 \end{bmatrix}$$

Par construction, la partie gauche est définie-positive si  $\bar{\sigma}(\Delta) \leq \frac{1}{\kappa}$

donc  $1 - M_0 \Delta$  est non singulière pour toute incertitude  $\Delta \in \mathbb{V}$  tq  $\bar{\sigma}(\Delta) \leq \frac{1}{\kappa}$ .



■ Condition LMI moins pessimiste ( $DG$ -scalings)

● Soit l'ensemble suivant

$$\mathbf{G}_{\nabla} = \left\{ G = \text{diag}(G_1, \dots, G_{n_r}, 0, \dots, 0, 0, \dots, 0) , G_j = -G_j^* \right\}$$

▲ Pour tout  $G \in \mathbf{G}_{\nabla}$  et tout  $\Delta \in \mathbb{V}$  on a  $G\Delta = -\Delta^*G^*$  donc

$$\begin{bmatrix} \Delta^* & 1 \end{bmatrix} \begin{bmatrix} -\kappa^2 Q & G^* \\ G & Q \end{bmatrix} \begin{bmatrix} \Delta \\ 1 \end{bmatrix} = \begin{bmatrix} \Delta^* & 1 \end{bmatrix} \begin{bmatrix} -\kappa^2 Q & 0 \\ 0 & Q \end{bmatrix} \begin{bmatrix} \Delta \\ 1 \end{bmatrix}$$

le preuve précédente tient donc de la même façon si on définit le problème suivant

$$\mu_{\nabla}(M_0) < \kappa \text{ s'il existe une solution aux LMI suivantes}$$

$$\begin{bmatrix} 1 & M_0^* \end{bmatrix} \begin{bmatrix} -\kappa^2 Q & G^* \\ G & Q \end{bmatrix} \begin{bmatrix} 1 \\ M_0 \end{bmatrix} < 0 , \quad \begin{array}{l} Q \in \mathbf{D}_{\nabla} \\ G \in \mathbf{G}_{\nabla} \end{array}$$

▲ Condition longtemps considérée comme, pessimiste, mais la meilleure possible

## ■ Théorème

### ● $\mu$ -analyse (borne supérieure) :

si  $\mu_{\nabla}(M(j\omega)) < \mu_u$  pour toutes des fréquences  $\omega \in \mathbb{R}^+$

alors  $\Delta \star M$  stable pour tout  $\Delta \in \Delta_{\gamma_u}$  avec  $\gamma_u = 1/\mu_u$

▲ Pour chaque fréquence les  $DG$ -scalings donnent une valeur  $\mu_u(\omega)$

### ● $\mu$ -analyse (borne inférieure) : [Tits and Fan(1995)]

si  $\mu_{\nabla}(M(j\omega)) > \mu_l$  pour une fréquence  $\omega \in \mathbb{R}^+$

alors il existe  $\Delta \in \Delta_{\gamma_l}$  avec  $\gamma_l = 1/\mu_l$  qui rend  $\Delta \star M$  instable

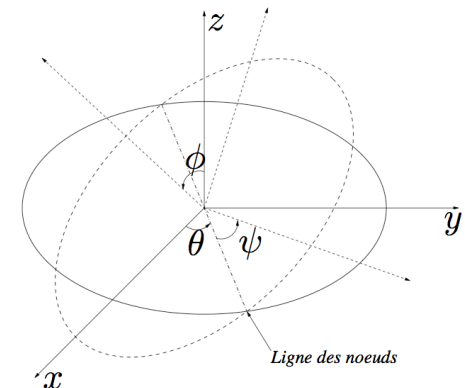
▲ Pour chaque fréquence des algorithmes (aléatoires/non-convexes) donnent une valeur  $\mu_l(\omega)$

▲ Il faut le faire pour toutes les fréquences (ou un quadrillage suffisamment fin)

## ■ Exemple : stabilité robuste d'un satellite

- Ecriture des équations d'Euler du satellite en spin  $\Omega$  constante autour de l'axe  $z$  et des équations de la cinématique
- Linéarisation des équations d'Euler et de la cinématique
- $I_{xx} = I_{yy} = I_1$  et  $I_{zz} = I_3$

- Découplage du mouvement autour de  $z$  / axes  $x$  et  $y$



- Equations d'Euler linéarisées et découplées :

$$I_1 \dot{\omega}_1 - \omega_2 \Omega (I_1 - I_3) = T_1$$

$$I_1 \dot{\omega}_2 - \omega_1 \Omega (I_3 - I_1) = T_2$$

- On pose  $a = (1 - I_3/I_1)\Omega$  et  $\begin{bmatrix} u_1 & u_2 \end{bmatrix}' = \begin{bmatrix} T_1/I_1 & T_2/I_1 \end{bmatrix}'$

■ Exemple : stabilité robuste d'un satellite (suite)

● Modèle d'état :

$$\begin{bmatrix} \dot{\omega}_1 \\ \dot{\omega}_2 \end{bmatrix} = \begin{bmatrix} 0 & a \\ -a & 0 \end{bmatrix} \begin{bmatrix} \omega_1 \\ \omega_2 \end{bmatrix} + \begin{bmatrix} u_1 \\ u_2 \end{bmatrix}$$

$$\begin{bmatrix} y_1 \\ y_2 \end{bmatrix} = \begin{bmatrix} 1 & a \\ -a & 1 \end{bmatrix} \begin{bmatrix} \omega_1 \\ \omega_2 \end{bmatrix}$$

● Matrice de transfert :

$$\Sigma(s) = C(s\mathbf{1} - A)^{-1}B = \frac{1}{s^2 + a^2} \begin{bmatrix} s - a^2 & a(s + 1) \\ -a(s + 1) & s - a^2 \end{bmatrix}$$

■ Exemple : stabilité robuste d'un satellite (suite)

● Stabilisation interne nominale :  $K = \mathbf{1}_2$

▲ Test entrée - sortie (fonctions de sensibilité et de sensibilité complémentaire)

$$S_y(s) = S_u(s) = (1 + \Sigma(s)K)^{-1} = \frac{1}{s+1} \begin{bmatrix} s & -a \\ a & s \end{bmatrix}$$
$$T_y(s) = T_u(s) = \Sigma(s)K(1 + \Sigma(s)K)^{-1} = \frac{1}{s+1} \begin{bmatrix} 1 & a \\ -a & 1 \end{bmatrix}$$

▲ Test d'état :

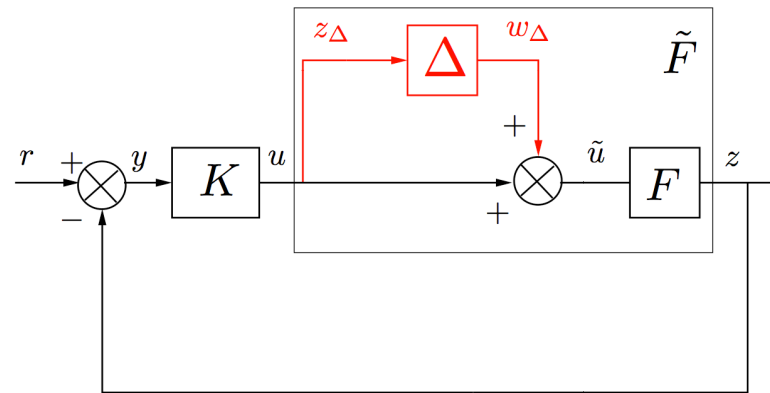
$$\tilde{A} = A - BKC = \begin{bmatrix} -1 & 0 \\ 0 & -1 \end{bmatrix}$$

■ Exemple : stabilité robuste d'un satellite (suite)

● On suppose que des dynamiques liées aux modes souples ont été négligées ou non modélisées

▲ Modèle incertain multiplicatif :

$$\Sigma(s, \Delta) = \Sigma(s)(1 + \Delta) = \frac{1}{s^2 + a^2} \begin{bmatrix} s - a^2 & a(s + 1) \\ -a(s + 1) & s - a^2 \end{bmatrix} [1 + \Delta]$$



▲ Modèle  $\Delta \star M$  pour  $K = 1$

$$M = \begin{bmatrix} 0 & 1 \\ -\Sigma & -\Sigma \end{bmatrix} \star K = -K(1 + \Sigma K)^{-1} \Sigma = \begin{bmatrix} -\frac{1}{s+1} & -\frac{a}{s+1} \\ \frac{a}{s+1} & -\frac{1}{s+1} \end{bmatrix}$$

■ Exemple : stabilité robuste d'un satellite (suite)

● Cas où  $\Delta$  est pleine, LTI, bornée en norme (cas des dynamiques couplées négligées)

▲ Calcul de  $\mu_{\nabla_1}(M(j\omega))$  avec  $\nabla_1 = \mathbb{C}^{2 \times 2}$

$$\mu_{\nabla_1}(M(j\omega)) = \bar{\sigma}(M(j\omega)) = \left| \frac{1}{1 + j\omega} \right| \bar{\sigma} \begin{bmatrix} -1 & -a \\ a & -1 \end{bmatrix} = \frac{1}{\sqrt{1 + \omega^2}} \sqrt{1 + a^2}$$

Donc  $\max_{\omega} \mu_{\nabla_1}(M(j\omega)) = \sqrt{1 + a^2}$  : la boucle est stable si  $\|\Delta\|_{\infty} < \frac{1}{\sqrt{1+a^2}}$ .

▲ Théorème du petit gain :  $\Delta \star M$  stable ssi  $\|\Delta\|_{\infty} < \frac{1}{\gamma_F}$  où

$$\gamma_F = \|M\|_{\infty} = \left\| \frac{1}{s+1} \begin{bmatrix} -1 & -a \\ a & -1 \end{bmatrix} \right\|_{\infty} = \sqrt{1 + a^2}$$

■ Exemple : stabilité robuste d'un satellite (suite)

● Cas où  $\mathbb{V}_2 = \{\text{diag}(\delta, \delta) \in \mathbb{C}^{2 \times 2}\}$  à valeurs complexes

▲ Le calcul exact de  $\mu_{\mathbb{V}_2}(M(j\omega))$  est dans ce cas possible :

$$\begin{aligned} \mu_{\mathbb{V}_2}(M(j\omega)) &= \rho(M(j\omega)) = \rho\left(\frac{1}{1+j\omega} \begin{bmatrix} -1 & -a \\ a & -1 \end{bmatrix}\right) \\ &= \left|\frac{1}{1+\omega^2}\right| \rho \begin{bmatrix} -1 & -a \\ a & -1 \end{bmatrix} \\ &= \frac{1}{\sqrt{1+\omega^2}} | -1 \pm ja | \\ &= \frac{1}{\sqrt{1+\omega^2}} \sqrt{1+a^2} \end{aligned}$$

▲  $\Delta \star M$  stable si  $\|\Delta\|_\infty < \frac{1}{\gamma_F}$  où  $\gamma_F = \sqrt{1+a^2}$



■ Exemple : stabilité robuste d'un satellite (suite)

● Cas où  $\mathbb{V}_2 = \{\text{diag}(\delta, \delta) \in \mathbb{C}^{2 \times 2}\}$

$$\underbrace{\{\Delta = \text{diag}(\delta, \delta) \in \mathbb{C}^{2 \times 2}\}}_{\mathbb{V}_2} \subset \underbrace{\{\Delta = \text{diag}(\delta_1, \delta_2) \in \mathbb{C}^{2 \times 2}\}}_{\mathbb{V}_3} \subset \underbrace{\{\Delta \in \mathbb{C}^{2 \times 2}\}}_{\mathbb{V}_1}$$

▲ On en déduit  $\mu_{\mathbb{V}_2}(M(j\omega)) \leq \mu_{\mathbb{V}_3}(M(j\omega)) \leq \mu_{\mathbb{V}_1}(M(j\omega))$ .

▲ Les deux bornes sont égales, donc là encore

$$\Delta \star M \text{ stable si } \|\Delta\|_\infty < \frac{1}{\gamma_F} \text{ où } \gamma_F = \sqrt{1 + a^2}$$

■ Exemple : stabilité robuste d'un satellite (suite)

● Cas où  $\mathbb{V}_4 = \{ \text{diag}(\delta_1, \delta_2) \in \mathbb{R}^{2 \times 2} \}$  est à valeurs réelles

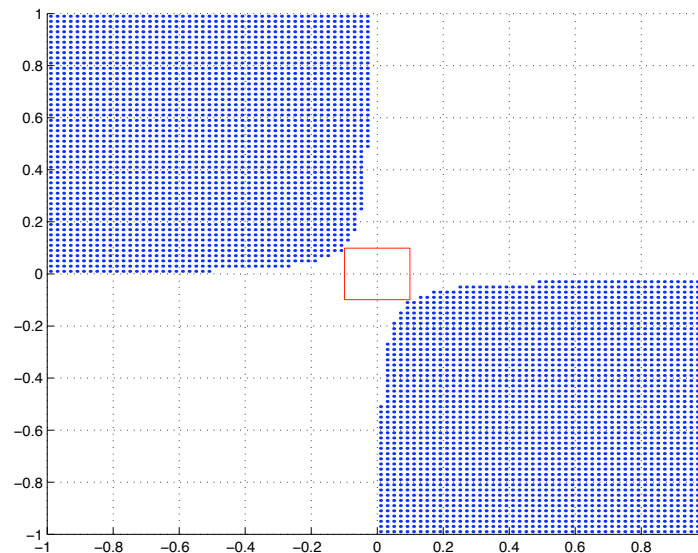
▲ Calcul à l'aide du critère de Routh-Hurwitz

$$\det(1 - M\Delta) = \det \begin{bmatrix} 1 + \frac{\delta_1}{s+1} & \frac{a\delta_2}{s+1} \\ \frac{-a\delta_1}{s+1} & 1 + \frac{\delta_2}{s+1} \end{bmatrix} = \frac{1}{(s+1)^2} \begin{pmatrix} s^2 + (2 + \delta_1 + \delta_2)s & \\ +1 + \delta_1 + \delta_2 + (a^2 + 1)\delta_1\delta_2 & \end{pmatrix}$$

▲ La boucle  $\Delta \star M$  est stable si

$$2 + \delta_1 + \delta_2 > 0 \text{ et}$$

$$1 + \delta_1 + \delta_2 + (a^2 + 1)\delta_1\delta_2$$



▲  $\Delta \star M$  stable si  $\|\Delta\|_\infty < \frac{1}{\gamma_F}$  où  $\gamma_F = \sqrt{1 + a^2}$

■ Exemple : stabilité robuste d'un satellite (suite)

● Cas où  $\mathbb{V}_5 = \{\text{diag}(\delta, \delta) \in \mathbb{R}^{2 \times 2}\}$  est à valeurs réelles

▲ Calcul à l'aide du critère de Routh-Hurwitz conduit à :  $\Delta \star M$  est stable si

$$2 + 2\delta > 0, \quad 1 + 2\delta + (a^2 + 1)\delta^2 > 0$$

▲  $\Delta \star M$  stable si  $\delta > -1$  c'est à dire  $\|\Delta\| \leq 1$

▲ Calcul de  $\mu_{\mathbb{V}_5}(M(j\omega))$  est possible et exact :

$$\begin{aligned} \mu_{\mathbb{V}_2}(M(j\omega)) &= \rho_R(M(j\omega)) = \rho_R \left( \frac{1}{1+j\omega} \begin{bmatrix} -1 & -a \\ a & -1 \end{bmatrix} \right) \\ &= \max_{\mathbb{R}} \left| \frac{-1 \pm ja}{1+j\omega} \right| \end{aligned}$$

▲ donc  $\mu_{\mathbb{V}_5}(M(j\omega)) = 1$  si  $\omega = a$  et  $\mu_{\mathbb{V}_5}(M(j\omega)) = 0$  sinon

Discontinue ! Très difficile à calculer par quadrillage sur  $\omega$  !

▲  $\Delta \star M$  stable si  $\|\Delta\|_{\infty} < \frac{1}{\gamma_F}$  où  $\gamma_F = 1$

■ Test LMI (pessimiste) sur toutes les fréquences

● Calcul de borne supérieure pour une fréquence donnée  $M_0 = M(j\omega)$

$$\mu_{\nabla}(M_0) < \kappa \text{ s'il existe une solution aux LMI suivantes}$$

$$\begin{bmatrix} 1 & M_0^* \end{bmatrix} \begin{bmatrix} -\kappa^2 Q & G^* \\ G & Q \end{bmatrix} \begin{bmatrix} 1 \\ M_0 \end{bmatrix} < 0, \quad \begin{array}{l} Q \in \mathbf{D}_{\nabla} \\ G \in \mathbf{G}_{\nabla} \end{array}$$

● Condition suffisante pour le calcul d'une borne supérieure pour toutes les fréquences

$$\mu_{\nabla}(M(j\omega)) < \kappa, \quad \forall \omega \in \mathbb{R}^+ \text{ s'il existe une solution aux LMI suivantes}$$

$$\begin{bmatrix} 1 & M^*(j\omega) \end{bmatrix} \begin{bmatrix} -\kappa^2 Q & G^* \\ G & Q \end{bmatrix} \begin{bmatrix} 1 \\ M(j\omega) \end{bmatrix} < 0, \quad \begin{array}{l} Q \in \mathbf{D}_{\nabla} \\ G \in \mathbf{G}_{\nabla} \end{array}, \quad \forall \omega \in \mathbb{R}^+$$

▲ CNS si  $Q$  et  $G$  dépendent de  $\omega$ , mais ...

■ Test LMI (pessimiste) sur toutes les fréquences (suite)

● Condition suffisante pour le calcul d'une borne supérieure pour toutes les fréquences

$$\mu_{\nabla}(M(j\omega)) < \kappa, \quad \forall \omega \in \mathbb{R}^+ \text{ s'il existe une solution aux LMI suivantes}$$

$$\begin{bmatrix} 1 & M^*(j\omega) \end{bmatrix} \begin{bmatrix} -\kappa^2 Q & G^* \\ G & Q \end{bmatrix} \begin{bmatrix} 1 \\ M(j\omega) \end{bmatrix} < 0, \quad \begin{matrix} Q \in \mathbf{D}_{\nabla} \\ G \in \mathbf{G}_{\nabla} \end{matrix}, \quad \forall \omega \in \mathbb{R}^+$$

● Lemme de Kalman-Yakubovitch-Popov avec  $M(s) = D + C(s1 - A)^{-1}B$

$$\mu_{\nabla}(M(j\omega)) < \kappa, \quad \forall \omega \in \mathbb{R}^+ \text{ s'il existe une solution aux LMI suivantes}$$

$$\begin{bmatrix} 0 & 1 \\ C & D \end{bmatrix}^* \begin{bmatrix} -\kappa^2 Q & G^* \\ G & Q \end{bmatrix} \begin{bmatrix} 0 & 1 \\ C & D \end{bmatrix} + \begin{bmatrix} 1 & 0 \\ A & B \end{bmatrix}^* \begin{bmatrix} 0 & P \\ P & 0 \end{bmatrix} \begin{bmatrix} 1 & 0 \\ A & B \end{bmatrix} < 0$$

$$Q \in \mathbf{D}_{\nabla}, \quad G \in \mathbf{G}_{\nabla}, \quad P = P^*$$

▲ Les deux conditions ci-dessus sont équivalentes (on ne montre que la suffisance)

● Preuve de la suffisance du lemme K-Y-P

▲ Remarquons que

$$\begin{bmatrix} 0 & 1 \\ C & D \\ 1 & 0 \\ A & B \end{bmatrix} \begin{bmatrix} (s\mathbf{1} - A)^{-1}B \\ 1 \\ (s\mathbf{1} - A)^{-1}B \\ 1 \end{bmatrix} = \begin{bmatrix} 1 \\ M(s) \\ 1 \\ s\mathbf{1} \end{bmatrix} (s\mathbf{1} - A)^{-1}B$$

▲ Donc par congruence et en posant  $L(j\omega) = (j\omega\mathbf{1} - A)^{-1}B$  on conclue

$$\begin{bmatrix} 1 & M^*(j\omega) \end{bmatrix} \begin{bmatrix} -\kappa^2 Q & G^* \\ G & Q \end{bmatrix} \begin{bmatrix} 1 \\ M(j\omega) \end{bmatrix} + \underbrace{L(j\omega)^* \begin{bmatrix} 1 & -j\omega\mathbf{1} \end{bmatrix} \begin{bmatrix} 0 & P \\ P & 0 \end{bmatrix} \begin{bmatrix} 1 \\ j\omega\mathbf{1} \end{bmatrix}}_{=0} L(j\omega) < 0$$

● Condition issue du lemme K-Y-P et Lyapunov

▲ Remarquons que

$$\begin{bmatrix} 0 & 1 \\ C & D \end{bmatrix} \begin{bmatrix} 1 \\ \Delta(1 - D\Delta)^{-1}C \end{bmatrix} = \begin{bmatrix} \Delta \\ 1 \end{bmatrix} (1 - D\Delta)^{-1}C$$

$$\begin{bmatrix} 1 & 0 \\ A & B \end{bmatrix} \begin{bmatrix} 1 \\ \Delta(1 - D\Delta)^{-1}C \end{bmatrix} = \begin{bmatrix} 1 \\ A + B\Delta(1 - D\Delta)^{-1}C \end{bmatrix} = \begin{bmatrix} 1 \\ A(\Delta) \end{bmatrix}$$

où  $\dot{x} = A(\Delta)x$  est la représentation d'état de  $\Delta \star M$ .

▲ Donc par congruence et en posant  $C_a(\Delta) = (1 - D\Delta)^{-1}C$  on trouve

$$C_a(\Delta)^* \overbrace{\begin{bmatrix} \Delta^* & 1 \end{bmatrix} \begin{bmatrix} -\kappa^2 Q & G^* \\ G & Q \end{bmatrix} \begin{bmatrix} \Delta \\ 1 \end{bmatrix} C_a(\Delta)}^{\geq 0} + \underbrace{\begin{bmatrix} 1 & A^*(\Delta) \end{bmatrix} \begin{bmatrix} 0 & P \\ P & 0 \end{bmatrix} \begin{bmatrix} 1 \\ A(\Delta) \end{bmatrix}}_{=A^*(\Delta)P+PA(\Delta)} < 0$$

▲ Inégalité de Lyapunov pour  $V(x) = x^T P x$  (on montre  $P > 0$  par  $A(0)$  supposée stable)





Cours M2 ASTR - module FRS - Commande Robuste

Cours 5 - Synthèse de commandes par retour d'état robustes

- Systèmes mécaniques (équation du mouvement) conduisent à des modèles du second ordre

$$M\ddot{q} + C\dot{q} + Kq = Nu, \quad q \in \mathbb{R}^d, \quad d: \text{degrés de liberté}$$

- ▲ C'est aussi le cas d'autres systèmes (électriques etc.)
- $q$  est mesurée et comparée à une consigne  $\epsilon = q_c - q$
- $\dot{q}$  est mesurée ou estimée
- Pour ces systèmes le PID est une loi de commande par retour d'état

$$u(t) = K_p \epsilon(t) + K_I \int_0^t \epsilon(\tau) d\tau + K_D \dot{q}(t) = \begin{bmatrix} K_D & K_P & K_I \end{bmatrix} y$$

$$\begin{pmatrix} \ddot{q} \\ -\dot{q} \\ \epsilon \end{pmatrix} = \begin{bmatrix} -M^{-1}C & M^{-1}K & 0 \\ -1 & 0 & 0 \\ 0 & 1 & 0 \end{bmatrix} \begin{pmatrix} \dot{q} \\ -q \\ \int \epsilon \end{pmatrix} + \begin{bmatrix} M^{-1}B \\ 0 \\ 0 \end{bmatrix} u + \begin{bmatrix} 0 \\ 0 \\ 1 \end{bmatrix} q_c$$

$$y = \begin{pmatrix} \dot{q} \\ -q \\ \int \epsilon \end{pmatrix} + \begin{bmatrix} 0 \\ 1 \\ 0 \end{bmatrix} q_c$$

## ■ Problème de synthèse par retour d'état

$$\begin{cases} \dot{x} = Ax + B_w w + Bu \\ z = C_z + D_{zw} w + D_{zu} u \\ u = Kx \end{cases} \rightarrow \begin{cases} \dot{x} = A(K)x + B_w w \\ z = C_z(K)x + D_{zw} w \end{cases}, \quad \begin{aligned} A(K) &= A + BK \\ C_z(K) &= C_z + D_{zu} K \end{aligned}$$

- Stabilisation : trouver  $K$  tel que  $A(K)$  est stable
- Localisation de pôles : trouver  $K$  tel que les v.p. de  $A(K)$  sont dans une région de  $\mathbb{C}$
- Performance  $H_\infty$  : trouver  $K$  qui minimise la norme  $H_\infty$  de la boucle fermée
- Performance  $H_2$  : trouver  $K$  qui minimise la norme  $H_2$  de la boucle fermée
- Problème multi-objectif : trouver  $K$  qui satisfait plusieurs de ces problèmes

## ■ Problème de synthèse par retour d'état robuste

$$\begin{cases} \dot{x} = A(\Delta)x + B_w(\Delta)w + B(\Delta)u \\ z = C_z(\Delta) + D_{zw}(\Delta)w + D_{zu}(\Delta)u \\ u = Kx \end{cases} \rightarrow \begin{cases} \dot{x} = A(K, \Delta)x + B_w(\Delta)w \\ z = C_z(K, \Delta)x + D_{zw}(\Delta)w \end{cases}, \quad \begin{aligned} A(K, \Delta) &= A(\Delta) + B(\Delta)K \\ C_z(K, \Delta) &= C_z(\Delta) + D_{zu}(\Delta)K \end{aligned}$$

- Problème multi-objectif robuste : trouver  $K$  qui satisfait plusieurs objectifs,  $\forall \Delta \in \mathbb{A}$

## ■ Cas des systèmes incertains affines polytopiques

$$\begin{pmatrix} \dot{x} \\ z \end{pmatrix} = \overbrace{\begin{bmatrix} A(\Delta) & B_w(\Delta) & B(\Delta) \\ C_z(\Delta) & D_{zw}(\Delta) & D_{zu}(\Delta) \end{bmatrix}}^{M(\Delta)} \begin{pmatrix} x \\ w \\ u \end{pmatrix}$$

$$M(\Delta) \in \text{CO} \left\{ \begin{bmatrix} A^{[v]} & B_w^{[v]} & B^{[v]} \\ C_z^{[v]} & D_{zw}^{[v]} & D_{zu}^{[v]} \end{bmatrix}, v = 1 \dots \bar{v} \right\}$$

## ● Le système en boucle fermée est aussi affine polytopique

$$\begin{pmatrix} \dot{x} \\ z \end{pmatrix} = \overbrace{\begin{bmatrix} A(K, \Delta) & B_w(\Delta) \\ C_z(K, \Delta) & D_{zw}(\Delta) \end{bmatrix}}^{M(K, \Delta)} \begin{pmatrix} x \\ w \end{pmatrix}$$

$$M(K, \Delta) \in \text{CO} \left\{ \begin{bmatrix} A^{[v]} + B^{[v]} K & B_w^{[v]} \\ C_z^{[v]} + D_{zu}^{[v]} K & D_{zw}^{[v]} \end{bmatrix}, v = 1 \dots \bar{v} \right\}$$

- Les tests LMI d'analyse élaborés dans le cours 3 s'appliquent

- ▲ Par exemple : “stabilité quadratique” - trouver  $P$  telle que

$$P > 0, (A^{[v]} + B^{[v]}K)^T P + P(A^{[v]} + B^{[v]}K) < 0, \forall v = 1 \dots \bar{v}$$

- ▲ Ce n'est pas une LMI : pas linéaire en les variables  $P$  et  $K$

- “Astuce” essentielle pour le calcul LMI d'un retour d'état

$A(K, \Delta)$  et  $A^T(K, \Delta)$  ont les mêmes valeurs propres

- ▲  $\dot{x} = A(K, \Delta)x$  stable ssi  $\dot{x}_d = A^T(K, \Delta)x_d$  stable :

$$Q > 0, (A^{[v]} + B^{[v]}K)Q + Q(A^{[v]} + B^{[v]}K)^T < 0, \forall v = 1 \dots \bar{v}$$

- ▲ En posant  $S = KQ$  on trouve la condition LMI

$$Q > 0, A^{[v]}Q + B^{[v]}S + QA^{[v]T} + S^T B^{[v]T} < 0, \forall v = 1 \dots \bar{v}$$

- ▲ Si le problème LMI a une solution alors  $K = SQ^{-1}$  stabilise robustement le système

- ▲  $\dot{x} = A(K, \Delta)x$  et  $\dot{x}_d = A^T(K, \Delta)x_d$  sont dits duaux l'un de l'autre, de plus  $Q = P^{-1}$

■ Retour d'état  $H_\infty$  robuste pour les systèmes affines polytopiques

● Condition LMI pour  $\|D_{zw} + C_z(s\mathbf{1} - A)^{-1}B_w\|_\infty \leq \gamma$  :

$$P > 0, \begin{bmatrix} A^T P + P A + C_z^T C_z & P B_w + C_z^T D_{zw} \\ B_w^T P + D_{zw}^T C_z & -\gamma^2 \mathbf{1} + D_{zw}^T D_{zw} \end{bmatrix} < 0$$

● Sachant que  $\|\Sigma(s)\|_\infty = \|\Sigma^*(s)\|_\infty$  on trouve la condition LMI

$$Q > 0, \begin{bmatrix} A Q + Q A^T + B_w B_w^T & Q C_z^T + B_w D_{zw}^T \\ C_z Q + D_{zw} B_w^T & -\gamma^2 \mathbf{1} + D_{zw} D_{zw}^T \end{bmatrix} < 0$$

pour le système dual  $\begin{cases} \dot{x}_d = A^T x_d + C_z^T w_d \\ z_d = B_w^T x_d + D_{zw}^T w_d \end{cases}$

● On en déduit la condition de synthèse LMI :  $Q > 0$  et  $\forall v = 1 \dots \bar{v}$

$$\begin{bmatrix} A^{[v]} Q + B^{[v]} S + Q A^{[v]T} + S^T B^{[v]T} + B_w^{[v]} B_w^{[v]T} & Q C_z^T + S^T D_{zu}^{[v]T} + B_w^{[v]} D_{zw}^{[v]T} \\ C_z^{[v]} Q + D_{zu}^{[v]} S + D_{zw}^{[v]} B_w^{[v]T} & -\gamma^2 \mathbf{1} + D_{zw}^{[v]} D_{zw}^{[v]T} \end{bmatrix} < 0$$

- Exercices : faire la même démarche pour obtenir des conditions LMI
- de localisation des pôles par retour d'état
- pour la performance  $H_2$





Cours M2 ASTR - module FRS - Commande Robuste

Cours 6 - Synthèse  $\mathcal{H}_\infty$  de correcteurs dynamiques

■ Conclusions du cours 3 - Stabilité robuste et théorème du petit gain

● Un grand nombre problèmes de robustesse et de performance (dont loop-shaping)

sont satisfaits si  $\|\Sigma \star K\|_\infty \leq \gamma$

■ Synthèse  $H_\infty$  : trouver  $K$  qui satisfait  $\|\Sigma \star K\|_\infty \leq \gamma$

● Pour  $\Sigma$  donné par

$$\Sigma : \begin{cases} \dot{x} = Ax + B_w w + B_u u \\ z = C_z x + D_{zw} w + D_{zu} u \\ y = C_y x + D_{yw} w + D_{yu} u \end{cases}$$

● On cherche  $K$  décrit dans l'espace d'état

$$K : \begin{cases} \dot{x}_K = A_K x_K + B_K y \\ u = C_K x_K + D_K y \end{cases}$$

## ■ Synthèse - Par les équations de Riccati

### ● Hypothèses sur le système pour l'existence d'une solution

▲  $(A, B_w)$  et  $(A, B_u)$  stabilisables,  $(A, C_z)$  et  $(A, C_y)$  détectables

▲  $\begin{bmatrix} A - j\omega 1 & B_w \\ C_y & D_{yw} \end{bmatrix}$  et  $\begin{bmatrix} A - j\omega 1 & B_u \\ C_z & D_{zu} \end{bmatrix}$  sont de rang plein  $\forall \omega$

### ● Hypothèses simplificatrices (pour avoir des équations simples) dites de "normalisation"

▲  $D_{zw} = 0$  et  $D_{yu} = 0$

▲  $D_{zu}^T \begin{bmatrix} C_z & D_{zu} \end{bmatrix} = \begin{bmatrix} 0 & 1 \end{bmatrix}$  et  $\begin{bmatrix} B_w \\ D_{yw} \end{bmatrix} D_{yw}^T = \begin{bmatrix} 0 \\ 1 \end{bmatrix}$

■ Synthèse - Par les équations de Riccati - suite

● La boucle fermée s'écrit :

$$\Sigma \star K : \begin{pmatrix} \dot{x} \\ \dot{x}_K \\ z \end{pmatrix} = \underbrace{\begin{bmatrix} A + B_u D_K C_y & B_u C_K & | & B_w + B_u D_K D_{yw} \\ B_K C_y & A_K & | & B_K D_{yw} \\ \hline C_z + D_{zu} D_K C_y & D_{zu} C_K & | & D_{zu} D_K D_{yw} \end{bmatrix}}_{= \begin{bmatrix} A(K) & B_w(K) \\ C_z(K) & D_{zw}(K) \end{bmatrix}} \begin{pmatrix} x \\ x_K \\ w \end{pmatrix}$$

▲ On définit  $R(K, \gamma) = D_{zw}^T(K)D_{zw}(K) - \gamma^2 \mathbf{1}$  et l'Hamiltonienne (voir annexe "normes") :

$$H_{\gamma, K} = \begin{bmatrix} A(K) - B_w(K)R^{-1}(K, \gamma)D_{zw}^T(K)C_z(K) & -B_w(K)R^{-1}(K, \gamma)B_w^T(K) \\ -C_z^T(K)(1 - D_{zw}(K)R^{-1}(K, \gamma)D_{zw}^T(K)C_z(K)) & -A^T(K) + C_z^T(K)D_{zw}(K)R^{-1}(K, \gamma)B_w^T(K) \end{bmatrix}$$

▲  $\|\Sigma \star K\|_\infty \leq \gamma$  ssi  $H_{\gamma, K}$  n'a pas de pôle sur l'axe imaginaire.

■ Synthèse - Par les équations de Riccati - suite

● Grâce aux hypothèses, la condition sur l'Hamiltonienne se simplifie. Elle est vraie si

▲ Il existe  $X \geq 0$  et  $Y \geq 0$  telles que  $\rho(XY) < \gamma^2$  et solutions des équations de Riccati :

$$A^T X + X A + X(\gamma^{-2} B_w B_w^T - B_u B_u^T) X + C_z^T C_z = 0$$

$$A Y + Y A^T + Y(\gamma^{-2} C_z^T C_z - C_y^T C_y) Y + B_w B_w^T = 0$$

▲ La solution aux équations de Riccati permet de construire

$$\hat{A}_K = A + \gamma^{-2} B_w B_w^T X + B_u F + Z L C_y$$

$$L = -Y C_y^T, \quad F = -B_u^T X, \quad Z = (1 - \gamma^{-2} Y X)^{-1}$$

▲ L'ensemble des correcteurs vérifiant  $\|\Sigma \star K\|_\infty \leq \gamma$  est tel que  $K = \hat{K} \star \Omega$  où

$$\hat{K} : \begin{pmatrix} \dot{x}_K \\ u \\ z_\Omega \end{pmatrix} = \begin{bmatrix} \hat{A}_K & -ZL & ZB_u \\ F & 0 & 1 \\ -C_y & 1 & 0 \end{bmatrix} \begin{pmatrix} x_K \\ y \\ w_\Omega \end{pmatrix}, \quad \|\Omega\|_\infty < \gamma$$

■ Synthèse - Par les équations de Riccati - suite

- Le correcteur  $K_0 = \hat{K} \star 0$  est appelé correcteur central
- Le correcteur central s'écrit aussi

$$\dot{\hat{x}} = A\hat{x} + B_w\hat{w} + B_u u + ZL(C_y\hat{x} - y)$$

- ▲ où  $\hat{x}$  est une estimée de l'état ;
- ▲  $u = F\hat{x}$  est un retour d'état ;
- ▲  $ZL$  est un gain d'observateur ;
- ▲ et  $\hat{w} = \gamma^{-2} B_w^T X \hat{x}$  une "perturbation" spécifique.

■ Synthèse - Par les équations de Riccati - suite

● Exemple - trouver contrôleur tel que  $\|\Sigma \star K\| \leq 1.7$

$$\begin{bmatrix} A & B_w & B_u \\ C_z & 0 & D_{zu} \\ C_y & D_{yw} & 0 \end{bmatrix} = \left[ \begin{array}{cc|cc|c} 1 & 1 & 1 & 0 & 0 \\ 0 & -1 & 0 & 0 & 3 \\ \hline 0 & 0 & 0 & 0 & 1 \\ \hline 1 & 0 & 0 & 1 & 0 \end{array} \right]$$

■ Synthèse - Par les équations de Riccati - suite

● Exemple - trouver contrôleur tel que  $\|\Sigma \star K\| \leq 1.7$

▲ Equation de Riccati  $A^T X + X A + X(\gamma^{-2} B_w B_w^T - B_u B_u^T) X + C_z^T C_z = 0$

$$\text{(Hamiltonienne associée = } \begin{bmatrix} A & \gamma^{-2} B_w B_w^T - B_u B_u^T \\ -C_z^T C_z & -A^T \end{bmatrix} \text{)}$$

```
>> HamX = [ A , g^-2*Bw*Bw' -Bu*Bu' ; -Cz'*Cz -A' ] ;
```

```
>> [x1,x2] = ric_schr( HamX );
```

```
>> X=x2/x1
```

```
    1.0504    0.5252
```

```
    0.5252    0.2626
```

```
>> eig(X)
```

```
    1.3130
```

```
    0
```



■ Synthèse - Par les équations de Riccati - suite

● Exemple - trouver contrôleur tel que  $\|\Sigma \star K\| \leq 1.7$

▲ Equation de Riccati  $AY + YA^T + Y(\gamma^{-2}C_z^T C_z - C_y^T C_y)Y + B_w B_w^T = 0$

$$\text{(Hamiltonienne associée = } \begin{bmatrix} A^T & \gamma^{-2}C_z^T C_z - C_y^T C_y \\ -B_w B_w^T & -A \end{bmatrix} \text{)}$$

```
>> HamY = [ A' , g^-2*Cz' *Cz - Cy' *Cy ; -Bw*Bw' -A ] ;
```

```
>> [y1,y2] = ric_schr( HamY );
```

```
>> Y=y2/y1
```

```
2.4142      0
```

```
0          0
```

## ■ Synthèse - Par les équations de Riccati - suite

● Exemple - trouver contrôleur tel que  $\|\Sigma \star K\| \leq 1.7$

### ▲ Construction du contrôleur central

```
>> L = -Y*Cy' ;
>> F = -Bu' *X ;
>> Z = inv( eye(2) - g^-2*Y*X ) ;
>> Ak = A + g^-2*Bw*Bw' *X + Bu*F + Z*L*Cy ;
>> Bk = -Z*L ;
>> Ck = F ;
>> K = ss( Ak, Bk, Ck, 0)
>> tf( K )
```

Transfer function:

$$\frac{-31.05 s - 31.05}{s^2 + 21.71 s + 67.29}$$

■ Synthèse - Par les équations de Riccati - suite

● Exemple - trouver contrôleur tel que  $\|\Sigma \star K\| \leq 1.7$

▲ Calcul de la norme  $H_\infty$  de la boucle fermée

```
>> sys = ss( A, [Bw,Bu] , [Cz;Cy] , [Dzw,Dzu;Dyw,Dyu] );  
>> sysbf = feedback( sys, -K, 3, 2);  
>> norm (sysbf (1, 1:2) , Inf)  
1.6975
```

■ Synthèse - Par les équations de Riccati - suite

● Fonction `hinfsyn` de la Robust Control Toolbox

```
>> [kopt,N,g]=hinfsyn(P,1,1,'GMIN',1.6,'GMAX',1.7,'TOLGAM',0.001,...
    'METHOD','ric','DISPLAY','on')
```

```
Test bounds:          1.6000 < gamma <=          1.7850
```

gamma	hamx_eig	xinf_eig	hamy_eig	yinf_eig	nrho_xy	p/f
1.785	1.0e+000	1.1e-016	1.0e+000	0.0e+000	0.7827	p
1.692	1.0e+000	0.0e+000	1.0e+000	0.0e+000	0.8867	p
1.646	1.0e+000	0.0e+000	1.0e+000	0.0e+000	0.9472	p
1.623	1.0e+000	1.1e-016	1.0e+000	0.0e+000	0.9799	p
1.612	1.0e+000	0.0e+000	1.0e+000	0.0e+000	0.9969	p
1.606	1.0e+000	0.0e+000	1.0e+000	0.0e+000	1.0056#	f
1.609	1.0e+000	0.0e+000	1.0e+000	0.0e+000	1.0012#	f
1.610	1.0e+000	1.1e-016	1.0e+000	0.0e+000	0.9990	p
1.609	1.0e+000	0.0e+000	1.0e+000	0.0e+000	1.0001#	f

Gamma value achieved: 1.6101

## ■ Synthèse - Par les équations de Riccati - suite

### ● Correcteur presque optimal

```
>> tf(kopt)
```

```
Transfer function:
```

$$\frac{-4041 s - 4041}{s^2 + 2513 s + 8573}$$

-----  
 $s^2 + 2513 s + 8573$

Le correcteur presque optimal a comme fonction de transfert

$$\frac{-(s + 1)}{2.47 \cdot 10^{-4} s^2 + 0.62s + 2.12} \sim \frac{-(s + 1)}{0.62s + 2.12}$$

● On montre théoriquement que c'est toujours le cas : le contrôleur optimal est d'ordre réduit.

## ■ Synthèse - Par LMI

- La synthèse de correcteurs du même ordre que le système

- Il existe 2 versions LMI

- ▲ Une version où les variables de  $K$  sont éliminées.

Les LMIs permettent de trouver  $X$  et  $Y$  (analogues aux solutions des équations de Riccati)

Une seconde LMI construite avec  $X$  et  $Y$  fixées permet de trouver  $K$

- ▲ Une autre version où les LMI impliquent  $X$  et  $Y$  et des variables  $\tilde{K}$ .

La solution permet de construire  $K$  grâce à une formule sur  $X$ ,  $Y$ ,  $\tilde{K}$  et  $\Sigma$ .

## ■ $\mu$ -Synthèse

- Synthèse  $H_\infty$  ( $K_0 = \arg \min_K \|\Sigma \star K\|_\infty$ ) permet de trouver  $K_0$  telle que

$$\Delta \star \Sigma \star K_0 \text{ stable } \forall \Delta : \|\Delta\| \leq \frac{1}{\gamma_0}$$

- ▲ Mais le résultat est pessimiste si  $\Delta$  est structurée

$$\max_{\omega} \mu_{\nabla}(\Sigma(j\omega) \star K_0(j\omega)) \leq \|\Sigma \star K_0\|_\infty = \gamma_0$$

- $D$ -scaling unique sur toutes les fréquences donne (étape d'analyse de la boucle fermée)

$$\max_{\omega} \mu_{\nabla}(\Sigma(j\omega) \star K_0(j\omega)) \leq \min_{D_1 \in \mathbf{D}_{\nabla}} \|D_1^{-1}(\Sigma \star K_0)D_1\|_\infty = \gamma_1 \leq \gamma_0$$

- Pour  $D_1$  fixée on peut refaire une synthèse  $H_\infty$

$$K_1 = \arg \min_K \left\| \left( \begin{bmatrix} D_1^{-1} & 0 \\ 0 & 1 \end{bmatrix} \Sigma \begin{bmatrix} D_1 & 0 \\ 0 & 1 \end{bmatrix} \right) \star K \right\|_\infty$$

- Et ainsi de suite par  $D$ - $K$  itérations (une étape d'analyse, une étape de synthèse)